# Conjecture de l'inertie modérée de Serre

## Xavier Caruso

## Septembre 2005

#### Abstract

Let K be a local field of mixte characteristics. We assume that the residue field is perfect. Let  $X_K$  be a proper smooth scheme over K admitting an integer model X which is proper and semi-stable. In this article, we prove a period isomorphism linking the étale cohomology of  $X_{\bar{K}}$  with coefficients in  $\mathbb{Z}/p^n\mathbb{Z}$  and the log-crystalline cohomology of the special fiber of X. Nevertheless, we have a restriction on the absolute ramification of K and the degree of the cohomologies.

We apply the theory to deduce a complete proof of the Serre conjecture on the tame inertia.

#### Résumé

On considère K un corps complet pour une valuation discrète, de caractéristique nulle et dont le corps résiduel est supposé parfait de caractéristique p. On appelle  $\mathcal{O}_K$  l'anneau des entiers de K, et  $\bar{K}$  une clôture algébrique. Soit  $X_K$  un schéma propre et lisse sur K admettant un modèle propre et semi-stable X sur  $\mathcal{O}_K$ . Dans cet article, on démontre un isomorphisme de périodes reliant le r-ième groupe de cohomologie étale de  $X_{\bar{K}}$  à coefficients dans  $\mathbb{Z}/p^n\mathbb{Z}$  et un r-ième groupe de cohomologie log-cristalline de la fibre spéciale de X. Nous avons toutefois la restriction er < p-1 (et une restriction légèrement plus forte si n > 1) où e désigne l'indice de ramification absolu de K.

On en déduit une preuve complète de la conjecture de Serre sur l'inertie modérée (voir [Ser72]).

# Table des matières

1	Intr	oducti	ion	2	
2	Les objets d'algèbre linéaire				
	2.1	La cat	ségorie $\mathcal{M}^r$	3	
		2.1.1	$oxdot{ ilde{L}}$ 'anneau $S$	4	
		2.1.2	Définition des catégories	4	
	2.2	Les ob	ojets tués par $p$	5	
	2.3	Foncte	eurs vers les représentations galoisiennes	8	
		2.3.1	Un anneau de périodes	8	
		2.3.2	La version contravariante	9	
		2.3.3	La version covariante	11	
		2.3.4	Lien entre les foncteurs $T_{st}^{\star}$ et $T_{st}^{\star}$	12	

<b>3</b>	$\operatorname{Les}$	faisceaux sur le site log-syntomique	<b>17</b>		
	3.1	Rappels et préliminaires	17		
		3.1.1 Log-schémas et sites usuels	17		
		3.1.2 Topologie log-syntomique	17		
		3.1.3 Plusieurs bases	18		
	3.2	Les faisceaux $\mathcal{O}_n^{\mathrm{st}}$ et $\mathcal{J}_n^{[s]}$	18		
		3.2.1 Définition et description locale	18		
		3.2.2 Les opérateurs $\phi_s$ et $N$	20		
	3.3	Le cas de la caractéristique $p$	21		
		3.3.1 Une nouvelle description des faisceaux $\mathcal{O}_1^{\mathrm{st}}$ et $\mathcal{J}_1^{[s]}$	21		
		$3.3.2$ Les faisceaux $\tilde{\mathcal{O}}^{\mathrm{st}}, \dot{\tilde{\mathcal{J}}}^{[q]}$	23		
		3.3.3 Les faisceaux $\bar{\mathcal{O}}^{\mathrm{st}}$ et $\bar{\mathcal{J}}^{[s]}$	25		
		3.3.4 Les faisceaux $\mathcal{O}_1^{\operatorname{car}}$ , $\tilde{\mathcal{O}}^{\operatorname{car}}$ et $\bar{\mathcal{O}}^{\operatorname{car}}$	25		
4	Cal	cul de la cohomologie cristalline	26		
	4.1		26		
		4.1.1 Des isomorphismes sur les faisceaux	27		
		4.1.2 Des isomorphismes sur les groupes de cohomologie	29		
			33		
		<u> •</u>	39		
			45		
	4.2		47		
5	Calcul de la cohomologie étale				
	5.1		50		
	5.2		51		
		5.2.1 Le foncteur $j_{\star}$	51		
		^	51		
			53		
			54		
	5.3	Une conjecture de Serre	54		

## 1 Introduction

Tout au long de cet article, on considère p un nombre premier et k un corps parfait de caractéristique p. On note W = W(k) l'anneau des vecteurs de Witt à coefficients dans k et  $K_0$  son corps des fractions. On note  $\sigma$  le Frobenius sur k, sur W et sur  $K_0$ . On considère K une extension totalement ramifiée de  $K_0$  de degré e. On fixe  $\pi$  une uniformisante de K et on note E(u) son polynôme minimal sur  $K_0$ . Il s'agit d'un polynôme d'Eisenstein. On note de plus  $\mathcal{O}_K$  l'anneau des entiers de K. Le corps résiduel  $\mathcal{O}_K/\pi$  s'identifie à k.

On fixe  $\bar{K}$  (resp.  $\bar{k}$ ) une clôture algébrique de K (resp. de k) et on définit  $G_K$  (resp.  $G_k$ ) comme le groupe de Galois absolu de K (resp. de k). On désigne par  $K^{\rm nr}$  (resp.  $K^{\rm mr}$ ) l'extension maximale non ramifiée (resp. modérément ramifiée) de K et I comme (resp.  $I_s$ ) le groupe d'inertie (resp. d'inertie sauvage), c'est-à-dire le groupe de Galois de  $\bar{K}$  sur  $K^{\rm nr}$  (resp. sur  $K^{\rm mr}$ ). Le quotient  $I_t = I/I_s$  est le groupe d'inertie modérée.

Le but de cet article est de comparer, lorsque X est un schéma propre et semi-stable sur  $\mathcal{O}_K$ , la cohomologie log-cristalline (définie par Kato — voir [Kat89]) de la fibre spéciale de X et

la cohomologie étale de  $X_{\bar{K}} = X \times_{\mathcal{O}_K} \bar{K}$ . Ces théorèmes de comparaison s'inscrivent dans une grande lignée amorcée par Grothendieck, Tate et Raynaud et poursuivie par Fontaine, Messing, Faltings, Kato, Tsuji, Breuil... Nous nous intéressons particulièrement aux cas des coefficients de torsion. Précisément nous obtenons le théorème :

**Théorème 1.1.** On garde les notations précédentes et on fixe r un entier vérifiant er < p-1. Si  $X_n = X \times_{\mathcal{O}_K} \mathcal{O}_K/p^n$ , on a un isomorphisme canonique de modules galoisiens :

$$H^i_{\acute{e}t}(X_{\bar{K}}, \mathbb{Z}/p^n\mathbb{Z})(r) = T_{st\star}(H^i_{log\text{-}cris}(X_n/(S/p^nS)))$$

pour tout i < r (et aussi i = r si n = 1).

Dans ce théorème S et  $T_{\text{st}\star}$  désignent respectivement une certaine W-algèbre, et un certain foncteur d'une catégorie de S-modules de torsion  $\underline{\mathcal{M}}^r$  vers la catégorie des  $\mathbb{Z}_p$ -représentations galoisiennes, tous deux introduits par Breuil dans [Bre97a] (pour le cas e = 1) et [Bre99] (pour le cas général), et étudiés dans [Car].

Comme conséquence du théorème 1.1 et des résultats de [Car], nous donnons une réponse affirmative à une question formulée par Serre dans le paragraphe 1.13 de [Ser72] :

**Théorème 1.2.** On garde les notations précédentes et on fixe r un entier quelconque. Soient V la restriction au groupe d'inertie I de la  $\mathbb{F}_p$ -représentation  $H^r_{\acute{e}t}(X_{\bar{K}},\mathbb{Z}/p\mathbb{Z})^\vee$  (où «  $\vee$  » signifie que l'on prend le  $\mathbb{F}_p$ -dual) et  $V^{ss}$  la semi-simplifiée de V. Alors les poids de l'inertie modérée sur  $V^{ss}$  sont tous compris entre 0 et er.

Cet article s'articule comme suit. Les deux chapitres qui suivent cette introduction se bornent à présenter les principaux objets : le chapitre 2 est consacré aux objets d'algèbre linéaire (l'anneau S, les catégories  $\underline{\mathcal{M}}^r$  et les foncteurs  $T_{\mathrm{st}}^{\star}$  et  $T_{\mathrm{st}\star}$ ), alors que le chapitre 3 plus géométrique introduit le site log-syntomique et les faisceaux  $\mathcal{O}_n^{\mathrm{st}}$  et  $\mathcal{J}_n^{[s]}$ , ainsi que certaines variantes, qui s'avèreront cruciaux pour la preuve du théorème 1.1.

Dans le chapitre 4, on prouve que le groupe de cohomologie  $H^r_{\text{log-cris}}(X_n/(S/p^nS))$  peut être muni de structures supplémentaires qui en font un objet de la catégorie  $\underline{\mathcal{M}}^r$  (auquel on peut alors appliquer le foncteur  $T_{\text{st}_{\star}}$ ). La démonstration se découpe en deux parties : en premier lieu, on montre le résultat lorsque n=1, puis on l'étend à tout n par un dévissage.

Finalement, dans le chapitre 5, on étudie la cohomologie étale et on prouve le théorème 1.1, d'où nous déduisons directement le théorème 1.2.

Ce travail a été accompli dans le cadre de ma thèse de doctorat en mathématique que je prépare sous la direction de Christophe Breuil. Je tiens à le remercier vivement ici pour les conseils, les explications et les réponses qu'il a toujours su me fournir, ainsi que pour la relecture patiente des versions préliminaires de ce texte.

# 2 Les objets d'algèbre linéaire

## 2.1 La catégorie $\mathcal{M}^r$

On reprend les notations du début de l'introduction et on fixe dans tout ce chapitre un entier r positif ou nul vérifiant l'inégalité er < p-1. On rappelle que e désigne le degré de l'extension  $K/K_0$ , c'est-à-dire l'indice de ramification absolue de K.

#### 2.1.1 L'anneau S

Soit W[u] l'anneau des polynômes en une indéterminée u à coefficients dans W. Par définition, S est le complété p-adique de l'enveloppe aux puissances divisées de W[u] par rapport à l'idéal principal engendré par E(u) compatibles aux puissances divisées canoniques sur pW[u]. Concrètement, S est la sous-W-algèbre de  $K_0[u]$  suivante :

$$S = \left\{ \sum_{i=0}^{\infty} w_i \frac{\left(E\left(u\right)\right)^i}{i!}, \ w_i \in W\left[u\right], \ \lim_{i \to \infty} w_i = 0 \right\}$$

ou encore:

$$S = \left\{ \sum_{i=0}^{\infty} w_i \frac{u^i}{q(i)!}, w_i \in W, \lim_{i \to \infty} w_i = 0 \right\}$$

où q(i) désigne le quotient de la division euclidienne de i par e.

On munit S d'un Frobenius  $\phi$  défini comme l'unique application  $\sigma$ -semi-linéaire vérifiant  $\phi(u^i/q(i)!) = u^{pi}/q(i)!$  et d'un opérateur de monodromie N défini comme l'unique application W-linéaire vérifiant  $N(u^i/q(i)!) = -iu^i/q(i)!$ . On munit également S d'une filtration : pour tout entier positif ou nul n, on définit Fil S comme le complété p-adique de l'idéal engendré par les éléments  $\frac{(E(u))^i}{i!}$  pour  $i \geqslant n$ . On a Fil S = S, Fil  $S \subset Fil^{n-1}S$ ,  $\bigcap_{n \in \mathbb{N}} Fil^nS = 0$ , et certaines compatibilités vis-à-vis des opérateurs à savoir N (Fil  $S \subset Fil^{n-1}S$  et, pour  $0 \leqslant n \leqslant p-1$ ,  $0 \in Fil^{n-1}S$  et pour  $0 \leqslant n \leqslant p-1$ ,  $0 \in Fil^{n-1}S$  et pour  $0 \in S$  et l'élément  $0 \in S$  et l'élément  $0 \in S$  et une unité de S et l'élément S et par la suite.

On note  $S_n = S/p^n S$ . Le Frobenius, l'opérateur de monodromie et la filtration passent au quotient et définissent des structures analogues sur  $S_n$ .

#### 2.1.2 Définition des catégories

Par définition, un objet de la catégorie  $\underline{\mathcal{M}}^r$  est la donnée :

- 1. d'un S-module  $\mathcal{M}$  isomorphe à une somme directe (finie) de  $S_n$  pour des entiers n convenables;
- 2. d'un sous-module Fil<sup>r</sup> $\mathcal{M}$  de  $\mathcal{M}$  contenant Fil<sup>r</sup> $S \cdot \mathcal{M}$ ;
- 3. d'une flèche  $\phi$ -semi-linéaire  $\phi_r$ : Fil $^r\mathcal{M} \to \mathcal{M}$  vérifiant la condition :

$$\phi_r(sx) = \frac{1}{c^r}\phi_r(s)\phi_r((E(u))^r x)$$

pour tout élément  $s \in \operatorname{Fil}^r S$  et tout élément  $x \in \mathcal{M}$  et telle que im  $\phi_r$  engendre  $\mathcal{M}$  en tant que S-module;

- 4. d'une application W-linéaire  $N: \mathcal{M} \to \mathcal{M}$  telle que :
  - pour tout  $s \in S$  et tout  $x \in \mathcal{M}$ , N(sx) = N(s)x + sN(x)
  - $-E(u)N(\operatorname{Fil}^{r}\mathcal{M})\subset \operatorname{Fil}^{r}\mathcal{M}$
  - le diagramme suivant commute :

$$\begin{array}{ccc}
\operatorname{Fil}^{r} \mathcal{M} & \xrightarrow{\phi_{r}} & \mathcal{M} \\
E(u)N \downarrow & & \downarrow cN \\
\operatorname{Fil}^{r} \mathcal{M} & \xrightarrow{\phi_{r}} & \mathcal{M}
\end{array}$$

Une flèche entre deux objets  $\mathcal{M}$  et  $\mathcal{M}'$  de cette catégorie est un morphisme S-linéaire de  $\mathcal{M}$  dans  $\mathcal{M}'$  respectant la filtration et commutant aux applications  $\phi_r$  et N.

Nous renvoyons à [Car] pour l'étude de la catégorie  $\underline{\mathcal{M}}^r$ . Il y est prouvé en particulier que  $\underline{\mathcal{M}}^r$  est une catégorie abélienne et artinienne.

### 2.2 Les objets tués par p

Dans ce paragraphe, nous nous intéressons à la sous-catégorie pleine de  $\underline{\mathcal{M}}^r$  formée des objets tués par p. Cette dernière catégorie est équivalente à une catégorie d'objets sur  $k[u]/u^{ep}$  plus simple à manipuler que les objets de  $\underline{\mathcal{M}}^r$  (voir [Car]). Cependant, nous aurons besoin d'une description encore différente utilisant des objets sur  $k[u]/u^p$ , et c'est celle-ci que nous allons détailler dans ce paragraphe.

On commence par rappeler le résultat suivant :

**Lemme 2.2.1.** Soit  $\mathcal{M}$  un objet de  $\underline{\mathcal{M}}^r$  tué par p. Alors l'application :

$$S_1 \otimes_{k[u]/u^e} Fil^r \mathcal{M}/E(u) Fil^r \mathcal{M} \xrightarrow{id \otimes \phi_r} \mathcal{M}$$

est un isomorphisme (où S est vu comme un  $k[u]/u^e$ -module via le Frobenius  $\phi: u^i \mapsto u^{pi}$ ).

**Démonstration.** Le cas général est similaire au cas e=1 traité dans [Bre97a] (corollaire 2.2.2.2).

On déduit directement de ce lemme le corollaire suivant :

Corollaire 2.2.2. Soient  $\mathcal{M}$  et  $\mathcal{N}$  deux objets de  $\underline{\mathcal{M}}^r$  tués par p. Soit  $f: \mathcal{M} \to \mathcal{N}$  une application  $S_1$ -linéaire telle que  $f(Fil^r\mathcal{M}) \subset Fil^r\mathcal{N}$ . Alors il existe une unique application  $S_1$ -linéaire  $g: \mathcal{M} \to \mathcal{N}$  faisant commuter le diagramme suivant :

$$Fil^{r}\mathcal{M} \xrightarrow{f} Fil^{r}\mathcal{N}$$

$$\downarrow^{\phi_{r}} \qquad \qquad \downarrow^{\phi_{r}}$$

$$\mathcal{M} \xrightarrow{g} \mathcal{N}$$

Soit  $\tilde{S} = k [u] / u^p$ . On munit  $\tilde{S}$  d'un Frobenius  $\phi$ , unique application  $\sigma$ -semi-linéaire vérifiant  $\phi(u^i) = u^{ip}$ , et d'un opérateur de monodromie N, unique application k-linéaire vérifiant  $N(u^i) = -iu^i$ . On définit également une filtration sur  $\tilde{S}$  en posant pour tout entier n, Fil $^n \tilde{S} = u^{en} \tilde{S}$ . On dispose d'un morphisme d'anneaux  $S_1 \to \tilde{S}$  qui envoie u sur u et toutes les puissances divisées  $u^i/q(i)!$  sur 0 pour  $i \geqslant p$ .

On définit la catégorie  $\underline{\widetilde{\mathcal{M}}}^r$  en adaptant la définition de la catégorie  $\underline{\mathcal{M}}^r$ . Un objet de  $\underline{\widetilde{\mathcal{M}}}^r$  est la donnée suivante :

- 1. un  $\tilde{S}$ -module  $\tilde{\mathcal{M}}$  libre de rang fini ;
- 2. un sous-module Fil  ${}^r\tilde{\mathcal{M}}$  de  $\tilde{\mathcal{M}}$  contenant Fil  ${}^r\tilde{S}\cdot\tilde{\mathcal{M}}=u^{er}\tilde{\mathcal{M}}$ ;
- 3. une flèche  $\phi$ -semi-linéaire  $\phi_r$ : Fil $^r \tilde{\mathcal{M}} \to \tilde{\mathcal{M}}$  telle que l'image de  $\phi_r$  engendre  $\tilde{\mathcal{M}}$  en tant que  $\tilde{S}$ -module;
- 4. une application k-linéaire  $N: \tilde{\mathcal{M}} \to \tilde{\mathcal{M}}$  telle que :

- pour tout  $\lambda \in \tilde{S}$  et tout  $x \in \tilde{\mathcal{M}}$ ,  $N(\lambda x) = N(\lambda) x + \lambda N(x)$
- $-u^e N(\operatorname{Fil}^r \tilde{\mathcal{M}}) \subset \operatorname{Fil}^r \tilde{\mathcal{M}}$
- le diagramme suivant commute :

$$\begin{array}{ccc}
\operatorname{Fil}^{r} \tilde{\mathcal{M}} & \xrightarrow{\phi_{r}} & \tilde{\mathcal{M}} \\
u^{e} N \middle| & & & \downarrow c_{\pi} N \\
\operatorname{Fil}^{r} \tilde{\mathcal{M}} & \xrightarrow{\phi_{r}} & \tilde{\mathcal{M}}
\end{array}$$

où  $c_{\pi}$  est la réduction de c dans  $\tilde{S}$ .

Les morphismes entre deux objets de  $\underline{\widetilde{\mathcal{M}}}^r$  sont les applications  $\tilde{S}$ -linéaires qui respectent le Fil r et commutent au Frobenius et à l'opérateur de monodromie.

On dispose pour les objets de  $\widetilde{\underline{\mathcal{M}}}^r$  de la proposition suivante, fort utile pour les manipulations :

**Proposition 2.2.3.** Soit  $\widetilde{\mathcal{M}}$  un objet de  $\widetilde{\underline{\mathcal{M}}}^r$ . Alors il existe  $(e_1, \ldots, e_d)$  une  $\widetilde{S}$ -base de  $\widetilde{\mathcal{M}}$  et des entiers  $n_1, \ldots, n_d$  compris entre 0 et er tels que :

$$Fil^r \tilde{\mathcal{M}} = \bigoplus_{i=1}^d u^{n_i} k[u] / u^p \cdot e_i.$$

Une telle famille  $(e_1, \ldots, e_d)$  est appelée une base adaptée  $de \tilde{\mathcal{M}}$ .

**Démonstration.** C'est une conséquence directe du théorème de structure des modules de type fini sur un anneau principal (l'anneau étant ici k[u]).

Par ailleurs, on dispose d'un foncteur T de la sous-catégorie pleine de  $\underline{\mathcal{M}}^r$  formée des objets tués par p dans la catégorie  $\underline{\widetilde{\mathcal{M}}}^r$  défini de la façon suivante. Soit  $\mathcal{M}$  un objet de  $\underline{\mathcal{M}}^r$  tué par p. C'est en particulier un  $S_1$ -module libre de rang fini et le produit tensoriel  $\widetilde{\mathcal{M}} = \mathcal{M} \otimes_{S_1} \widetilde{S}$  est un  $\widetilde{S}$ -module libre de rang fini. On dispose d'une projection canonique  $\mathcal{M} \to \widetilde{\mathcal{M}}$ . On définit  $\operatorname{Fil}^r \widetilde{\mathcal{M}}$  comme l'image de  $\operatorname{Fil}^r \mathcal{M}$  par cette projection, et on vérifie facilement que les opérateurs  $\phi_r$  et N définis sur  $\mathcal{M}$  passent au quotient pour fournir respectivement des opérateurs  $\operatorname{Fil}^r \widetilde{\mathcal{M}} \to \widetilde{\mathcal{M}}$  et  $\widetilde{\mathcal{M}} \to \widetilde{\mathcal{M}}$  encore notés  $\phi_r$  et N.

Notons  $\kappa = \ker{(S_1 \to \tilde{S})}$  et prouvons un lemme concernant ce noyau :

**Lemme 2.2.4.** On suppose  $r \neq 0$ , c'est-à-dire  $1 \leq er \leq p-2$ . Alors  $\kappa \subset Fil^rS_1$ ,  $\phi_r(\kappa) \subset Fil^rS_1$  et  $\phi_r \circ \phi_r(\kappa) = 0$ .

**Démonstration.** On constate que  $\kappa$  est l'idéal engendré par les  $u^i/q(i)!$  pour  $i \geq p$ . En particulier, on a bien  $\kappa \subset \operatorname{Fil}^r S_1$ . Par ailleurs, puisque r > 0, on a, pour  $i \geq p$ :

$$\phi_r\left(\frac{u^i}{q(i)!}\right) = \phi_r\left(u^{er}\frac{u^{i-er}}{q(i)!}\right) = \phi_r\left(u^{er}\right)\phi\left(\frac{u^{i-er}}{q(i)!}\right) = c^r\frac{u^{p(i-er)}}{q(i)!}.$$
(1)

Comme  $er \leq p-2$ , on a  $p(i-er) \geq 2p$  et donc  $\phi_r(\kappa)$  est inclus dans  $\kappa'$ , l'idéal engendré par les  $u^i/q(i)!$  pour  $i \geq 2p$ . En particulier,  $\phi_r(\kappa) \subset \operatorname{Fil}^r S_1$ .

D'autre part, si  $i \ge 2p$ , on a p(i-er) > i + ep et  $v_p((p(i-er))!) > v_p(q(i)!)$  d'où par la formule (1)  $\phi_r(u^i/q(i)!) = 0$  (dans  $S_1$ ). Ainsi  $\phi_r(\kappa') = 0$ , d'où  $\phi_r \circ \phi_r(\kappa) = 0$ .

On a alors la proposition suivante qui permet de réduire l'étude de la catégorie  $\underline{\mathcal{M}}^r$  à celle de la catégorie  $\underline{\widetilde{\mathcal{M}}}^r$  et à des dévissages.

Proposition 2.2.5. Le foncteur T est une équivalence de catégories

**Démonstration.** Il faut traiter à part le cas trivial r=0 qu'on laisse au lecteur. On suppose à partir de maintenant  $1 \le er \le p-2$ .

Prouvons la pleine fidélité du foncteur T. Soient  $\mathcal{M}$  et  $\mathcal{M}'$  deux objets de  $\underline{\mathcal{M}}^r$  tués par p et  $f: \mathcal{M} \to \mathcal{N}$  un morphisme entre ces objets. On suppose que f vaut 0 dans  $\underline{\widetilde{\mathcal{M}}}^r$ , c'est-à-dire que  $f(\mathcal{M}) \subset \kappa \mathcal{N}$ . En particulier,  $f(\operatorname{Fil}^r \mathcal{M}) \subset \kappa \mathcal{N}$  et donc :

$$f \circ \phi_r(\operatorname{Fil}^r \mathcal{M}) = \phi_r \circ f(\operatorname{Fil}^r \mathcal{M}) \subset \phi_r(\kappa) \mathcal{N}.$$

Par hypothèse  $\phi_r$  (Fil<sup>r</sup> $\mathcal{M}$ ) engendre tout  $\mathcal{M}$ , et donc  $f(\mathcal{M}) \subset \phi_r(\kappa)\mathcal{N}$ . En réitérant l'argument, et puisque  $\phi_r \circ \phi_r(\kappa) = 0$  (lemme 2.2.4), on obtient  $f(\mathcal{M}) = 0$  et donc f = 0, ce qui assure la fidélité du foncteur.

Considérons à présent  $\mathcal{M}$  et  $\mathcal{N}$  deux objets de  $\underline{\mathcal{M}}^r$  tués par p. Notons  $\widetilde{\mathcal{M}}$  et  $\widetilde{\mathcal{N}}$  leurs images respectives dans la catégorie  $\underline{\widetilde{\mathcal{M}}}^r$ . Soit  $\widetilde{f}: \widetilde{\mathcal{M}} \to \widetilde{\mathcal{N}}$  un morphisme de la catégorie  $\underline{\widetilde{\mathcal{M}}}^r$ . On veut montrer qu'il existe un morphisme (nécessairement unique) de la catégorie  $\underline{\mathcal{M}}^r$ ,  $f: \mathcal{M} \to \mathcal{N}$  tel que  $f \equiv \widetilde{f} \pmod{\kappa \mathcal{N}}$ . On construit f par approximations successives. On considère dans un premier temps  $f_0: \mathcal{M} \to \mathcal{N}$  un relevé  $S_1$ -linéaire quelconque de  $\widetilde{f}$ . Comme  $\kappa \mathcal{N} \subset \operatorname{Fil}^r \mathcal{N}$ , le relevé  $f_0$  est automatiquement compatible à  $\operatorname{Fil}^r$  et les applications  $f_0$  et  $\phi_r$  commutent modulo  $\kappa \mathcal{N}$ . Par le corollaire 2.2.2, il existe une unique application  $S_1$ -linéaire  $f_1: \mathcal{M} \to \mathcal{N}$  faisant commuter le diagramme suivant :

$$\begin{array}{ccc}
\operatorname{Fil}^{r} \mathcal{M} & \xrightarrow{f_{0}} & \operatorname{Fil}^{r} \mathcal{N} \\
\phi_{r} & & & \downarrow \phi_{r} \\
\mathcal{M} & \xrightarrow{f_{1}} & & \mathcal{N}
\end{array}$$

On vérifie directement que  $f_0 \equiv f_1 \pmod{\kappa \mathcal{N}}$ , ce qui implique d'une part que  $f_1$  respecte les Fil r et d'autre part, par un argument analogue à celui utilisé pour la fidélité, que  $\phi_r \circ f_0 \equiv \phi_r \circ f_1 \pmod{\phi_r(\kappa)\mathcal{N}}$ . Ainsi  $f_1$  et  $\phi_r$  commutent modulo  $\phi_r(\kappa)\mathcal{N}$ . On construit de même  $f_2$  à partir de  $f_1$ , et celui-ci convient.

Il reste à prouver que  $f_2$  commute automatiquement à N. Il s'agit à nouveau d'un argument analogue. Pour plus de précisions, on pourra consulter la fin de la preuve du lemme 6.1.3 de [Car].

Montrons pour finir l'essentielle surjectivité. Soit  $\tilde{\mathcal{M}}$  un objet de la catégorie  $\underline{\tilde{\mathcal{M}}}^r$ . Considérons  $(e_1,\ldots,e_d)$  une base adaptée de  $\tilde{\mathcal{M}}$  pour les entiers  $n_1,\ldots,n_d$ . Notons  $\mathcal{M}$  le  $S_1$ -module engendré par des éléments  $\hat{e}_1,\ldots,\hat{e}_d$  et définissons :

$$\operatorname{Fil}^r \mathcal{M} = \operatorname{Fil}^r S_1 \cdot \mathcal{M} + \sum_{i=1}^d u^{n_i} S_1 \cdot \hat{e}_i \subset \mathcal{M}.$$

Soit pr :  $\mathcal{M} \to \tilde{\mathcal{M}}$  l'application  $S_1$ -linéaire définie par pr $(\hat{e}_i) = e_i$  pour tout i. Elle est surjective et respecte les Fil<sup>r</sup>. Pour tout i, notons  $\hat{x}_i$  un relevé (i.e. un antécédent par pr) de  $\phi_r(e_i)$  et définissons  $\phi_r(\hat{e}_i) = \hat{x}_i$ . On prolonge  $\phi_r$  à tout Fil $^{r}\mathcal{M}$  (de façon à respecter les conditions de la catégorie  $\underline{\mathcal{M}}^r$ ) obtenant ainsi une application  $\phi_r$ : Fil $^{r}\mathcal{M} \to \mathcal{M}$ , dont il est facile de vérifier que l'image engendre tout  $\mathcal{M}$ .

Il reste à définir un opérateur de monodromie sur  $\mathcal{M}$ . Pour cela, on procède à nouveau par approximations successives. On commence par définir  $N_0$  en imposant la condition de Leibniz

et que  $N_0(\hat{e}_i)$  soit un relevé de  $N(e_i)$ . On vérifie immédiatement que  $E(u)N_0(\operatorname{Fil}^r\mathcal{M}) \subset \operatorname{Fil}^r\mathcal{M}$  et que le diagramme suivant :

$$Fil^{r}\mathcal{M} \xrightarrow{\phi_{r}} \mathcal{M}$$

$$E(u)N_{0} \downarrow \qquad \qquad \downarrow cN_{0}$$

$$Fil^{r}\mathcal{M} \xrightarrow{\phi_{r}} \mathcal{M}$$

commute modulo  $\kappa \mathcal{M}$ . Une variante du corollaire 2.2.2 assure que l'on peut construire une application  $N_1$  vérifiant la condition de Leibniz et faisant commuter le diagramme suivant :

$$Fil^{r}\mathcal{M} \xrightarrow{\phi_{r}} \mathcal{M}$$

$$E(u)N_{0} \downarrow \qquad \qquad \downarrow^{cN_{1}}$$

$$Fil^{r}\mathcal{M} \xrightarrow{\phi_{r}} \mathcal{M}$$

Mais alors  $N_1$  est un autre relevé de N, ce qui implique que  $E(u)N_1(\operatorname{Fil}^r\mathcal{M}) \subset \operatorname{Fil}^r\mathcal{M}$ . Et par ailleurs, le diagramme :

$$\begin{array}{ccc}
\operatorname{Fil}^{r} \mathcal{M} & \xrightarrow{\phi_{r}} & \mathcal{M} \\
E(u)N_{1} \downarrow & & \downarrow^{c}N_{1} \\
\operatorname{Fil}^{r} \mathcal{M} & \xrightarrow{\phi_{r}} & \mathcal{M}
\end{array}$$

commute modulo  $\phi_r(\kappa)\mathcal{M}$ . L'application  $N_2$  obtenue à partir de  $N_1$  de la même façon que  $N_1$  a été obtenue à partir de  $N_0$  répond finalement à la question.

Remarque. Contrairement à ce qui se passe pour les objets modulo  $u^{ep}$ , il n'est, à notre connaissance, pas possible de décrire un quasi-inverse du foncteur T par une simple formule.

## 2.3 Foncteurs vers les représentations galoisiennes

Il existe deux versions du foncteur vers les représentations galoisiennes. La première, que nous notons  $T_{\rm st}$ , est covariante et la seconde,  $T_{\rm st}^{\star}$ , est contravariante. Nous sommes dans l'obligation de présenter ici les deux foncteurs et d'établir les liens qui les relient, car pour ce que nous voulons faire, il sera plus commode d'utiliser la version covariante, mais nous aurons également besoin d'utiliser les résultats de [Car] où seulement la version covariante est présentée et étudiée.

#### 2.3.1 Un anneau de périodes

Avant de pouvoir définir ces foncteurs, il faut introduire l'anneau de périodes  $\hat{A}_{st}$ . Cet anneau a une interprétation cohomologique que nous passons sous silence pour l'instant.

Pour tout entier n, on considère l'application :

$$\hat{\theta}_n : W_n(\mathcal{O}_{\bar{K}}/p) \to \mathcal{O}_{\bar{K}}/p^n$$
 $(a_0, a_1, \dots, a_{n-1}) \mapsto \hat{a}_0^{p^n} + p\hat{a}_1^{p^{n-1}} + \dots + p^{n-1}\hat{a}_{n-1}^p$ 

où  $\hat{a}_i \in \mathcal{O}_{\bar{K}}/p^n$  est un relevé quelconque de  $a_i$ . On note  $W_n(\mathcal{O}_{\bar{K}}/p)^{\mathrm{DP}}$  l'enveloppe aux puissances divisées de  $W_n(\mathcal{O}_{\bar{K}}/p)$  par rapport à  $\ker \hat{\theta}_n$  (et compatibles avec les puissances divisées

canoniques sur  $pW_n(\mathcal{O}_{\bar{K}}/p)$ ). Les  $W_n(\mathcal{O}_{\bar{K}}/p)^{\mathrm{DP}}$  forment un système projectif pour les applications de transition données par le Frobenius sur les vecteurs de Witt. On note  $A_{\mathrm{cris}}$  la limite projective de ce système. On voit facilement que le Frobenius sur les vecteurs de Witt induit une application  $\phi: A_{\mathrm{cris}} \to A_{\mathrm{cris}}$ . En outre, on définit sur  $A_{\mathrm{cris}}$  une filtration obtenue à partir des filtrations données par les puissances divisées sur  $W_n(\mathcal{O}_{\bar{K}}/p)^{\mathrm{DP}}$ . Si t<0, on pose par convention Fil  $^tA_{\mathrm{cris}}=A_{\mathrm{cris}}$ . Par ailleurs,  $A_{\mathrm{cris}}$  est muni d'une action du groupe de Galois  $G_K$ .

Par définition  $\hat{A}_{st}$  est le complété p-adique de  $A_{cris}\langle X\rangle$ . On munit  $\hat{A}_{st}$  d'une filtration en posant :

$$\operatorname{Fil}^{t} \hat{A}_{\operatorname{st}} = \left\{ \sum_{i=0}^{\infty} a_{i} \frac{X^{i}}{i!}, \lim_{i \to \infty} a_{i} = 0, a_{i} \in \operatorname{Fil}^{t-i} A_{\operatorname{cris}} \right\}$$

pour tout entier t. On étend le Frobenius à  $\hat{A}_{st}$  en imposant  $\phi(X) = (1+X)^p - 1$ . On vérifie que  $\phi(\operatorname{Fil}^t \hat{A}_{st}) \subset p^t \hat{A}_{st}$ , ce qui permet de définir une application  $\phi_t = \phi/p^t$ :  $\operatorname{Fil}^t \hat{A}_{st} \to \hat{A}_{st}$ . D'autre part, on définit sur  $\hat{A}_{st}$  une dérivation  $A_{cris}$ -linéaire, par la formule :

$$N\left(\frac{X^{i}}{i!}\right) = (1+X)\frac{X^{i-1}}{(i-1)!}.$$

On étend également l'action de  $G_K$  à tout  $\hat{A}_{\mathrm{st}}$ . Pour cela, on commence par fixer  $\underline{\pi} = (\pi_n)$  un système compatible de racines  $p^n$ -ièmes de  $\pi$ . Soit  $g \in G_K$ . On définit  $\varepsilon_n(g)$  comme l'unique élément de  $\mathcal{O}_{\bar{K}}$  vérifiant  $g(\pi_n) = \varepsilon_n(g)\pi_n$ . La famille des  $(\varepsilon_n(g))$  forme un système compatible de racines  $p^n$ -ièmes de l'unité et par suite un élément  $[\varepsilon(g)] \in A_{\mathrm{cris}}$  obtenu à partir des représentants de Teichmüller  $[\varepsilon_n(g)] \in W_n(\mathcal{O}_{\bar{K}}/p)$ . L'action de g sur X est alors donnée par la formule  $g(X) = [\varepsilon(g)](1+X) - 1$ . On étend cette action à tout  $\hat{A}_{\mathrm{st}}$  par semi-linéarité.

L'anneau S n'est pas sans rapport avec  $\hat{A}_{st}$ . Si l'on note  $[\underline{\pi}]$  l'élément de  $\hat{A}_{st}$  défini à partir du système  $(\pi_n)$  fixé précédemment,  $\hat{A}_{st}$  peut être vu comme une S-algèbre via l'unique morphisme W-linéaire  $S \to \hat{A}_{st}$  qui envoie u sur  $\frac{[\underline{\pi}]}{1+X}$ . Ce morphisme est injectif et identifie S aux invariants de  $\hat{A}_{st}$  sous l'action du groupe  $G_K$ .

#### 2.3.2 La version contravariante

Nous commençons par la version contravariante qui est plus simple à définir. Soit  $\mathcal{M}$  un objet de  $\underline{\mathcal{M}}^r$ . On pose :

$$T_{\mathrm{st}}^{\star}(\mathcal{M}) = \mathrm{Hom}(\mathcal{M}, \hat{A}_{\mathrm{st},\infty})$$

où par définition  $A_{st,\infty} = A_{st} \otimes_W K_0/W$  et où le Hom précédent signifie que l'on ne considère que les morphismes S-linéaires, compatibles à Fil<sup>r</sup>, à  $\phi_r$  et à N. L'objet  $T_{st}^{\star}(\mathcal{M})$  est un  $\mathbb{Z}_p$ -module de torsion (de type fini) qui hérite d'une action de  $G_K$ . On a donc ainsi bien défini un foncteur de  $\underline{\mathcal{M}}^r$  dans la catégorie des  $\mathbb{Z}_p$ -représentations (de torsion) du groupe  $G_K$ .

Ce foncteur est étudié en détail dans [Bre97a] (pour le cas e=1) et dans [Car]. Le théorème suivant résume ses propriétés :

**Théorème 2.3.1.** Le foncteur  $T_{st}^{\star}$  est exact, pleinement fidèle, d'image essentielle stable par quotients et par sous-objets. De plus, si  $\mathcal{M}$  est un objet de  $\underline{\mathcal{M}}^r$  isomorphe en tant que S-module à  $S_{n_1} \oplus \cdots \oplus S_{n_d}$ , alors la représentation galoisienne  $T_{st}^{\star}(\mathcal{M})$  est isomorphe en tant que  $\mathbb{Z}_p$ -module à  $\mathbb{Z}/p^{n_1}\mathbb{Z} \times \cdots \times \mathbb{Z}/p^{n_d}\mathbb{Z}$ .

<sup>&</sup>lt;sup>1</sup>Ainsi  $\hat{A}_{st}$  dépend a priori de ce choix. Cependant, on peut montrer qu'il n'en dépend pas à isomorphisme canonique près.

On dispose en outre d'une description plus simple du foncteur  $T_{\rm st}^{\star}$  pour les objets tués par p. Considérons pour cela l'anneau  $\tilde{A} = \hat{A}_{\rm st}/p \otimes_{S_1} \tilde{S}$ . Comme dans le paragraphe 2.3 de [Car], on montre que  $\tilde{A}$  s'identifie à  $(\mathcal{O}_{\bar{K}}/\pi) \langle X \rangle$ . Il est possible de décrire les structures supplémentaires sur  $(\mathcal{O}_{\bar{K}}/\pi) \langle X \rangle$ . Exactement, Fil $^t(\mathcal{O}_{\bar{K}}/\pi) \langle X \rangle$  est l'idéal engendré par les  $\pi_1^{e(t-i)} \frac{X^i}{i!}$ . La monodromie est l'unique opérateur  $\mathcal{O}_{\bar{K}}/\pi$ -linéaire envoyant  $\frac{X^i}{i!}$  sur  $(1+X)\frac{X^{i-1}}{(i-1)!}$ . Il faut toutefois faire attention à  $\phi_t$  car si  $x \in \mathcal{O}_{\bar{K}}$  est un multiple de  $\pi_1^{et}$  et si  $\bar{x}$  désigne la réduction modulo  $\pi$  de x, alors x des la réduction modulo x de x des x des la réduction modulo x de x des x des la réduction modulo x de x des x d

**Proposition 2.3.2.** Soit  $\mathcal{M}$  un objet de  $\underline{\mathcal{M}}^r$  tué par p. Alors :

$$T_{st}^{\star}(\mathcal{M}) = Hom(T(\mathcal{M}), \tilde{A})$$

où Hom signifie que l'on considère les morphismes  $\tilde{S}$ -linéaires et commutant à  $Fil^r$ , à  $\phi_r$  et à N.

**Démonstration.** La tensorisation par  $\tilde{S}$  au-dessus de  $S_1$  fournit une application :

$$T_{\rm st}^{\star}(\mathcal{M}) \to {\rm Hom}(T(\mathcal{M}), \tilde{A}).$$

On vérifie directement que cette application commute à l'action de Galois.

Soit  $\psi \in T_{\mathrm{st}}^{\star}(\mathcal{M})$  qui s'envoie sur 0 par l'application précédemment définie. On a alors un diagramme commutatif :

$$\mathcal{M} \xrightarrow{\psi} \hat{A}_{st}/p\hat{A}_{st}$$

$$\downarrow \qquad \qquad \downarrow$$

$$T(\mathcal{M}) \xrightarrow{0} \tilde{A}$$

où les flèches verticales sont déduites de la projection  $S_1 \to \tilde{S}$ . Ainsi, en reprenant les notations du lemme 2.2.4, on a im  $\psi \subset \kappa \hat{A}_{\rm st}/p\hat{A}_{\rm st}$ . Or  $\psi$  commute par définition à  $\phi_r$ , d'où on déduit  $\psi \circ \phi_r(\operatorname{Fil}^r \mathcal{M}) = \phi_r \circ \psi(\operatorname{Fil}^r \mathcal{M}) \subset \phi_r(\kappa)\hat{A}_{\rm st}/p\hat{A}_{\rm st}$ . Comme par hypothèse,  $\phi_r(\operatorname{Fil}^r \mathcal{M})$  engendre  $\mathcal{M}$ , il vient im  $\psi \subset \phi_r(\kappa)\hat{A}_{\rm st}/p\hat{A}_{\rm st}$ . En appliquant à nouveau l'argument, et en utilisant  $\phi_r \circ \phi_r(\kappa) = 0$ , on obtient im  $\psi = 0$  et donc  $\psi = 0$ . Ceci démontre l'injectivité de la flèche.

Pour la surjectivité, on procède par approximations successives. Soit  $\tilde{\psi}: T(\mathcal{M}) \to \tilde{\mathcal{A}}$  un morphisme  $\tilde{S}$ -linéaire compatible aux structures. On note  $\psi: \mathcal{M} \to \hat{A}_{\rm st}/p\hat{A}_{\rm st}$  un morphisme  $S_1$ -linéaire faisant commuter le diagramme :

$$\mathcal{M} \xrightarrow{\psi} \hat{A}_{st}/p\hat{A}_{st}$$

$$\downarrow \qquad \qquad \downarrow$$

$$T(\mathcal{M}) \xrightarrow{\tilde{\psi}} \tilde{A}$$

Dans un premier temps, on vérifie qu'automatiquement  $\psi$  respecte le Fil<sup>r</sup> et commute à  $\phi_r$  modulo  $\kappa \hat{A}_{\rm st}/p\hat{A}_{\rm st}$ . D'après une variante du corollaire 2.2.2, il existe une unique application  $S_1$ -linéaire  $\psi_1$  faisant commuter le diagramme :

$$\begin{array}{ccc}
\operatorname{Fil}^{r} \mathcal{M} & \xrightarrow{\psi} & \operatorname{Fil}^{r} \hat{A}_{\operatorname{st}} / p \hat{A}_{\operatorname{st}} \\
\phi_{r} & & & \downarrow \phi_{r} \\
\mathcal{M} & \xrightarrow{\psi_{1}} & \hat{A}_{\operatorname{st}} / p \hat{A}_{\operatorname{st}}
\end{array}$$

L'application  $\psi_1$  respecte encore le Fil<sup>r</sup> et commute à  $\phi_r$  modulo  $\phi_r(\kappa)\hat{A}_{\rm st}/p\hat{A}_{\rm st}$ . De même, à partir de  $\psi_1$ , on construit  $\psi_2$ , qui respecte le Fil<sup>r</sup> et commute à  $\phi_r$  sans restriction.

Par un argument analogue (voir la fin de la preuve du lemme 6.1.2 de [Car]), on montre que  $\psi_2$  commute également à N.

#### 2.3.3 La version covariante

On commence par une définition, déjà présente dans [Bre98] (définition 3.2.1.1) :

**Définition 2.3.3.** Soit  $\mathcal{M}$  un objet de  $\underline{\mathcal{M}}^r$  (resp. de  $\widetilde{\underline{\mathcal{M}}}^r$ ). On appelle filtration admissible de  $\mathcal{M}$  toute filtration décroissante  $(Fil^t\mathcal{M})_{0\leqslant t\leqslant r}$  par des sous-S-modules (resp. des sous- $\tilde{S}$ -modules) vérifiant :

- 1.  $Fil^0\mathcal{M} = \mathcal{M} \ et \ Fil^r\mathcal{M} \ est \ \ll le \ \gg Fil^r\mathcal{M} \ de \ \mathcal{M};$
- 2. pour tous  $0 \le t \le t' \le r$ ,  $Fil^{t'-t}S \cdot Fil^t \mathcal{M} \subset Fil^{t'} \mathcal{M}$  (resp.  $Fil^{t'-t}\tilde{S} \cdot Fil^t \mathcal{M} \subset Fil^{t'} \mathcal{M}$ );
- 3. pour tout  $1 \leq t \leq r$ ,  $N(Fil^t \mathcal{M}) \subset Fil^{t-1} \mathcal{M}$ .

 $Si\ (Fil^t\mathcal{M})_{0\leqslant t\leqslant r}$  est une filtration admissible de  $\mathcal{M}$ , on définit des opérateurs  $\phi_t: Fil^t\mathcal{M} \to \mathcal{M}$  par  $\phi_t(x) = c^{t-r}\phi_t(E(u)^{r-t}x)$ .

Soit  $\mathcal{M}$  un objet de  $\underline{\mathcal{M}}^r$ . On considère le produit tensoriel  $\hat{A}_{\mathrm{st}} \otimes_S \mathcal{M}$ . Il s'agit d'un  $\hat{A}_{\mathrm{st}}$ -module de torsion naturellement muni d'une action de  $G_K$  (en regardant son action sur le premier facteur). On le munit en outre d'un opérateur de monodromie  $N: \hat{A}_{\mathrm{st}} \otimes_S \mathcal{M} \to \hat{A}_{\mathrm{st}} \otimes_S \mathcal{M}$  en posant  $N(a \otimes x) = N(a) \otimes x + a \otimes N(x)$ .

On considère sur  $\mathcal{M}$  une filtration admissible quelconque<sup>2</sup>. On peut alors définir, pour tout s compris entre 0 et r:

$$\operatorname{Fil}^{s}(\hat{A}_{\operatorname{st}} \otimes_{S} \mathcal{M}) = \sum_{t=0}^{s} \operatorname{Fil}^{t} \hat{A}_{\operatorname{st}} \otimes \operatorname{Fil}^{s-t} \mathcal{M}.$$

C'est un sous- $\hat{A}_{st}$ -module de  $\hat{A}_{st} \otimes_S \mathcal{M}$  qui dépend de la filtration admissible choisie. On définit finalement  $\phi_s$ : Fil $^s(\hat{A}_{st} \otimes_S \mathcal{M}) \to \hat{A}_{st} \otimes_S \mathcal{M}$  comme l'unique application additive vérifiant  $\phi_s(a_t \otimes x_t) = \phi_t(a_t) \otimes \phi_{s-t}(x_t)$  pour  $a_t \in \text{Fil}^t \hat{A}_{st}$  et  $x_t \in \text{Fil}^{s-t} \mathcal{M}$ .

On pose finalement:

$$T_{\mathrm{st}_{\star}}(\mathcal{M}) = \mathrm{Fil}^{\,r} (\hat{A}_{\mathrm{st}} \otimes_{S} \mathcal{M})_{N=0}^{\phi_{r}=1}$$

où la notation signifie que l'on ne retient que les  $x \in \operatorname{Fil}^r(\hat{A}_{\operatorname{st}} \otimes_S \mathcal{M})$  pour lesquels N(x) = 0 et  $\phi_r(x) = x$ . On obtient alors un  $\mathbb{Z}_p$ -module galoisien qui dépend a priori du choix d'une filtration admissible. Toutefois, nous allons prouver dans la suite que ce n'est pas le cas (voir la remarque faisant suite au corollaire 2.3.8).

Encore une fois,  $T_{\text{st}\star}(\mathcal{M})$  a une description plus simple lorsque  $\mathcal{M}$  est tué par p. Pour la donner, posons  $\tilde{\mathcal{M}} = T(\mathcal{M})$  et notons pr :  $\mathcal{M} \to \tilde{\mathcal{M}}$  la projection canonique. On vérifie facilement que si (Fil  $^t\mathcal{M}$ ) est une filtration admissible de  $\mathcal{M}$ , alors (pr(Fil  $^t\mathcal{M}$ )) est une filtration admissible de  $\tilde{\mathcal{M}}$ . En recopiant les constructions précédentes, on définit le  $\mathbb{Z}_p$ -module galoisien :

$$\operatorname{Fil}^r(\tilde{A} \otimes_{\tilde{S}} \tilde{\mathcal{M}})_{N=0}^{\phi_r=1}$$

et on a alors la proposition suivante :

<sup>&</sup>lt;sup>2</sup>Il en existe toujours : on peut par exemple prendre Fil  ${}^t\mathcal{M} = \{x \in \mathcal{M} / E(u)^{r-t}x \in \operatorname{Fil}{}^r\mathcal{M}\}.$ 

**Proposition 2.3.4.** Si  $\mathcal{M}$  est un objet de  $\underline{\mathcal{M}}^r$  tué par p alors :

$$T_{st_{\star}}(\mathcal{M}) = Fil^r (\tilde{A} \otimes_{\tilde{S}} T(\mathcal{M}))_{N=0}^{\phi_r=1}.$$

**Démonstration.** Si  $\mathcal{M}$  est tué par p, le  $\hat{A}_{st}$ -module  $\hat{A}_{st} \otimes_S \mathcal{M}$  l'est également. Il s'identifie au  $\hat{A}_{st}/p\hat{A}_{st}$ -module  $\hat{A}_{st}/p\hat{A}_{st} \otimes_{S_1} \mathcal{M}$ , et on dispose d'une application canonique :

$$\hat{A}_{\mathrm{st}}/p\hat{A}_{\mathrm{st}}\otimes_{S_1}\mathcal{M}\to \tilde{A}\otimes_{\tilde{S}}T(\mathcal{M}).$$

Cette application est clairement surjective, et en reprenant les notations du lemme 2.2.4, son noyau s'identifie à  $\kappa(\hat{A}_{st}/p\hat{A}_{st}\otimes_{S_1}\mathcal{M})$ . En outre, on vérifie directement qu'elle induit une flèche compatible à l'action de  $G_K$ :

$$\Psi: \operatorname{Fil}^r(\hat{A}_{\operatorname{st}}/p\hat{A}_{\operatorname{st}}\otimes_{S_1}\mathcal{M})_{N=0}^{\phi_r=1} \to \operatorname{Fil}^r(\tilde{A}\otimes_{\tilde{S}}T(\mathcal{M}))_{N=0}^{\phi_r=1}.$$

Reste à prouver que cette dernière application est un isomorphisme. Soit  $x \in \ker \Psi$ . On a  $x \in \operatorname{Fil}^r(\hat{A}_{\operatorname{st}}/p\hat{A}_{\operatorname{st}} \otimes_{S_1} \mathcal{M})_{N=0}^{\phi_r=1}$  et donc  $\phi_r(x) = x$ . Par ailleurs, on a  $x \in \kappa(\hat{A}_{\operatorname{st}}/p\hat{A}_{\operatorname{st}} \otimes_{S_1} \mathcal{M})$ , d'où on déduit  $x = \phi_r(x) \in \phi_r(\kappa)(\hat{A}_{\operatorname{st}}/p\hat{A}_{\operatorname{st}} \otimes_{S_1} \mathcal{M})$  puis  $x = \phi_r(x) = 0$ , puisque  $\phi_r \circ \phi_r(\kappa) = 0$  (lemme 2.2.4). L'application  $\Psi$  est donc injective.

Passons à la surjectivité. Considérons  $x \in \operatorname{Fil}^r(\tilde{A} \otimes_{\tilde{S}} T(\mathcal{M}))_{N=0}^{\phi_r=1}$  et notons  $\hat{x} \in \hat{A}_{\operatorname{st}}/p\hat{A}_{\operatorname{st}} \otimes_{S_1} \mathcal{M}$  un relevé quelconque de x. On vérifie alors que  $\hat{x} \in \operatorname{Fil}^r(\hat{A}_{\operatorname{st}}/p\hat{A}_{\operatorname{st}} \otimes_{S_1} \mathcal{M})$  et que  $\phi_r(\hat{x}) = \hat{x} + y$  pour un certain  $y \in \kappa(\hat{A}_{\operatorname{st}}/p\hat{A}_{\operatorname{st}} \otimes_{S_1} \mathcal{M})$ . Posons  $\hat{x}_1 = \hat{x} + y \in \operatorname{Fil}^r(\hat{A}_{\operatorname{st}}/p\hat{A}_{\operatorname{st}} \otimes_{S_1} \mathcal{M})$ . On a  $\hat{x}_1 \in \operatorname{Fil}^r(\hat{A}_{\operatorname{st}}/p\hat{A}_{\operatorname{st}} \otimes_{S_1} \mathcal{M})$  et  $\phi_r(\hat{x}_1) = \hat{x}_1 + y'$  pour un certain  $y' \in \phi_r(\kappa)(\hat{A}_{\operatorname{st}}/p\hat{A}_{\operatorname{st}} \otimes_{S_1} \mathcal{M})$ . On pose alors  $\hat{x}_2 = \hat{x}_1 + y' \in \operatorname{Fil}^r(\hat{A}_{\operatorname{st}}/p\hat{A}_{\operatorname{st}} \otimes_{S_1} \mathcal{M})^{\phi_r=1}$ . On vérifie finalement que N annule  $\hat{x}_2$ , ce qui assure que  $\hat{x}_2$  est un antécédent par  $\Psi$  de x.

## 2.3.4 Lien entre les foncteurs $T_{\rm st}^{\star}$ et $T_{\rm st_{\star}}$

Fixons  $\varepsilon$  une suite de racines  $p^n$ -ièmes de l'unité et définissons  $t = \log\left([\varepsilon]\right) \in A_{\operatorname{cris}}$  où le log est donné par la série usuelle. On a  $\phi\left(t\right) = pt$  et plus exactement l'ensemble des solutions dans  $A_{\operatorname{cris}}$  de  $\phi\left(t\right) = pt$  est le  $\mathbb{Z}_p$ -module engendré par t. C'est un  $\mathbb{Z}_p$ -module libre de rang 1 isomorphe à  $\mathbb{Z}_p\left(1\right)$  en tant que représentation galoisienne. Autrement dit  $(\operatorname{Fil}^r \hat{A}_{\operatorname{st}})_{N=0}^{\phi_r=1} = (\operatorname{Fil}^r A_{\operatorname{cris}})^{\phi_r=1}$  est isomorphe en tant que représentation galoisienne à  $\mathbb{Z}_p(r)$ . De même, la représentation galoisienne  $(\operatorname{Fil}^r \hat{A}_{\operatorname{st},\infty})_{N=0}^{\phi_r=1}$  est isomorphe à  $\mathbb{Q}_p/\mathbb{Z}_p(r)$ .

On ne sait toujours pas que le foncteur  $T_{\text{st}_{\star}}$  est bien défini mais si  $\mathcal{M}$  est un objet de  $\underline{\mathcal{M}}^r$  muni d'une filtration admissible fixée, on peut définir une application :

$$\Psi: T_{\operatorname{st}_{\star}}(\mathcal{M}) \to T_{\operatorname{st}}^{\star}(\mathcal{M})^{\vee}(r)$$

où par définition  $T_{\rm st}^{\star}(\mathcal{M})^{\vee}(r)$  est la représentation galoisienne  $\operatorname{Hom}(T_{\rm st}^{\star}(\mathcal{M}), \mathbb{Q}_p/\mathbb{Z}_p(r))$ . En effet, soient  $x = \sum_i a_i \otimes x_i \in \operatorname{Fil}^r(\hat{A}_{\rm st} \otimes_S \mathcal{M})_{N=0}^{\phi_r=1}$ , et  $f: \mathcal{M} \to \hat{A}_{\rm st,\infty}$  compatible aux structures. On pose  $\Psi(x)(f) = \sum_i a_i f(x_i)$ . C'est un élément de  $(\operatorname{Fil}^r \hat{A}_{\rm st,\infty})_{N=0}^{\phi_r=1}$  soit, en vertu de l'isomorphisme décrit précédemment, un élément de  $\mathbb{Q}_p/\mathbb{Z}_p(r)$ . On vérifie immédiatement que  $\Psi$  est un morphisme  $\mathbb{Z}_p$ -linéaire commutant à l'action de Galois.

On veut démontrer que  $\Psi$  est un isomorphisme pour tout objet  $\mathcal{M} \in \underline{\mathcal{M}}^r$  et pour cela on suit la démonstration du paragraphe 3.2.1. de [Bre98] (qui concerne le cas e=1) : la méthode consiste à prouver que  $\Psi$  est un isomorphisme pour les objets tués par p, à démontrer que le foncteur  $T_{\mathrm{st}_{\star}}$  est bien défini et exact, puis à conclure à l'aide d'un dévissage.

On rappelle, dans un premier temps, que les objets simples de  $\underline{\mathcal{M}}^r$  ont une structure relativement simple (proposition 4.1.1 de [Car]) :

**Proposition 2.3.5.** Soit  $\mathcal{M}$  un objet simple de  $\underline{\mathcal{M}}^r$ . Alors  $\mathcal{M}$  est tué par p et admet une base adaptée  $(e_1, \ldots, e_d)$  pour des entiers  $n_1, \ldots, n_d$ . De plus  $N(e_i) = 0$  pour tout i et il existe une (unique) matrice G inversible à coefficients dans k telle que :

$$\begin{pmatrix} \phi_r(u^{n_1}e_1) \\ \vdots \\ \phi_r(u^{n_d}e_d) \end{pmatrix} = {}^tG \begin{pmatrix} e_1 \\ \vdots \\ e_d \end{pmatrix}.$$

On introduit les modules suivants :

$$\operatorname{Fil}_{X}^{t} \hat{A}_{\operatorname{st}} = \left\{ \sum_{i=t}^{m} a_{i} \frac{X^{i}}{i!}, \ m \in \mathbb{N}, \ a_{t} \in A_{\operatorname{cris}} \right\}$$
 (2)

et on démontre (comme dans le lemme 3.1.2.1. de [Bre98]) que  $\operatorname{Fil}_X^t(\hat{A}_{\operatorname{st}}/p^n) = (\operatorname{Fil}_X^t\hat{A}_{\operatorname{st}})/p^n$  est plat sur  $S_n$ . Si  $\mathcal{M}$  est un objet de  $\underline{\mathcal{M}}^r$  et  $(Fil^t\mathcal{M})$  est une filtration admissible de  $\mathcal{M}$ , on définit pour tout s compris entre 0 et r:

$$\operatorname{Fil}_{X}^{s}(\hat{A}_{\operatorname{st}} \otimes_{S} \mathcal{M}) = \sum_{t=0}^{s} \operatorname{Fil}_{X}^{t} \hat{A}_{\operatorname{st}} \otimes_{S} \operatorname{Fil}^{s-t} \mathcal{M}.$$

On a les deux lemmes suivants :

**Lemme 2.3.6.** Soit  $\mathcal{M}$  un objet de  $\underline{\mathcal{M}}^r$  et  $(Fil^t\mathcal{M})$  une filtration admissible de  $\mathcal{M}$ . Alors, pour tout s compris entre 0 et r, on a  $Fil_X^s(\hat{A}_{st}\otimes_S \mathcal{M}) = Fil^s(\hat{A}_{st}\otimes_S \mathcal{M})$  et  $si s \geqslant 1$ , on a une suite exacte :

$$0 \longrightarrow \bigoplus_{t=1}^{s} Fil_{X}^{t} \hat{A}_{st} \otimes_{S} Fil^{s+1-t} \mathcal{M} \longrightarrow \bigoplus_{i=0}^{s} Fil_{X}^{t} \hat{A}_{st} \otimes_{S} Fil^{s-t} \mathcal{M} \longrightarrow Fil^{s} (\hat{A}_{st} \otimes_{S} \mathcal{M}) \longrightarrow 0$$

où la première flèche est la somme des applications suivantes :

$$Fil_{X}^{t} \hat{A}_{st} \otimes_{S} Fil^{s+1-t} \mathcal{M} \rightarrow Fil_{X}^{t-1} \hat{A}_{st} \otimes_{S} Fil^{s+1-t} \mathcal{M} \oplus Fil_{X}^{t} \hat{A}_{st} \otimes_{S} Fil^{s-t} \mathcal{M}$$

$$x_{t} \otimes y_{s+1-t} \mapsto x_{t} \otimes y_{s+1-t} \oplus -x_{t} \otimes y_{s+1-t}$$

**Démonstration.** La preuve est une adaptation de celle du lemme 3.2.1.2 de [Bre98]. Pour la première assertion, on a déjà clairement  $\operatorname{Fil}_X^s(\hat{A}_{\operatorname{st}} \otimes_S \mathcal{M}) \subset \operatorname{Fil}^s(\hat{A}_{\operatorname{st}} \otimes_S \mathcal{M})$ .

On a une description alternative de  $A_{\text{cris}}$  (voir [Fon94a]). Si on note  $R = \varprojlim_{n \in \mathbb{N}} \mathcal{O}_{\bar{K}}/p$  pour les applications de transitions données par le Frobenius, on peut définir un morphisme :

$$\hat{\theta} : W(R) \to \mathcal{O}_{\mathbb{C}_p} 
(a_0, a_1, \dots, a_n, \dots) \mapsto \sum_{n \geqslant 0} p^n \hat{x}_n^{(n)}$$

où  $\mathbb{C}_p$  désigne le complété p-adique de  $\bar{K}$  et où  $\hat{x}_n^{(n)}$  est la limite quand m tend vers l'infini d'une suite  $(\hat{a}_n^{(n+m)})^{p^m}$ ,  $\hat{a}_i^{(j)} \in \mathcal{O}_{\bar{K}}$  désignant un relevé quelconque de  $a_i^{(j)}$ . L'anneau  $A_{\rm cris}$  s'identifie alors à l'enveloppe aux puissances divisées de W(R) relativement à  $\ker \hat{\theta}$  (et compatibles aux puissances divisées canoniques sur pW(R)). On vérifie facilement que  $[\underline{\pi}] \in A_{\rm cris}$  (défini à la fin du paragraphe 2.3.1) correspond bien au représentant de Teichmüller de  $\underline{\pi}$  (défini au même endroit). Par ailleurs, on montre (voir [Fon94a]) que  $\ker \hat{\theta}$  est un idéal principal, engendré par  $E([\underline{\pi}])$ .

Ainsi, si  $x \in \operatorname{Fil}^s(\hat{A}_{\operatorname{st}} \otimes_S \mathcal{M})$ , il s'écrit comme une somme de termes de la forme :

$$a\gamma_j(E([\underline{\pi}]))\gamma_k(X)\otimes m$$

(où  $\gamma_j(x) = \frac{x^j}{j!}$ ) avec  $a \in A_{\text{cris}}, m \in \text{Fil}^{s-t}\mathcal{M}$  et  $j+k \geqslant t$ . Mais  $[\underline{\pi}] = u(1+X)$  et donc  $E([\underline{\pi}]) - E(u)$  est un multiple de uX. On peut donc écrire  $E([\underline{\pi}]) = E(u) + uXb$  pour un certain  $b \in \hat{A}_{\text{st}}$  puis :

$$\gamma_j(E([\underline{\pi}])) = \sum_{\ell=0}^j \gamma_{j-\ell}(E(u))(ub)^{\ell} \gamma_{\ell}(X).$$

En réinjectant cette expression dans x, on obtient bien  $x \in \operatorname{Fil}_X^s(\hat{A}_{\operatorname{st}} \otimes_S \mathcal{M})$ .

Pour la deuxième partie du lemme, la démonstration est exactement la même que celle de [Bre98].  $\hfill\Box$ 

**Lemme 2.3.7.** Soit  $\mathcal{M}$  un objet de  $\underline{\mathcal{M}}^r$ . Pour tout s compris entre 0 et r, on a une suite exacte:

$$0 \longrightarrow Fil^{s}(\hat{A}_{st} \otimes_{S} \mathcal{M})_{N=0} \longrightarrow Fil^{s}(\hat{A}_{st} \otimes_{S} \mathcal{M}) \stackrel{N}{\longrightarrow} Fil^{s-1}(\hat{A}_{st} \otimes_{S} \mathcal{M}) \longrightarrow 0$$

où par convention  $Fil^{-1}(\hat{A}_{st} \otimes_S \mathcal{M}) = \hat{A}_{st} \otimes_S \mathcal{M}.$ 

**Démonstration.** La démonstration est la même que celle du lemme 3.2.1.3 de [Bre98]. Toutefois, on se ramène à la fin, non pas à un objet de  $\underline{MF}_k^{f,r}$  (en reprenant les notations de l'article),
mais à un objet simple de la catégorie  $\underline{\mathcal{M}}^r$  dont la structure est connue par la proposition 2.3.5.
Le même argument s'applique alors.

On déduit des deux lemmes précédents le corollaire suivant :

Corollaire 2.3.8. Soit  $\mathcal{M}$  un objet de  $\underline{\mathcal{M}}^r$ . Alors  $Fil^r(\hat{A}_{st} \otimes_S \mathcal{M})_{N=0}$  ne dépend pas de la filtration admissible choisie et si :

$$0 \longrightarrow \mathcal{M}' \longrightarrow \mathcal{M} \longrightarrow \mathcal{M}'' \longrightarrow 0$$

est une suite exacte dans  $\underline{\mathcal{M}}^r$ , alors la suite induite :

$$0 \longrightarrow Fil^r(\hat{A}_{st} \otimes_S \mathcal{M}')_{N=0} \longrightarrow Fil^r(\hat{A}_{st} \otimes_S \mathcal{M})_{N=0} \longrightarrow Fil^r(\hat{A}_{st} \otimes_S \mathcal{M}'')_{N=0} \longrightarrow 0$$

est également exacte.

**Démonstration.** C'est la même que celle de la proposition 3.2.1.4 de [Bre98], en remplaçant à nouveau  $\underline{MF}_k^{f,r}$  par la sous-catégorie de  $\underline{\mathcal{M}}^r$  formée des objets tués par p, et en utilisant la proposition 2.3.5 qui donne la structure de tels objets.

Remarque. On prouve de même que si  $0 \longrightarrow \mathcal{M}' \longrightarrow \mathcal{M} \longrightarrow \mathcal{M}'' \longrightarrow 0$  est une suite exacte dans  $\underline{\mathcal{M}}^r$ , alors la suite :

$$0 \longrightarrow (\hat{A}_{st} \otimes_S \mathcal{M}')_{N=0} \longrightarrow (\hat{A}_{st} \otimes_S \mathcal{M})_{N=0} \longrightarrow (\hat{A}_{st} \otimes_S \mathcal{M}'')_{N=0} \longrightarrow 0$$

l'est aussi.

D'autre part, le corollaire précédent prouve en particulier que  $T_{\text{st}\star}(\mathcal{M})$  ne dépend pas de la filtration choisie. Ainsi le foncteur  $T_{\text{st}\star}$  est bien défini.

**Lemme 2.3.9.** Si  $\mathcal{M}$  est un objet de  $\underline{\mathcal{M}}^r$ , on a une suite exacte :

$$0 \longrightarrow Fil^r(\hat{A}_{st} \otimes_S \mathcal{M})_{N=0}^{\phi_r=1} \longrightarrow Fil^r(\hat{A}_{st} \otimes_S \mathcal{M})_{N=0} \xrightarrow{\phi_r-id} (\hat{A}_{st} \otimes_S \mathcal{M})_{N=0} \longrightarrow 0.$$

**Démonstration.** Il suffit de montrer que  $\phi_r$  – id est surjective. De même que dans le lemme 3.2.1.6 de [Bre98], on se ramène au cas d'un objet simple de  $\mathcal{M}^r$ .

Soit  $\mathcal{M}$  un objet simple de  $\underline{\mathcal{M}}^r$ . D'après la proposition 2.3.5, on peut écrire  $\mathcal{M} = S_1 e_1 \oplus \cdots \oplus S_1 e_d$  où  $e_1, \ldots, e_d$  sont tels que  $N(e_i) = 0$  et Fil $^r \mathcal{M}$  est le sous-module de  $\mathcal{M}$  engendré par Fil $^p S \cdot \mathcal{M}$  et les  $u^{n_1} e_1, \ldots u^{n_1} e_d$  pour certains entiers  $n_i$  compris entre 0 et er. On a alors directement :

$$\hat{A}_{st} \otimes_{S} \mathcal{M} = \hat{A}_{st}/p\hat{A}_{st} \cdot e_{1} \oplus \cdots \hat{A}_{st}/p\hat{A}_{st} \cdot e_{d} 
(\hat{A}_{st} \otimes_{S} \mathcal{M})_{N=0} = A_{cris}/pA_{cris} \cdot e_{1} \oplus \cdots A_{cris}/pA_{cris} \cdot e_{d} 
\operatorname{Fil}^{r}(\hat{A}_{st} \otimes_{S} \mathcal{M})_{N=0} = \sum_{i=1}^{p} (A_{cris}/pA_{cris} \cdot u^{n_{i}}e_{1} + \operatorname{Fil}^{p}A_{cris}/pA_{cris} \cdot e_{i}).$$

On note G l'unique matrice inversible à coefficients dans k telle que :

$$\begin{pmatrix} \phi_r(u^{n_1}e_1) \\ \vdots \\ \phi_r(u^{n_d}e_d) \end{pmatrix} = {}^tG \begin{pmatrix} e_1 \\ \vdots \\ e_d \end{pmatrix}$$

et on conclut de même que dans le lemme 3.2.1.6 de [Bre98].

Corollaire 2.3.10. Le foncteur  $T_{st\star}$  est exact.

On déduit finalement de cette étude le théorème suivant :

**Théorème 2.3.11.** L'application  $\Psi$  définie précédemment induit une transformation naturelle inversible entre les foncteurs  $T_{st_{\star}}$  et  $(T_{st}^{\star})^{\vee}(r)$ .

**Démonstration.** Comme la catégorie  $\underline{\mathcal{M}}^r$  est artinienne, et que les foncteurs  $T_{\mathrm{st}}^{\star}$  et  $T_{\mathrm{st}\star}$  sont exacts, il suffit de montrer le résultat lorsque  $\mathcal{M}$  est un objet simple de  $\underline{\mathcal{M}}^r$ .

Si  $\mathcal{M}$  est un objet simple de  $\underline{\mathcal{M}}^r$ , la proposition 2.3.5 nous assure dans un premier temps que  $\mathcal{M}$  est tué par p. On a donc :

$$T_{\mathrm{st}}^{\star}(\mathcal{M}) = \mathrm{Hom}(T(\mathcal{M}), \tilde{A})$$
 et  $T_{\mathrm{st}_{\star}}(\mathcal{M}) = \mathrm{Fil}^{\,r}(\tilde{A} \otimes_{\tilde{S}} T(\mathcal{M}))_{N=0}^{\phi_r=1}.$ 

Par ailleurs la même proposition fournit une description explicite de  $T(\mathcal{M})$  et de ses structures supplémentaires. Précisément, il existe des entiers  $n_i$  tels que :

$$T(\mathcal{M}) = \tilde{S}e_1 \oplus \cdots \oplus \tilde{S}e_d$$
  
 $\tilde{S}u^{n_1}e_1 \oplus \cdots \oplus \tilde{S}u^{n_d}e_d$ 

avec de surcroît  $N(e_i) = 0$  pour tout i. Par ailleurs, quitte à passer à une extension non ramifiée de K, on peut supposer (voir théorème 4.3.2 de [Car]) que  $\phi_r$  est donné par  $\phi_r(u^{n_i}e_i) = e_{i+1}$ , les indices étant considérés modulo d.

Des descriptions précédentes, on déduit facilement :

$$\operatorname{Fil}^r(\tilde{A} \otimes_{\tilde{S}} T(\mathcal{M}))_{N=0} = \bar{\pi}_1^{n_1} \mathcal{O}_{\bar{K}} / \pi \cdot e_1 \oplus \cdots \oplus \bar{\pi}_1^{n_1} \mathcal{O}_{\bar{K}} / \pi \cdot e_d$$

où  $\bar{\pi}_1$  est la réduction modulo  $\pi$  de  $\pi_1$  (qui, on le rappelle, est une racine p-ième de  $\pi$  fixée). L'opérateur  $\phi_r$  agit sur ce module par  $\phi_r(\bar{\pi}_1^{n_i}e_i) = e_{i+1}$ . Tout élément de Fil $^r(\tilde{A} \otimes_{\tilde{S}} T(\mathcal{M}))_{N=0}$  s'écrit de façon unique  $x = \sum_{i=1}^d a_i \otimes e_i$  avec  $a_i = \pi_1^{n_i} x_i$  et un tel élément appartient à  $T_{\text{st}\star}(\mathcal{M})$  si, et seulement si :

$$x_i^p = \bar{\pi}_1^{n_{i+1}} x_{i+1}$$

pour tout indice  $i \in \mathbb{Z}/d\mathbb{Z}$ .

Par ailleurs, se donner un élément de  $T_{\rm st}^{\star}(\mathcal{M})$  revient à se donner l'image  $b_i$  de chacun des  $e_i$ , ces images devant vérifier  $N(b_i) = 0$ ,  $u^{n_i}b_i \in \operatorname{Fil}^r \tilde{A}$  et commuter à  $\phi_r$ . La première condition impose  $b_i \in \mathcal{O}_{\bar{K}}/\pi$ . La deuxième condition assure que  $b_i = \pi_1^{m_i}y_i$  pour  $m_i = er - n_i$  et  $y_i \in \mathcal{O}_{\bar{K}}/\pi$ . Finalement, la commutation à  $\phi_r$  impose les relations :

$$(-1)^r y_i^p = \bar{\pi}_1^{m_{i+1}} y_{i+1}.$$

On est finalement ramené à prouver que l'accouplement :

$$(a_1,\ldots,a_d)\times(b_1,\ldots,b_d)\mapsto\sum_{i=1}^d a_ib_i$$

défini sur les couples de d-uplets solutions des systèmes précédents et à valeurs dans  $(\mathcal{O}_{\bar{K}}/\pi)^{\phi_r=1}$ . Ce dernier espace est encore  $\bar{t}\mathbb{F}_p$  (ou  $\bar{t}$  est la réduction modulo  $\pi$  d'une racine (p-1)-ième de  $p^r$ ) est non dégénéré. Or par le lemme 5.1.2 de  $[\operatorname{Car}]^3$ , si on choisit  $\eta$  une racine  $(p^h-1)$ -ième de  $\pi$ , si on note  $\bar{\eta}$  sa réduction modulo  $\pi$ , et si on pose :

$$s_i = n_i p^{d-1} + n_{i+1} p^{d-2} + \dots + n_{i+d-1}$$
  
 $t_i = m_i p^{d-1} + m_{i+1} p^{d-2} + \dots + m_{i+d-1}$ 

les solutions de ces systèmes s'écrivent :

$$a_i = a^{p^i} \bar{\eta}^{s_i}$$
 et  $b_i = (-1)^{ri} b^{p^i} \bar{\eta}^{t_i}$ 

où a décrit  $\mathbb{F}_q$   $(q=p^d)$ , l'ensemble des racines dans  $\bar{k}$  de l'équation  $x^q=x$ , et où b décrit l'ensemble des racines dans  $\bar{k}$  de l'équation  $x^q=(-1)^{rd}x$ .

Si rd est pair,  $\sum_{i=1}^{d} a_i b_i = \operatorname{Tr}_{\mathbb{F}_q/\mathbb{F}_p}(ab) \cdot \bar{\eta}^v$  où  $v = s_i + t_i = er \cdot \frac{q-1}{p-1}$  est indépendant de i, et on conclut en remarquant que la trace de  $\mathbb{F}_q$  à  $\mathbb{F}_p$  est une forme bilinéaire non dégénérée.

Si rd est impair, on note  $\varepsilon \in \bar{k}$  une racine (p-1)-ième de -1, on vérifie que  $\sum_{i=1}^d a_i b_i = \varepsilon \operatorname{Tr}_{\mathbb{F}_q/\mathbb{F}_p}(ab/\varepsilon) \cdot \bar{\eta}^v$  et on conclut comme dans le cas précédent.

En vertu de ce théorème, tous les résultats démontrés sur le foncteur  $T_{\text{st}}^{\star}$  se transposent au foncteur  $T_{\text{st}_{\star}}$ . On obtient ainsi un équivalent du théorème 2.3.1 :

**Théorème 2.3.12.** Le foncteur  $T_{st_{\star}}$  est exact, pleinement fidèle, d'image essentielle stable par quotients et par sous-objets. De plus, si  $\mathcal{M}$  est un objet de  $\underline{\mathcal{M}}^r$  isomorphe en tant que S-module à  $S_{n_1} \oplus \cdots \oplus S_{n_d}$ , alors la représentation galoisienne  $T_{st_{\star}}(\mathcal{M})$  est isomorphe en tant que  $\mathbb{Z}_p$ -module à  $\mathbb{Z}/p^{n_1}\mathbb{Z} \times \cdots \times \mathbb{Z}/p^{n_d}\mathbb{Z}$ .

 $<sup>^3</sup>$ Dans cette référence, on travaillait non pas modulo  $\pi$  mais modulo p. Cependant, on vérifie sans mal que la méthode marche dans les deux cas.

# 3 Les faisceaux sur le site log-syntomique

### 3.1 Rappels et préliminaires

#### 3.1.1 Log-schémas et sites usuels

On renvoie à [Kat89] pour la définition et les propriétés des log-schémas et des morphismes de log-schémas (en particulier des morphismes log-lisses ou log-étales). Tous les log-schémas considérés dans ce papier sont intègres. Si S est un log-schéma, on note  $\dot{S}$  le schéma sous-jacent. Si M est un monoïde, on note  $M^{\rm gp}$  le groupe associé, c'est-à-dire l'ensemble des éléments de la forme  $ab^{-1}$  pour a et b dans M où deux éléments  $ab^{-1}$  et  $cd^{-1}$  sont identifiés s'il existe  $s \in M$  tel que sad = sbc (i.e. simplement ad = bc si M est intègre). Si M est un monoïde et G un sous-groupe de  $M^{\rm gp}$ , on définit le quotient M/G comme le quotient de M par la relation d'équivalence  $x \sim y \leftrightarrow xy^{-1} \in G$ .

Si S est un log-schéma fin dont le schéma sous-jacent est tué par un entier non nul et muni d'un idéal à puissances divisées et si X est un log-schéma fin sur T auquel les puissances divisées s'étendent, on note  $(X/S)_{\text{cris}}$  le petit site (log-)cristallin fin (défini dans [Kat89], chapitre 5) et  $(X/S)_{\text{CRIS}}$  le gros site (log-)cristallin fin (défini dans [Bre96], chapitre 3). On note  $\mathcal{O}_{X/S}$  le faisceau structural sur ces sites,  $\mathcal{J}_{X/S}$  son idéal à puissances divisées et  $\mathcal{J}_{X/S}^{[n]}$  les puissances divisées successives de  $\mathcal{J}_{X/S}$ .

De même, si S est un log-schéma fin, on note  $S_{\text{\'et}} = \dot{S}_{\text{\'et}}$  le petit site (log-)étale de S: c'est la catégorie des log-schémas X pour lesquels  $\dot{X}$  est étale sur  $\dot{S}$  et la log-structure sur X est induite par celle de S, les recouvrements étant les recouvrements étales usuels (sur les schémas sous-jacents). On note également  $S_{\acute{E}T}$  le gros site (log-)étale de S défini comme la catégorie des log-schémas fins localement de type fini sur S et munie de la topologie étale. On note  $\mathcal{O}_X$  le faisceau structural sur chacun de ces deux sites.

#### 3.1.2 Topologie log-syntomique

On rappelle la définition d'un morphisme de log-schémas log-syntomiques, due à Kato (voir [Kat89]) :

**Définition 3.1.1.** Un morphisme de log-schémas fins  $f: Y \to X$  est dit log-syntomique s'il est intègre, si  $\dot{f}: \dot{Y} \to \dot{X}$  est localement de présentation finie, et si f peut s'écrire étale localement comme la composée d'un morphisme log-lisse avec une immersion fermée exacte dont l'idéal est engendré en chaque point par une suite transversalement régulière relativement à X.

On montre (voir [Bre96]) que les morphismes log-syntomiques sont stables par changement de base et par composition. En outre, on dispose de la propriété remarquable suivante :

**Proposition 3.1.2.** Si  $Y \to X$  est une immersion fermée exacte définie par un nil-idéal, on peut étale-localement relever les morphismes log-syntomiques sur Y en des morphismes log-syntomiques sur X.

Il est de plus possible de donner une description locale très explicite des morphismes logsyntomiques. Précisément, si  $f: Y \to X$  est un morphisme log-syntomique, alors il existe une carte (locale pour la topologie étale) sur laquelle f prend la forme suivante :

$$\frac{P \oplus \mathbb{N}^r}{G} \xrightarrow{f} \frac{(A \otimes_{\mathbb{Z}[P]} \mathbb{Z}[(P \oplus \mathbb{N}^r)G][X_1, \dots, X_s]}{I}}{f \uparrow}$$

$$P \xrightarrow{A}$$

où A est un anneau, P est un monoïde intègre, r et s des entiers, G un sous-groupe de  $P^{gp} \oplus \mathbb{Z}^r$  et I un idéal contenant les [g] - 1 (pour  $g \in G$ ) et engendré par une suite transversalement régulière relativement à A.

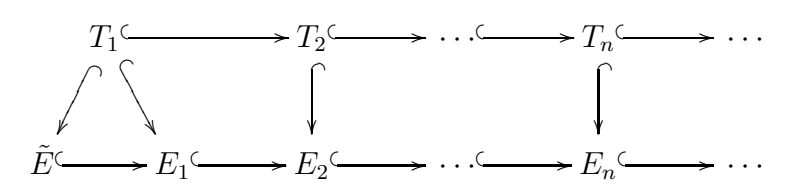
Si S est un log-schéma fin, on note  $S_{\rm SYN}$  le gros site (log-)syntomique sur X, c'est-àdire la catégorie des log-schémas fins localement de type fini sur X munie de la topologie log-syntomique : une famille  $(f_i:X_i\to X)$  recouvre X si tous les morphismes  $f_i$  sont logsyntomiques et si topologiquement  $\dot{X}=\bigcup_i f_i(\dot{X}_i)$ . De même on définit le petit site (log-)syntomique  $S_{\rm syn}$  en se restreignant à la catégorie des log-schémas log-syntomiques sur S.

#### 3.1.3 Plusieurs bases

Pour la suite, on sera amené à considérer plusieurs bases qui sont :

$$\begin{pmatrix} \mathbb{N} \to \mathcal{O}_K/p^n \\ 1 \mapsto \pi \end{pmatrix} ; \begin{pmatrix} \mathbb{N} \to S_n \\ 1 \mapsto u \end{pmatrix} ; \begin{pmatrix} \mathbb{N} \to \tilde{S} \\ 1 \mapsto u \end{pmatrix} ; \begin{pmatrix} \mathbb{N} \to k \\ 1 \mapsto 0 \end{pmatrix}$$

On note simplement  $T_n$  la première,  $E_n$  la deuxième,  $\tilde{E}$  la troisième et  $\bar{E} = \bar{T}$  la quatrième. Ces quatre bases sont munies de puissances divisées : sur  $T_n$ , elles sont prises par rapport à l'idéal engendré par p, sur  $E_n$  et  $\tilde{E}$  par rapport à l'idéal engendré par les  $\frac{E(u)^i}{i!}$  pour  $i \geqslant 1$  et sur la dernière par rapport à l'idéal nul. On a un diagramme :



où tous les morphismes sont des épaississements, les flèches verticales étant obtenues en envoyant u sur  $\pi$ .

Les bases  $E_n$ ,  $\tilde{E}$  et  $\bar{E}$  sont munies d'un relèvement du Frobenius : c'est la multiplication par p sur les monoïdes, l'élévation à la puissance p sur  $\tilde{S}$  et k et le Frobenius défini au paragraphe 2.1.1 sur  $S_n$ .

# 3.2 Les faisceaux $\mathcal{O}_n^{\mathbf{st}}$ et $\mathcal{J}_n^{[s]}$

Dans ce paragraphe, on définit des faisceaux  $\mathcal{O}_n^{\mathrm{st}}$  et  $\mathcal{J}_n^{[s]}$  sur le site syntomique qui permettent de calculer la cohomologie cristalline. On donne ensuite une description locale explicite de ces faisceaux, technique mais cruciale pour mener à bien les calculs.

#### 3.2.1 Définition et description locale

Pour tout entier n et tout entier (relatif) s, on définit sur  $(T_n)_{SYN}$  les préfaisceaux  $\mathcal{J}_n^{[s]}$  par la formule :

$$\mathcal{J}_n^{[s]}(U) = H^0((U/E_n)_{\text{cris}}, \mathcal{J}_{U/E_n}^{[s]}) = H^0((U/E_n)_{\text{CRIS}}, \mathcal{J}_{U/E_n}^{[s]})$$

où U sur  $T_n$  est vu sur  $E_n$  via l'épaississement du paragraphe 3.1.3. On pose  $\mathcal{O}_n^{\mathrm{st}} = \mathcal{J}_n^{[0]}$ . On montre (voir [Bre96]) que les  $\mathcal{J}_n^{[s]}$  sont des faisceaux et qu'ils calculent la cohomologie log-cristalline dans le sens où :

$$H^{i}(X_{\text{syn}}, \mathcal{J}_{n}^{[s]}) = H^{i}(X_{\text{SYN}}, \mathcal{J}_{n}^{[s]}) = H^{i}((X/E_{n})_{\text{cris}}, \mathcal{J}_{X/E_{n}}^{[s]}) = H^{i}((X/E_{n})_{\text{CRIS}}, \mathcal{J}_{X/E_{n}}^{[s]})$$

pour tout entier i et tout log-schéma X fin localement de type fini sur  $E_n$ .

Soit U un log-schéma log-syntomique sur la base  $T_n$ . On a vu qu'étale-localement, on peut trouver une carte du morphisme  $U \to T_n$  qui prend la forme :

$$\frac{\mathbb{N}x_0 \oplus \mathbb{N}x_1 \oplus \cdots \oplus \mathbb{N}x_r}{G} \xrightarrow{\alpha} \frac{\mathcal{O}_K/p^n[(\mathbb{N}x_0 \oplus \mathbb{N}x_1 \oplus \cdots \oplus \mathbb{N}x_r)G][X_1, \dots, X_s]}{([x_0] - \pi, f_1, \dots, f_t)} \\
\uparrow \\
\mathbb{N}x_0 \xrightarrow{} \mathcal{O}_K/p^n$$

où G est un sous-groupe de  $\mathbb{Z}^{r+1}$  et  $([x_0] - \pi, f_1, \dots, f_t)$  est une suite transversalement régulière relativement à  $\mathcal{O}_K/p^n$  et telle que l'idéal engendré contienne tous les [g] - 1, pour  $g \in G$ .

Notons  $Q = \mathbb{N}x_0 \oplus \mathbb{N}x_1 \oplus \cdots \oplus \mathbb{N}x_r$ , P = Q/G et  $A = \frac{\mathcal{O}_K/p^n[QG][X_1, \dots, X_s]}{([x_0] - \pi, f_1, \dots, f_t)}$ , de sorte que (étale-)localement  $U = (\operatorname{Spec} A, P)$ . Décrire localement (pour la topologie syntomique) les faisceaux  $\mathcal{O}_n^{\operatorname{st}}$  et  $\mathcal{J}_n^{[s]}$  serait par exemple donner des formules explicites pour les modules  $\mathcal{O}_n^{\operatorname{st}}(\operatorname{Spec} A, P)$  et  $\mathcal{J}_n^{[s]}(\operatorname{Spec} A, P)$ . Cependant, on ne sait donner de telles formules que si le Frobenius est surjectif sur A et sur P, ce qui n'est a priori pas le cas ici. Nous allons donc devoir considérer des ouverts encore plus petits (toujours pour la topologie syntomique) pour forcer cette condition de surjectivité.

Notons  $Q^i = \mathbb{N} x_0^{p^{-i}} \oplus \mathbb{N} x_1^{p^{-i}} \oplus \cdots \oplus \mathbb{N} x_r^{p^{-i}}$ ,  $P^i = Q^i/G$  et  $A^i = \frac{\mathcal{O}_K/p^n[Q^iG][X_1^{p^{-i}},...,X_s^{p^{-i}}]}{([x_0]-\pi,f_1,...,f_t)}$ . On a des morphimes de log-schémas (Spec  $A^{i+1},P^{i+1}$ )  $\to$  (Spec  $A^i,P^i$ ) qui sont des recouvrements log-syntomiques, et le Frobenius devient surjectif sur la limite de ces recouvrements. On est amené à décrire explicitement les objets suivants :

$$\mathcal{O}_n^{\mathrm{st}}(A^\infty,P^\infty) = \varinjlim_{i} \mathcal{O}_n^{\mathrm{st}}(\operatorname{Spec} A^i,P^i) \quad \text{et} \quad \mathcal{J}_n^{[s]}(A^\infty,P^\infty) = \varinjlim_{i} \mathcal{J}_n^{[s]}(\operatorname{Spec} A^i,P^i).$$

Notons  $Q^{\infty} = \mathbb{N}x_0^{1/p^{\infty}} \oplus \mathbb{N}x_1^{1/p^{\infty}} \oplus \cdots \oplus \mathbb{N}x_r^{1/p^{\infty}}$ ,  $P^{\infty} = Q^{\infty}/G$  et  $A^{\infty} = \frac{\mathcal{O}_K/p^n[Q^{\infty}G][X_1^{1/p^{\infty}},...,X_s^{1/p^{\infty}}]}{([x_0]-\pi,f_1,...,f_t)}$ . Par ailleurs, si M est un monoïde et n un entier, posons:

$$M^{(n)} = \left\{ x \in M^{\mathrm{gp}} / x^{p^n} \in M \right\}.$$

Si de plus M est muni d'un morphisme de monoïdes  $\mathbb{N} \to M$ , on définit  $\mathbb{N} \oplus_{(\phi^n),\mathbb{N}} M$  comme la limite inductive du diagramme  $\mathbb{N} \stackrel{p^n}{\longleftarrow} \mathbb{N} \longrightarrow M$ . Posons :

$$W_n^{\rm st}(A^{\infty}, P^{\infty}) = W_n(A^{\infty}/pA^{\infty}) \otimes_{\mathbb{Z}[P^{\infty}]} \mathbb{Z}[(\mathbb{N} \oplus_{(\phi^n), \mathbb{N}} P^{\infty})^{(n)}].$$

On dispose d'un morphisme canonique surjectif :

$$W_n^{\mathrm{st}}(A^{\infty}, P^{\infty}) \to A^{\infty}$$
  

$$(a_0, \dots, a_{n-1}) \otimes [h] \mapsto (\hat{a}_0^{p^n} + \dots + p^{n-1}\hat{a}^{n-1}) \cdot \alpha(h^{p^n})$$

où  $\hat{a}_i \in A^{\infty}$  désigne un relevé quelconque de  $a_i$ . On note finalement  $W_n^{\text{st,DP}}(A^{\infty}, P^{\infty})$  l'enveloppe aux puissances divisées relativement à l'ideal noyau (et compatible aux puissances divisées canoniques sur l'idéal (p)). On munit  $W_n^{\text{st,DP}}(A^{\infty}, P^{\infty})$  d'une structure de  $S_n$ -module en envoyant u sur l'élément  $1 \otimes [1 \oplus (0, \dots, 0)]$ . Comme dans l'appendice D de [Bre98], on montre la proposition suivante :

**Proposition 3.2.1.** Avec les notations précédentes, il existe un isomorphisme  $S_n$ -linéaire canonique :

$$\mathcal{O}_n^{st}(A^{\infty}, P^{\infty}) \xrightarrow{\sim} W_n^{st,DP}(A^{\infty}, P^{\infty})$$
.

Il existe une autre description locale qui a l'avantage d'être légèrement plus simple, mais l'inconvénient d'être non canonique. Notons pour cela :

$$W_n^{\mathrm{cris}}(A^{\infty}, P^{\infty}) = W_n(A^{\infty}/pA^{\infty}) \otimes_{\mathbb{Z}[P^{\infty}]} \mathbb{Z}[(P^{\infty})^{(n)}]$$

et  $W_n^{\text{cris,DP}}$  son enveloppe à puissances divisées par rapport à l'idéal noyau de l'application  $(a_0,\ldots,a_{n-1})\otimes [h]\mapsto (\hat{a}_0^{p^n}+\cdots+p^{n-1}\hat{a}_{n-1})\alpha(h^{p^n})$  où  $\hat{a}_i\in A^\infty$  désigne un relevé quelconque de  $a_i$ . On a alors le lemme suivant qui établit un lien entre les anneaux  $W_n^{\text{cris,DP}}(A^\infty,P^\infty)$  et  $W_n^{\text{st,DP}}(A^\infty,P^\infty)$ :

**Lemme 3.2.2.** On garde les notations précédentes et on note  $g \in P^{\infty}$  l'image de  $x_0$ . Soit  $h \in P^{\infty}$  une racine  $p^n$ -ième de g. Alors l'application  $W_n^{cris,DP}(A^{\infty},P^{\infty}) \langle X \rangle \to W_n^{st,DP}(A^{\infty},P^{\infty})$  qui envoie X sur  $(1 \otimes (1 \oplus h)) - 1$  est un isomorphisme.

On en déduit directement la proposition :

**Proposition 3.2.3.** Avec les notations précédentes, il existe un isomorphisme  $S_n$ -linéaire :

$$\mathcal{O}_n^{st}(A^{\infty}, P^{\infty}) \xrightarrow{\sim} W_n^{cris,DP}(A^{\infty}, P^{\infty}) \langle X \rangle$$

où la structure de  $S_n$ -module est donnée sur  $W_n^{cris,DP}(A^{\infty},P^{\infty})\langle X\rangle$  par  $\frac{u^i}{i!}\mapsto \frac{T_0^i}{i!}\frac{1}{1+X}$  où  $T_0$  désigne une racine  $p^n$ -ième de  $[x_0]$ . En outre, cet isomorphisme est compatible à la filtration donnée à gauche par les  $\mathcal{J}_n^{[s]}(A^{\infty},P^{\infty})$  et à droite par les puissances divisées.

Remarque. Attention l'isomorphisme précédent n'est pas canonique : il dépend du choix d'une racine  $p^n$ -ième de g, image de  $x_0$  dans  $P^{\infty}$ .

#### 3.2.2 Les opérateurs $\phi_s$ et N

La description précédente permet de prouver la proposition suivante importante :

**Proposition 3.2.4.** Le faisceau  $\mathcal{O}_n^{st}$  est plat sur  $S_n$  et les faisceaux  $\mathcal{J}_n^{[s]}$  sont plats sur  $W_n$ .

**Démonstration.** L'argument est le même que celui de la proposition 2.1.2.1 de [Bre98].

Si n et m sont deux entiers avec  $n \leq m$ , on a un épaississement  $i: T_n \hookrightarrow T_m$ . Ainsi pour tout faisceau  $\mathcal{F}$  sur  $(T_n)_{\text{syn}}$ , on peut former le faisceau  $i_{\star}\mathcal{F}$  sur  $(T_m)_{\text{syn}}$ . Le foncteur  $i_{\star}$  est exact (c'est une conséquence de la propriété 3.1.2) et, par abus, on note encore  $\mathcal{F}$  le faisceau  $i_{\star}\mathcal{F}$ . L'exactitude assure qu'il revient au même de calculer les cohomologies de  $\mathcal{F}$  sur les sites  $(T_n)_{\text{syn}}$  et  $(T_m)_{\text{syn}}$ .

Les descriptions locales données précédemment permettent facilement de prouver l'exactitude des deux suites de faisceaux (sur  $(T_m)_{syn}$ ) suivantes :

$$0 \longrightarrow \mathcal{O}_i^{\operatorname{st}} \xrightarrow{p^n} \mathcal{O}_{n+i}^{\operatorname{st}} \longrightarrow \mathcal{O}_n^{\operatorname{st}} \longrightarrow 0$$

$$0 \longrightarrow \mathcal{J}_i^{[s]} \xrightarrow{p^n} \mathcal{J}_{n+i}^{[s]} \longrightarrow \mathcal{J}_n^{[s]} \longrightarrow 0$$

pour tout entier i tel que  $n+i \leq m$ . D'autre part, toujours pour  $n+i \leq m$ , la multiplication par  $p^i$  identifie sur le site  $(T_m)_{\text{syn}}$  les faisceaux  $\mathcal{O}_n^{\text{st}}$  et  $p^i \mathcal{O}_{n+i}^{\text{st}}$ . Comme la base  $E_n$  est munie d'un

relèvement du Frobenius (voir paragraphe 3.1.3), les groupes  $\mathcal{O}_n^{\mathrm{st}}(U) = H^0((U/E_n)_{\mathrm{cris}}, \mathcal{O}_{U/E_n})$  héritent d'un opérateur de Frobenius  $\phi$  qui s'étend immédiatement en un morphisme de faisceaux  $\phi: \mathcal{O}_n^{\mathrm{st}} \to \mathcal{O}_n^{\mathrm{st}}$ .

Par ailleurs, on vérifie directement en utilisant la platitude et la description locale que pour tout entier s, on a l'inclusion  $\phi(\mathcal{J}_n^{[s]}) \subset p^s \mathcal{O}_n^{\mathrm{st}}$ . Les suites exactes précédentes permettent alors de définir un morphisme de faisceaux  $\phi_s$  sur le site  $(T_m)_{\mathrm{syn}}$  (pour  $m \ge n+s$ ) comme la composée :

$$\mathcal{J}_{n}^{[s]} \xrightarrow{\sim} \mathcal{J}_{n+s}^{[s]}/p^{n} \xrightarrow{\phi} p^{s} \mathcal{O}_{n+s}^{\mathrm{st}} \xrightarrow{\sim}_{p^{s}} \mathcal{O}_{n}^{\mathrm{st}}$$

après avoir vérifié que  $\phi$  passe au quotient.

Remarque. Les faisceaux  $\mathcal{J}_n^{[s]}$  et  $\mathcal{O}_n^{\mathrm{st}}$  sont définis sur le site  $(T_n)_{\mathrm{syn}}$  mais  $\phi_s$  n'est, lui, défini que sur  $(T_{n+s})_{\mathrm{syn}}$ .

Finalement on peut munir  $\mathcal{O}_n^{\mathrm{st}}$  d'un opérateur N qui sur la description locale (voir proposition 3.2.3) est simplement défini comme l'unique application  $W_n^{\mathrm{cris,DP}}(A^\infty,P^\infty)$ -linéaire qui envoie  $\frac{X^i}{i!}$  sur  $(1+X)\frac{X^{i-1}}{(i-1)!}$  (cette application ne dépend pas d'un choix d'une racine  $p^n$ -ième de g, elle est donc canoniquement définie et peut se recoller).

## 3.3 Le cas de la caractéristique p

Dans ce paragraphe, on se concentre sur le cas n=1 et on donne des descriptions plus faciles à manipuler des faisceaux précédemment introduits. En effet, par la suite, nous procéderons systématiquement par dévissages et donc le cas n=1 aura toujours un statut particulier.

# 3.3.1 Une nouvelle description des faisceaux $\mathcal{O}_1^{\mathrm{st}}$ et $\mathcal{J}_1^{[s]}$

On reprend la description donnée par la proposition 3.2.3 dans le cas n=1:

$$\mathcal{O}_1^{\mathrm{st}}(A^{\infty}, P^{\infty}) = W_1^{\mathrm{cris},\mathrm{DP}}(A^{\infty}, P^{\infty}) \langle X \rangle.$$

Un calcul facile prouve que le morphisme qui envoie  $\pi$  sur  $[x_0]$  identifie  $W_1^{\mathrm{cris},\mathrm{DP}}(A^\infty,P^\infty)$  à :

$$\left(\frac{k[Q^{\infty}G^{1/p}][X_1^{1/p^{\infty}},\dots,X_s^{1/p^{\infty}}]}{([x_0]^e,f_1,\dots,f_t)}\right)^{DP}$$

où l'on nomme encore de façon abusive  $f_i \in k[Q^{\infty}G^{1/p}][X_1^{1/p^{\infty}}, \dots, X_s^{1/p^{\infty}}]$  l'image de  $f_i \in \mathcal{O}_K/p[Q^{\infty}G][X_1,\dots,X_s]$  et où par définition  $G^{1/p}$  désigne le sous-groupe de  $(Q^{\infty})^{\mathrm{gp}}$  formé des x tels que  $x^p \in G$ . On remarque en outre que la suite  $([x_0]^e, f_1, \dots, f_t)$  est encore régulière dans  $k[Q^{\infty}G^{1/p}][X_1^{1/p^{\infty}}, \dots, X_s^{1/p^{\infty}}]$ .

 $k[Q^{\infty}G^{1/p}][X_1^{1/p^{\infty}},\ldots,X_s^{1/p^{\infty}}].$ Soit  $\psi_i \in k[Q^{\infty}G][X_1^{1/p^{\infty}},\ldots,X_s^{1/p^{\infty}}]$  vérifiant  $\psi_i^p = f_i$ . En explicitant les puissances divisées, on voit que  $\mathcal{O}_1^{\operatorname{st}}(A^{\infty},P^{\infty})$  s'identifie à :

$$\bigoplus_{m_0,\dots,m_{t+1}\in\mathbb{N}} \mathcal{B} \cdot \gamma_{pm_0}(u^e) \gamma_{pm_1}(\psi_1) \cdots \gamma_{pm_t}(\psi_t) \gamma_{pm_{t+1}}(X)$$
(3)

où  $u = \frac{[x_0^{1/p}]}{1+X}$  et où on a posé :

$$\mathcal{B} = \frac{k[Q^{\infty}G^{1/p}][X_1^{1/p^{\infty}}, \dots, X_s^{1/p^{\infty}}][X]}{([x_0]^e, f_1, \dots, f_t, X^p)}.$$
(4)

La description précédente fournit également une description locale des faisceaux  $\mathcal{J}_1^{[s]}$ :  $\mathcal{J}_1^{[s]}(A^{\infty},P^{\infty})$  s'identifie au sous- $\mathcal{B}$ -module de  $\mathcal{O}_1^{\mathrm{st}}(A^{\infty},P^{\infty})$  engendré par les :

$$\gamma_{m_0}(u^e)\gamma_{m_1}(\psi_1)\cdots\gamma_{m_t}(\psi_t)\gamma_{m_{t+1}}(X)$$
 avec  $m_0+\cdots+m_t\geqslant s$ .

Les quotients  $\mathcal{J}_1^{[s]}/\mathcal{J}_1^{[s+1]}$  ont également une écriture sympathique :

$$\frac{\mathcal{J}_{1}^{[s]}(A^{\infty}, P^{\infty})}{\mathcal{J}_{1}^{[s+1]}(A^{\infty}, P^{\infty})} = \bigoplus_{\sum m_i = s} (\mathcal{B}/(u^e, \psi_1, \dots, \psi_t, X)) \cdot \gamma_{m_0}(u^e) \gamma_{m_1}(\psi_1) \cdots \gamma_{m_t}(\psi_t) \gamma_{m_{t+1}}(X).$$
 (5)

Si s < p, donc en particulier pour  $s \le r$ , la dernière description se simplifie légèrement et donne :

$$\frac{\mathcal{J}_{1}^{[s]}(A^{\infty}, P^{\infty})}{\mathcal{J}_{1}^{[s+1]}(A^{\infty}, P^{\infty})} = \bigoplus_{\sum m_{i} = s} (\mathcal{B}/(u^{e}, \psi_{1}, \dots, \psi_{t}, X)) \cdot u^{em_{0}} \psi_{1}^{m_{1}} \cdots \psi_{t}^{m_{t}} X^{m_{t+1}}$$
(6)

Comme ces quotients ne sont pas tués par u, on introduit de nouveaux faisceaux intermédiaires :

**Définition 3.3.1.** Soit q un nombre rationnel de la forme  $\frac{t}{e}$  où t est un entier positif ou nul. Si  $t = se + \delta$  est la division euclidienne de t par e, on pose:

$$\mathcal{J}_1^{[q]} = u^{\delta} \mathcal{J}_1^{[s]} + \mathcal{J}_1^{[s+1]}.$$

On peut à nouveau évaluer les quotients successifs comme le résume la proposition suivante :

**Proposition 3.3.2.** Soit  $0 \le q < p$  un nombre rationnel de la forme  $\frac{t}{e}$  pour un certain entier t. Notons  $t = se + \delta$  la division euclidienne de t par e. Alors, en reprenant les notations précédentes :

$$\frac{\mathcal{J}_1^{[q]}(A^{\infty}, P^{\infty})}{\mathcal{J}_1^{[q+1/e]}(A^{\infty}, P^{\infty})} = \bigoplus_{\sum m_i = s} \mathcal{C} \cdot u^{em_0 + \delta} \psi_1^{m_1} \cdots \psi_t^{m_t} X^{m_{t+1}}$$

$$\tag{7}$$

où:

$$C = \frac{\mathcal{B}}{(u, \psi_1, \dots, \psi_t, X)} = \frac{k[Q^{\infty} G^{1/p}][X_1^{1/p^{\infty}}, \dots, X_s^{1/p^{\infty}}]}{([x_0^{1/p}], \psi_1, \dots, \psi_t)}.$$
 (8)

**Démonstration.** Il est clair que  $\frac{\mathcal{J}_1^{[q]}(A^{\infty},P^{\infty})}{\mathcal{J}_1^{[q+1/e]}(A^{\infty},P^{\infty})}$  s'identifie à

$$\frac{u^{\delta}(\mathcal{J}_1^{[s]}(A^{\infty},P^{\infty})/\mathcal{J}_1^{[s+1]}(A^{\infty},P^{\infty}))}{u^{\delta+1}(\mathcal{J}_1^{[s]}(A^{\infty},P^{\infty})/\mathcal{J}_1^{[s+1]}(A^{\infty},P^{\infty}))}.$$

D'après la formule (6), il suffit de montrer que si l'on pose  $B = \mathcal{B}/(u^e, \psi_1, \dots, \psi_t, X)$ , l'application de multiplication par  $u^{\delta}$  induit un isomorphisme de  $\mathcal{C} = B/uB$  dans  $u^{\delta}B/u^{\delta+1}B$ . La surjectivité est claire.

Montrons l'injectivité. Soit  $B'=k[Q^{\infty}G^{1/p}][X_1^{1/p^{\infty}},\ldots,X_s^{1/p^{\infty}}]$ . Il suffit de montrer que s'il existe un entier  $\delta\leqslant e$  et des éléments  $x,y,y_1,\ldots,y_t$  de B' tels que :

$$u^{\delta}x = u^{e}y + y_1\psi_1 + \dots + y_t\psi_t \tag{9}$$

alors, il existe  $y'_1, \ldots, y'_t \in B'$  tels que :

$$x = u^{e-\delta}y + y_1'\psi_1 + \dots + y_t'\psi_t.$$

Nous allons prouver ce résultat par récurrence sur t. On rappelle que la famille  $(\psi_0, \psi_1, \dots, \psi_t)$  est une suite régulière de B et que, dans B, on a  $u^e = \psi_0$  (puisque X est nul).

L'initialisation de la récurrence provient simplement du fait que u n'est pas diviseur de 0 dans B (puisque  $u^e$  ne l'est pas). Pour l'hérédité, on suppose que l'équation (9) est vérifiée. Cela entraı̂ne  $u^\delta x \equiv y_t \psi_t \pmod{u^e, \psi_1, \ldots, \psi_{t-1}}$  et donc  $u^{e-n\delta} y_t \psi_t \equiv 0 \pmod{u^e, \psi_1, \ldots, \psi_{t-1}}$ . Puisque la suite  $(u^e, \psi_1, \ldots, \psi_t)$  est régulière, il vient  $u^{e-\delta} y_t \equiv 0 \pmod{u^e, \psi_1, \ldots, \psi_{t-1}}$ , et donc il existe  $z, z_1, \ldots, z_{t-1} \in B$  tels que :

$$u^{e-\delta}y_t = zu^e + z_1\psi_1 + \dots + z_{t-1}\psi_{t-1}.$$

En appliquant l'hypothèse de récurrence, on obtient l'existence d'éléments  $z', z'_1, \ldots, z'_{t-1}$  dans B tels que :

$$y_t = z'u^{\delta} + z_1'\psi_1 + \dots + z_{t-1}'\psi_{t-1}.$$

En réinjectant dans (9), il vient :

$$u^{\delta}(x - z'y_t) = u^e y + (y_1 + z'_1 y_t)\psi_1 + \dots + (y_{t-1} + z'_1 y_{t-1})\psi_{t-1}$$

et une nouvelle application de l'hypothèse de récurrence permet de conclure.

Remarque. Sur les quotients de la proposition qui précède, la structure de  $A^{\infty}$ -module est simple à décrire. En effet, ces quotients sont tués par u et par tous les  $\psi_i$ , et donc la structure de  $A^{\infty}$ -module se factorise en une structure de  $\mathcal{C}$ -module, qui est décrite de façon transparente sur la somme directe précédente.

Finalement, remarquons que si  $s \leq p-1$  et si  $p \geq 3$ , il est possible de donner une définition alternative de  $\phi_s: \mathcal{J}_1^{[s]} \to \mathcal{O}_1^{\mathrm{st}}$  qui est déjà valable sur le site  $(T_2)_{\mathrm{syn}}$ . On remarque pour cela que  $\phi_1$  s'annule sur  $\mathcal{J}_1^{[2]}$  et qu'il définit ainsi par passage au quotient un morphisme de faisceaux (sur le site  $(T_2)_{\mathrm{syn}}$ )  $\mathcal{J}_1^{[1]}/\mathcal{J}_1^{[2]} \to \mathcal{O}_1^{\mathrm{st}}$ . En outre, on a le lemme suivant :

**Lemme 3.3.3.** Le morphisme de faisceaux canoniques  $Sym_{\mathcal{O}_1}\mathcal{J}_1^{[1]}/\mathcal{J}_1^{[2]} \to \mathcal{J}_1^{[s]}/\mathcal{J}_1^{[s+1]}$  est un isomorphisme.

**Démonstration.** Avec les descriptions précédentes, c'est une conséquence directe de l'alinéa I.3.4.4 de [Ber74].

On vérifie que l'application  $\phi_s$  s'obtient comme la composée :

$$\mathcal{J}_1^{[s]} \longrightarrow \mathcal{J}_1^{[s]}/\mathcal{J}_1^{[s+1]} \xrightarrow{\operatorname{Sym}^s \phi_1} \mathcal{O}_1^{\operatorname{st}}$$
.

Cette dernière formule assure, au moins pour  $s \leq p-1$  et  $p \geq 3$ , que  $\phi_s$  ne dépend que de  $\phi_1$  et peut être défini sur  $(T_2)_{\rm syn}$ .

# $\mathbf{3.3.2}$ Les faisceaux $\mathcal{ ilde{O}}^{\mathrm{st}},\,\mathcal{ ilde{J}}^{[q]}$

Lorsque n = 1, on définit des versions simplifiées des faisceaux  $\mathcal{O}_1^{\text{st}}$  et  $\mathcal{J}_1^{[s]}$  en remplaçant la base  $E_1$  par la base  $\tilde{E}$  (voir le paragraphe 3.1.3 pour la définition).

Si U est un log-schéma sur  $T_1$ , on définit pour tout entier s:

$$\tilde{\mathcal{J}}^{[s]}(U) = H^0((U/\tilde{E})_{\mathrm{cris}}, \mathcal{J}^{[s]}_{U/\tilde{E}}) = H^0((U/\tilde{E})_{\mathrm{CRIS}}, \mathcal{J}^{[s]}_{U/\tilde{E}})$$

et  $\tilde{\mathcal{O}}^{\text{st}} = \tilde{\mathcal{J}}^{[0]}$ . Comme précédemment, les préfaisceaux  $\tilde{\mathcal{J}}^{[s]}$  sont des faisceaux sur le gros site syntomique  $(T_1)_{\text{SYN}}$  et calculent la cohomologie log-cristalline :

$$H^{i}(X_{\operatorname{syn}}, \tilde{\mathcal{J}}^{[s]}) = H^{i}(X_{\operatorname{SYN}}, \tilde{\mathcal{J}}^{[s]}) = H^{i}((X/\tilde{E})_{\operatorname{cris}}, \tilde{\mathcal{J}}_{X/\tilde{E}}^{[s]}) = H^{i}((X/\tilde{E})_{\operatorname{CRIS}}, \mathcal{J}_{X/\tilde{E}}^{[s]}).$$

De même que précédemment, on pose pour  $q=s+\frac{\delta}{e}$  où  $s\geqslant 0$  et  $0\leqslant \delta < e$  sont des entiers :

$$\tilde{\mathcal{J}}^{[q]} = u^{\delta} \tilde{\mathcal{J}}^{[s]} + \tilde{\mathcal{J}}^{[s+1]}.$$

Il est encore possible de donner une description locale très explicite de ces faisceaux. En reprenant les arguments utilisés pour les faisceaux  $\mathcal{O}_1^{\mathrm{st}}$  et  $\mathcal{J}_1^{[s]}$ , et en reprenant les notations des paragraphes 3.2.1 et 3.3.1, on aboutit à :

$$\tilde{\mathcal{O}}^{\mathrm{st}}(A^{\infty}, P^{\infty}) = \bigoplus_{m_1, \dots, m_{t+1} \in \mathbb{N}} \tilde{\mathcal{B}} \cdot \gamma_{pm_1}(\psi_1) \cdots \gamma_{pm_t}(\psi_t) \gamma_{pm_{t+1}}(X)$$
(10)

avec:

$$\tilde{\mathcal{B}} = \frac{k[Q^{\infty}G^{1/p}][X_1^{1/p^{\infty}}, \dots, X_s^{1/p^{\infty}}][X]}{([x_0], f_1, \dots, f_t, X^p)} = \frac{k[Q^{\infty}G^{1/p}][X_1^{1/p^{\infty}}, \dots, X_s^{1/p^{\infty}}][X]}{(u^p, f_1, \dots, f_t, X^p)}.$$
(11)

et, pour  $q=s+\frac{\delta}{e}<\frac{p}{e}$  (par exemple si  $q\leqslant r)$  :

$$\frac{\tilde{\mathcal{J}}^{[q]}(A^{\infty}, P^{\infty})}{\tilde{\mathcal{J}}^{[q+1/e]}(A^{\infty}, P^{\infty})} = \bigoplus_{\sum m_i = s} \tilde{\mathcal{C}} \cdot u^{em_0 + \delta} \psi_1^{m_1} \cdots \psi_t^{m_t} X^{m_{t+1}}$$

$$\tag{12}$$

où  $\tilde{\mathcal{C}} = \mathcal{C}$ . La structure de  $A^{\infty}$ -module sur ce dernier quotient se factorise en une structure de  $\tilde{\mathcal{C}}$ -module, qui est celle qui correspond à l'écriture sous forme de somme directe.

En comparant les formules (7) et (12), on en déduit la proposition suivante :

**Proposition 3.3.4.** Pour  $q \in \frac{1}{e}\mathbb{N}$ ,  $q < \frac{p}{e}$ , la projection canonique induit un isomorphisme de faisceaux :

$$\mathcal{J}_1^{[q]}/\mathcal{J}_1^{[q+1/e]} \xrightarrow{\sim} \tilde{\mathcal{J}}^{[q]}/\tilde{\mathcal{J}}^{[q+1/e]}$$
.

Par ailleurs, pour tout entier  $s<\frac{p}{e}$ , l'opérateur  $\phi_s:\mathcal{J}_1^{[s]}\to\mathcal{O}_1^{\mathrm{st}}$  induit par passage au quotient un morphisme  $\phi_s:\mathcal{J}_1^{[s]}/\mathcal{J}_1^{[s+1/e]}\to\mathcal{O}_1^{\mathrm{st}}/u^p\mathcal{O}_1^{\mathrm{st}}$ . D'autre part, la projection canonique  $\mathcal{O}_1^{\mathrm{st}}\to\tilde{\mathcal{O}}^{\mathrm{st}}$  s'annule sur  $u^p\mathcal{O}_1^{\mathrm{st}}$  et donc fournit un morphisme de faisceaux  $\mathcal{O}_1^{\mathrm{st}}/u^p\mathcal{O}_1^{\mathrm{st}}\to\tilde{\mathcal{O}}^{\mathrm{st}}$  (attention, ce n'est pas un isomorphisme). Tout cela, avec la proposition précédente, permet de définir un opérateur  $\tilde{\phi}_s$  comme la composée :

$$\tilde{\mathcal{J}}^{[s]} \longrightarrow \tilde{\mathcal{J}}^{[s]}/\tilde{\mathcal{J}}^{[s+1/e]} \stackrel{\sim}{\longleftarrow} \mathcal{J}_1^{[s]}/\mathcal{J}_1^{[s+1/e]} \stackrel{\phi_s}{\longrightarrow} \mathcal{O}_1^{\mathrm{st}}/u^p \mathcal{O}_1^{\mathrm{st}} \longrightarrow \tilde{\mathcal{O}}^{\mathrm{st}} \ .$$

Encore une fois, le morphisme  $\tilde{\phi}_s$  n'est pas défini sur  $(T_1)_{\text{syn}}$ , mais a priori simplement sur  $(T_{s+1})_{\text{syn}}$ .

Finalement, on munit le faisceau  $\tilde{\mathcal{O}}^{\mathrm{st}}$  d'un opérateur  $\tilde{N}$ , après avoir remarqué que l'opérateur  $N:\mathcal{O}_1^{\mathrm{st}}\to\mathcal{O}_1^{\mathrm{st}}$  passe au quotient puisque  $N(u^p\mathcal{O}_1^{\mathrm{st}}+\sum_{i\geqslant p}\gamma_i(u)\mathcal{O}_1^{\mathrm{st}})\subset u^p\mathcal{O}_1^{\mathrm{st}}+\sum_{i\geqslant p}\gamma_i(u)\mathcal{O}_1^{\mathrm{st}}$ .

### 3.3.3 Les faisceaux $\bar{\mathcal{O}}^{\mathrm{st}}$ et $\bar{\mathcal{J}}^{[s]}$

On recopie les définitions précédentes en se plaçant désormais sur la base  $\bar{E}$  (voir paragraphe 3.1.3) : pour tout entier s et tout  $U \in (T_1)_{SYN}$ , on pose

$$\bar{\mathcal{J}}^{[s]}(U) = H^0((\bar{U}/\bar{E})_{\mathrm{cris}}, \mathcal{J}^{[s]}_{\bar{U}/\bar{E}}) = H^0((\bar{U}/\bar{E})_{\mathrm{CRIS}}, \mathcal{J}^{[s]}_{\bar{U}/\bar{E}})$$

où  $\bar{U} = U \times_{T_1} \bar{E}$ . On obtient ainsi des faisceaux sur le site  $(T_1)_{\text{SYN}}$  qui, comme précédemment, calculent la cohomologie log-cristalline. On pose en outre  $\bar{\mathcal{O}}^{\text{st}} = \bar{\mathcal{J}}^{[0]}$ .

On dispose encore d'une description locale du faisceau  $\bar{\mathcal{O}}^{st}.$  En gardant les mêmes notations, on a :

$$\bar{\mathcal{O}}^{\mathrm{st}}(A^{\infty}, P^{\infty}) = \bigoplus_{m_1, \dots, m_{t+1} \in \mathbb{N}} \bar{\mathcal{B}} \cdot \gamma_{pm_1}(\psi_1) \cdots \gamma_{pm_t}(\psi_t) \gamma_{pm_{t+1}}(X)$$
(13)

avec:

$$\bar{\mathcal{B}} = \frac{k[Q^{\infty}G^{1/p}][X_1^{1/p^{\infty}}, \dots, X_s^{1/p^{\infty}}][X]}{(u, f_1, \dots, f_t, X^p)}.$$
(14)

L'élément u est nul par hypothèse dans  $\bar{E}$  et donc également dans  $\bar{\mathcal{O}}^{\mathrm{st}}$ . On ne définit donc pas les faisceaux intermédiaires  $\bar{\mathcal{J}}^{[q]}$  pour q rationnel, mais, si s est un entier, on a toujours une description explicite du quotient :

$$\frac{\bar{\mathcal{J}}^{[s]}(A^{\infty}, P^{\infty})}{\bar{\mathcal{J}}^{[s+1]}(A^{\infty}, P^{\infty})} = \bigoplus_{\sum m_i = s} \bar{\mathcal{C}} \cdot \gamma_{m_1}(\psi_1) \cdots \gamma_{m_t}(\psi_t) \gamma_{m_{t+1}}(X)$$
(15)

où  $\bar{\mathcal{C}} = \tilde{\mathcal{C}} = \mathcal{C}$ . Il est encore une fois possible de décrire la structure de  $A^{\infty}$ -module sur ce quotient : elle se factorise par la structure de  $\bar{\mathcal{C}}$ -module naturelle sur la somme directe. Finalement, en comparant les formules (7) et (15), on voit que le morphisme naturel  $\mathcal{J}_1^{[s]}/\mathcal{J}_1^{[s+1/e]} \to \bar{\mathcal{J}}^{[s]}/\bar{\mathcal{J}}^{[s+1]}$  est un isomorphisme pour s < p. Cela permet de définir un opérateur  $\bar{\phi}_s$  comme la composée :

$$\bar{\mathcal{J}}^{[s]} \longrightarrow \bar{\mathcal{J}}^{[s]}/\bar{\mathcal{J}}^{[s+1]} \stackrel{\sim}{\longleftarrow} \mathcal{J}_1^{[s]}/\mathcal{J}_1^{[s+1/e]} \stackrel{\phi_s}{\longrightarrow} \mathcal{O}_1^{\mathrm{st}}/u^p \mathcal{O}_1^{\mathrm{st}} \longrightarrow \bar{\mathcal{O}}^{\mathrm{st}}$$
.

# 3.3.4 Les faisceaux $\mathcal{O}_1^{\operatorname{car}}$ , $\tilde{\mathcal{O}}^{\operatorname{car}}$ et $\bar{\mathcal{O}}^{\operatorname{car}}$

Sur un log-schéma de caractéristique p, on définit le Frobenius absolu de la façon suivante : c'est le Frobenius absolu classique sur le schéma sous-jacent et la multiplication par p sur le monoïde (à supposer qu'il soit noté additivement).

Soit U un log-schéma fin (localement de présentation finie) sur  $T_1$ . On voit U sur  $E_1$  grâce à l'épaississement  $T_1 \hookrightarrow E_1$ . On note  $U' = U \times_{E_1} E_1$  où  $E_1$  est vu sur lui-même par le morphisme de Frobenius absolu. Le Frobenius absolu sur U se factorise par U' et fournit donc un morphisme  $U \to U'$  appelé Frobenius relatif  $f_U$ .

Dans la terminologie de Kato (voir [Kat89], paragraphe 4.9), la flèche  $f_U$  est faiblement purement inséparable et d'après le théorème 4.10 de  $loc.\ cit.$ , elle se factorise de façon unique sous la forme :

$$f_U:U\to U''\to U'$$

où le premier morphisme est purement inséparable et le second est log-étale. On définit alors, comme dans le paragraphe 2.2.1 de [Bre98] :

$$\mathcal{O}_1^{\operatorname{car}}(U) = \Gamma(U'', \mathcal{O}_{U''}).$$

On prouve (voir appendice B de [Bre98]) que l'on définit ainsi un faisceau  $\mathcal{O}_1^{\text{car}}$  sur le gros site syntomique  $(T_1)_{\text{SYN}}$ . Par ailleurs, d'après les résultats de [Kat89], si U = (Spec A, P), on a simplement :

$$\mathcal{O}_1^{\mathrm{car}}(U) = (S_1 \otimes_{(\phi),k} A/\pi A) \otimes_{\mathbb{Z}[\mathbb{N} \oplus_{(\phi),\mathbb{N}} P]} \mathbb{Z}[(\mathbb{N} \oplus_{(\phi),\mathbb{N}}, P)^{(1)}].$$

Avec les notations introduites précédemment, ceci se réécrit :

$$\mathcal{O}_1^{\operatorname{car}}(A^{\infty}, P^{\infty}) = \bigoplus_{m_0 \in \mathbb{N}} \mathcal{B} \cdot \gamma_{pm_0}(u^e)$$
(16)

où on rappelle que  $\mathcal{B}$  est défini par la formule (4).

On définit de même sur le site  $(T_1)_{\text{SYN}}$  les faisceaux  $\tilde{\mathcal{O}}^{\text{car}}$  et  $\bar{\mathcal{O}}^{\text{car}}$  en remplaçant la base  $E_1$  respectivement par les bases  $\tilde{E}$  et  $\bar{E}$ . Comme précédemment, on peut donner une description explicite des faisceaux obtenus. On obtient :

$$\tilde{\mathcal{O}}^{\operatorname{car}}(A^{\infty}, P^{\infty}) = \tilde{\mathcal{B}} \qquad \text{et} \qquad \bar{\mathcal{O}}^{\operatorname{car}}(A^{\infty}, P^{\infty}) = \bar{\mathcal{B}}$$
 (17)

où les anneaux  $\tilde{\mathcal{B}}$  et  $\bar{\mathcal{B}}$  sont définis respectivement par les formules (11) et (14).

Pour finir, mentionnons que la structure de  $A^{\infty}$ -module sur l'objet  $\tilde{\mathcal{O}}^{\operatorname{car}}(A^{\infty}, P^{\infty})$  est donnée par l'application  $A^{\infty} \to \tilde{\mathcal{B}}$  déduite du Frobenius. En particulier, on constate que cette application se factorise par  $\mathcal{C} = \tilde{\mathcal{C}} = \bar{\mathcal{C}}$ . Il en va de même pour  $\bar{\mathcal{O}}^{\operatorname{car}}(A^{\infty}, P^{\infty})$ .

# 4 Calcul de la cohomologie cristalline

On montre dans cette partie comment associer à un log-schéma X propre et log-lisse sur la base  $T = (\mathbb{N} \to \mathcal{O}_K, 1 \mapsto \pi)$  dont la réduction modulo p est du type de Cartier (voir définition 4.8 de [Kat89]) sur  $X \times_T T_1$ , et à un entier n des objets des catégories  $\underline{\mathcal{M}}^r$  tués par  $p^n$ . Précisément, il s'agit, pour tout i < r, des quadruplets :

$$(H^i((X_n)_{\text{syn}}, \mathcal{O}_n^{\text{st}}), H^i((X_n)_{\text{syn}}, \mathcal{J}_n^{[r]}), \phi_r, N)$$

où par définition  $X_n = X \times_T T_n$ . On fait remarquer une fois de plus que le morphisme  $\phi_r$  n'est défini que sur  $(X_{n+r})_{\text{syn}}$ . Toutefois, l'écriture précédente du quadruplet est légitime car on dispose d'isomorphismes canoniques entre  $(H^i((X_n)_{\text{syn}}, \mathcal{O}_n^{\text{st}}))$  et  $(H^i((X_{n+r})_{\text{syn}}, \mathcal{O}_n^{\text{st}}))$  d'une part et  $H^i((X_n)_{\text{syn}}, \mathcal{J}_n^{[r]})$  et  $H^i((X_{n+r})_{\text{syn}}, \mathcal{J}_n^{[r]})$  d'autre part.

On commence par traiter le cas n=1 (sous-partie 4.1) : alors, l'élément de  $\underline{\mathcal{M}}^r$  est tué par p et peut-être donc vu dans  $\underline{\widetilde{\mathcal{M}}}^r$ . On procède ensuite par dévissage avant de passer un passage à la limite projective pour proposer une version entière (sous-partie 4.2).

## 4.1 En caractéristique p

On se donne ici, un log-schéma fin  $X_1$  propre et log-lisse sur la base  $T_1$  (voir paragraphe 3.1.3). En particulier, le morphisme structural  $X_1 \to T_1$  est log-syntomique. On suppose que  $X_1$  est du type de Cartier et qu'il admet un relèvement  $X_2$  fin et log-lisse sur  $T_2$ . Ce relèvement est automatiquement log-syntomique sur  $T_2$ .

Le but, ici, est de prouver que le quadruplet  $(H^i((X_1)_{\text{syn}}, \mathcal{O}_1^{\text{st}}), H^i((X_1)_{\text{syn}}, \mathcal{J}_1^{[r]}), \phi_r, N)$  définit un objet de la catégorie  $\underline{\mathcal{M}}^r$  pour tout  $i \leq r$ . On montre d'abord l'énoncé équivalent avec la base  $\tilde{E}$ , *i.e.* que le quadruplet  $(H^i((X_1)_{\text{syn}}, \tilde{\mathcal{O}}^{\text{st}}), H^i((X_1)_{\text{syn}}, \tilde{\mathcal{J}}^{[r]}), \tilde{\phi}_r, \tilde{N})$  définit un

objet de  $\widetilde{\underline{\mathcal{M}}}^r$ . Le point le plus difficile est la liberté du  $\widetilde{S}$ -module  $H^i((X_1)_{\operatorname{syn}}, \widetilde{\mathcal{O}}^{\operatorname{st}})$ . Les deux paragraphes 4.1.1 et 4.1.2 y sont consacrés. Dans le paragraphe 4.1.3, on explique comment on termine la preuve pour la base  $\widetilde{E}$  avant d'en déduire dans le paragraphe 4.1.4, le théorème sur la base  $E_1$ .

#### 4.1.1 Des isomorphismes sur les faisceaux

On suit pratiquement à la lettre la méthode initiée par Fontaine et Messing ([FM87]) et développée par Breuil ([Bre98]) dans le cas qui nous intéresse. Pour tout entier  $s \geq 1$ , on note  $\mathcal{J}_1^{\langle s \rangle}$  le noyau du morphisme composé  $\mathcal{O}_{s+1}^{\mathrm{st}} \xrightarrow{\phi} \mathcal{O}_{s+1}^{\mathrm{st}} \longrightarrow \mathcal{O}_s^{\mathrm{st}}$ . On note  $\nu_s : \mathcal{J}_1^{\langle s \rangle} \to \mathcal{O}_1^{\mathrm{st}}$  la réduction modulo p et on définit  $\hat{f}_s : \mathcal{J}_1^{\langle s \rangle} \to \mathcal{O}_1^{\mathrm{st}}$  par  $\hat{f}_s(x) = y$  si  $\phi(x) = p^s \hat{y}$  où  $\hat{y}$  est une section (locale) du faisceau  $\mathcal{O}_{s+1}^{\mathrm{st}}$ .

On définit ensuite  $F^s\mathcal{O}_1^{\mathrm{st}} = \mathrm{im}\,\nu_s$  et  $F_s\mathcal{O}_1^{\mathrm{st}} = \mathrm{im}\,\hat{f}_s$ . Ce sont deux sous-faisceaux d'anneaux de  $\mathcal{O}_1^{\mathrm{st}}$ . On montre facilement que la suite  $(F^s\mathcal{O}_1^{\mathrm{st}})$  est décroissante alors que la suite  $(F_s\mathcal{O}_1^{\mathrm{st}})$  est croissante. En outre, le morphisme  $\hat{f}_s$  se factorise en un isomorphisme :

$$f_s: F^s \mathcal{O}_1^{\mathrm{st}}/F^{s+1} \mathcal{O}_1^{\mathrm{st}} \xrightarrow{\sim} F_s \mathcal{O}_1^{\mathrm{st}}/F_{s-1} \mathcal{O}_1^{\mathrm{st}}$$
.

On note  $F_s^{\operatorname{car}}\mathcal{O}_1^{\operatorname{st}}$  le sous-faisceau de  $\mathcal{O}_1^{\operatorname{car}}$ -algèbre de  $\mathcal{O}_1^{\operatorname{st}}$  engendré par  $F^s\mathcal{O}_1^{\operatorname{st}}$  et  $F_s^{\operatorname{car}}\tilde{\mathcal{O}}^{\operatorname{st}}$  (resp.  $F_s^{\operatorname{car}}\bar{\mathcal{O}}^{\operatorname{st}}$ ) l'image de  $F_s^{\operatorname{car}}\mathcal{O}_1^{\operatorname{st}}$  dans  $\tilde{\mathcal{O}}^{\operatorname{st}}$  (resp. dans  $\bar{\mathcal{O}}^{\operatorname{st}}$ ). On note également  $F^s\bar{\mathcal{O}}^{\operatorname{st}}$  la réduction de  $F^s\mathcal{O}_1^{\operatorname{st}}$  dans  $\bar{\mathcal{O}}^{\operatorname{st}}$ .

Soient  $\mathcal{O}_1$  le faisceau structural sur le site  $(T_1)_{\text{SYN}}$ , et  $\bar{\mathcal{O}}$  sa réduction modulo  $\pi$ . On a, en reprenant les notations du paragraphe 4.1, les descriptions locales suivantes :

$$\mathcal{O}_1(A^{\infty}, P^{\infty}) = A^{\infty}$$
 et  $\bar{\mathcal{O}}(A^{\infty}, P^{\infty}) = A^{\infty}/\pi$ . (18)

On dispose de flèches naturelles  $\mathcal{O}_1 \to \mathcal{O}_1^{\operatorname{car}}$ ,  $\bar{\mathcal{O}} \to \tilde{\mathcal{O}}^{\operatorname{car}}$  et  $\bar{\mathcal{O}} \to \bar{\mathcal{O}}^{\operatorname{car}}$  qui localement sur les descriptions précédentes sont données par l'élévation à la puissance p. Ces flèches se factorisent toutes les trois par  $\mathcal{C}$ .

**Proposition 4.1.1.** i) Pour tout entier s, on a  $F^s \bar{\mathcal{O}}^{st} = \bar{\mathcal{J}}^{[s]}$ .

- ii) On  $a \bigcup_{s \in \mathbb{N}} F_s^{car} \mathcal{O}_1^{st} = \mathcal{O}_1^{st}, \bigcup_{s \in \mathbb{N}} F_s^{car} \tilde{\mathcal{O}}^{st} = \tilde{\mathcal{O}}^{st} \text{ et } \bigcup_{s \in \mathbb{N}} F_s^{car} \bar{\mathcal{O}}^{st} = \bar{\mathcal{O}}^{st}.$
- iii) Pour tout entier s, l'isomorphisme  $f_s$  se factorise en des isomorphismes de faisceaux sur  $(\bar{E})_{syn}$ :

$$\begin{array}{cccc} \mathcal{O}_{1}^{car} \otimes_{\mathcal{O}_{1}} \bar{\mathcal{J}}^{[s]} / \bar{\mathcal{J}}^{[s+1]} & \xrightarrow{\sim} & F_{s}^{car} \mathcal{O}_{1}^{st} / F_{s-1}^{car} \mathcal{O}_{1}^{st} \\ \\ \tilde{\mathcal{O}}^{car} \otimes_{\mathcal{O}_{1}} \bar{\mathcal{J}}^{[s]} / \bar{\mathcal{J}}^{[s+1]} & \xrightarrow{\sim} & F_{s}^{car} \tilde{\mathcal{O}}^{st} / F_{s-1}^{car} \tilde{\mathcal{O}}^{st} \\ \\ \bar{\mathcal{O}}^{car} \otimes_{\mathcal{O}_{1}} \bar{\mathcal{J}}^{[s]} / \bar{\mathcal{J}}^{[s+1]} & \xrightarrow{\sim} & F_{s}^{car} \bar{\mathcal{O}}^{st} / F_{s-1}^{car} \bar{\mathcal{O}}^{st} \end{array}$$

**Démonstration.** Elle est entièrement analogue à celle de la proposition 2.2.2.2 de [Bre98]. Signalons toutefois une subtilité peut-être insuffisamment soulignée dans *loc. cit.* : une fois prouvés i) et ii), on est amené à évaluer, pour le premier isomorphisme de iii), le produit tensoriel :

 $\mathcal{O}_1^{\operatorname{car}}(A^{\infty}, P^{\infty}) \otimes_{A^{\infty}} \frac{\bar{\mathcal{J}}^{[s]}(A^{\infty}, P^{\infty})}{\bar{\mathcal{J}}^{[s+1]}(A^{\infty}, P^{\infty})}$ 

qui d'après les descriptions précédentes s'identifie à :

$$\mathcal{O}_1^{\operatorname{car}}(A^{\infty}, P^{\infty}) \otimes_{A^{\infty}} \left( \bigoplus_{\sum m_i = s} \bar{\mathcal{C}} \cdot \gamma_{m_1}(\psi_1) \cdots \gamma_{m_t}(\psi_t) \gamma_{m_{t+1}}(X) \right).$$

Il faut alors se souvenir que chacun des facteurs du produit tensoriel est tué par u et tous les  $\psi_i$ , de sorte que la structure de  $A^{\infty}$ -module sur ces deux facteurs se factorise en une structure de  $\bar{\mathcal{C}}$ -module. Ayant constaté cela, le produit tensoriel se réécrit :

$$\mathcal{O}_1^{\operatorname{car}}(A^{\infty}, P^{\infty}) \otimes_{\bar{\mathcal{C}}} \left( \bigoplus_{\sum m_i = s} \bar{\mathcal{C}} \cdot \gamma_{m_1}(\psi_1) \cdots \gamma_{m_t}(\psi_t) \gamma_{m_{t+1}}(X) \right)$$

et donc vaut bien:

$$\bigoplus_{\sum m_i = s} \mathcal{O}_1^{\operatorname{car}}(A^{\infty}, P^{\infty}) \cdot \gamma_{m_1}(\psi_1) \cdots \gamma_{m_t}(\psi_t) \gamma_{m_{t+1}}(X)$$

comme annoncé dans loc. cit. La fin de la preuve reste inchangée.

Notons qu'au passage la preuve de [Bre98] donne des descriptions locales explicites pour les faisceaux  $F_s^{\text{car}}$ , qui sont (toujours en gardant les mêmes notations) :

$$F_{s}^{\operatorname{car}}\mathcal{O}_{1}^{\operatorname{st}} = \bigoplus_{\substack{m_{0} \in \mathbb{N} \\ m_{i} + \dots + m_{t+1} \leqslant s}} \mathcal{B} \cdot \gamma_{pm_{0}}(u^{e})\gamma_{pm_{1}}(\psi_{1}) \cdots \gamma_{pm_{t}}(\psi_{t})\gamma_{pm_{t+1}}(X)$$

$$F_{s}^{\operatorname{car}}\tilde{\mathcal{O}}^{\operatorname{st}} = \bigoplus_{\substack{m_{1} + \dots + m_{t+1} \leqslant s}} \tilde{\mathcal{B}} \cdot \gamma_{pm_{1}}(\psi_{1}) \cdots \gamma_{pm_{t}}(\psi_{t})\gamma_{pm_{t+1}}(X)$$

$$F_{s}^{\operatorname{car}}\bar{\mathcal{O}}^{\operatorname{st}} = \bigoplus_{\substack{m_{1} + \dots + m_{t+1} \leqslant s}} \bar{\mathcal{B}} \cdot \gamma_{pm_{1}}(\psi_{1}) \cdots \gamma_{pm_{t}}(\psi_{t})\gamma_{pm_{t+1}}(X).$$

De ces descriptions explicites, on déduit le théorème suivant :

**Théorème 4.1.2.** Soit  $s < \frac{p}{e}$  un entier (si p = 2 et e = 1, on impose s = 0). On a alors des isomorphismes de faisceaux sur le site  $(T_2)_{syn}$ :

$$\tilde{\mathcal{O}}^{car} \otimes_{\bar{\mathcal{O}}} \mathcal{J}_{1}^{[s]} / \mathcal{J}_{1}^{[s+1/e]} = \tilde{\mathcal{O}}^{car} \otimes_{\bar{\mathcal{O}}} \tilde{\mathcal{J}}^{[s]} / \tilde{\mathcal{J}}^{[s+1/e]} \xrightarrow{\sim} F_{s}^{car} \tilde{\mathcal{O}}^{st}$$

$$\bar{\mathcal{O}}^{car} \otimes_{\bar{\mathcal{O}}} \mathcal{J}_{1}^{[s]} / \mathcal{J}_{1}^{[s+1/e]} = \bar{\mathcal{O}}^{car} \otimes_{\bar{\mathcal{O}}} \tilde{\mathcal{J}}^{[s]} / \tilde{\mathcal{J}}^{[s+1/e]} \xrightarrow{\sim} F_{s}^{car} \bar{\mathcal{O}}^{st}.$$

**Démonstration.** Encore une fois, la preuve est identique à celle du théorème 2.2.2.3 de [Bre98]. Notons toutefois que la subtilité mentionnée dans la preuve de la proposition précédente apparaît à nouveau ici.

Remarque. On démontre de façon tout à fait identique que l'on a également les isomorphismes suivants, pour  $s \leq \frac{p}{e} - 1$ :

$$\mathcal{O}_1^{\operatorname{car}} \otimes_{\mathcal{O}_1} \mathcal{J}_1^{[s]} / \mathcal{J}_1^{[s+1]} \xrightarrow{\sim} F_s^{\operatorname{car}} \mathcal{O}_1^{\operatorname{st}}$$

$$\tilde{\mathcal{O}}^{\operatorname{car}} \otimes_{\mathcal{O}_1} \mathcal{J}_1^{[s]} / \mathcal{J}_1^{[s+1]} = \tilde{\mathcal{O}}^{\operatorname{car}} \otimes_{\mathcal{O}_1} \tilde{\mathcal{J}}^{[s]} / \tilde{\mathcal{J}}^{[s+1]} \xrightarrow{\sim} F_s^{\operatorname{car}} \tilde{\mathcal{O}}^{\operatorname{st}}$$

$$\bar{\mathcal{O}}^{\operatorname{car}} \otimes_{\mathcal{O}_1} \mathcal{J}_1^{[s]} / \mathcal{J}_1^{[s+1]} = \bar{\mathcal{O}}^{\operatorname{car}} \otimes_{\mathcal{O}_1} \tilde{\mathcal{J}}^{[s]} / \tilde{\mathcal{J}}^{[s+1]} \xrightarrow{\sim} F_s^{\operatorname{car}} \bar{\mathcal{O}}^{\operatorname{st}}.$$

certainement plus proches de ceux de [Bre98] (rappelons que  $\tilde{\mathcal{O}}^{car}$  et  $\bar{\mathcal{O}}^{car}$  sont tués par  $\pi$ ).

Par ailleurs, si l'on ne se préoccupe que de la version «  $\mathcal{J}_1$  » et pas de la version «  $\tilde{\mathcal{J}}$  », les isomorphismes précédents sont valables pour tout  $s \leq p-1$ .

#### 4.1.2 Des isomorphismes sur les groupes de cohomologie

Nous aimerions à présent déduire du théorème 4.1.2 des isomorphismes sur les groupes de cohomologie et, pour cela, nous allons projeter ces faisceaux sur le site étale : l'intérêt est que sur ce site le faisceau  $\tilde{\mathcal{O}}^{\text{car}}$  (resp.  $\bar{\mathcal{O}}^{\text{car}}$ ) se réduit simplement à  $\tilde{S} \otimes_{(\phi),k} \bar{\mathcal{O}}$  (resp. à  $\bar{S} \otimes_{(\phi),k} \bar{\mathcal{O}}$ ).

Soit X un log-schéma fin localement de type fini sur une des trois bases  $E_1$ ,  $\tilde{E}$  ou  $\bar{E}$ . On dispose dans ces conditions d'un morphisme de topoï :

$$\alpha: \widetilde{X_{\mathrm{SYN}}} \to \widetilde{X_{\mathrm{\acute{e}t}}}$$

défini de la façon suivante : si  $\mathcal{F}$  est un faisceau sur  $X_{\text{SYN}}$ , on définit  $\alpha_{\star}\mathcal{F}$  comme la restriction de  $\mathcal{F}$  au site  $X_{\text{\'et}}$ , et on vérifie que l'on obtient ainsi un faisceau pour la topologie étale. Réciproquement si  $\mathcal{F}$  est un faisceau sur  $X_{\text{\'et}}$ , on définit  $\alpha^{\star}\mathcal{F}$  comme le faisceau associé (pour la topologie syntomique) au préfaisceau  $\mathcal{F}$ .

Si  $\Gamma_{\text{SYN}}$  (resp.  $\Gamma_{\text{ÉT}}$ ) désigne le foncteur des sections globales pour la topologie syntomique (resp. étale), on a évidemment la relation  $\Gamma_{\text{SYN}} = \Gamma_{\text{ÉT}} \circ \alpha_{\star}$  d'où  $R\Gamma_{\text{SYN}} = R\Gamma_{\text{ÉT}} \circ R\alpha_{\star}$ . Ainsi pour calculer la cohomologie syntomique d'un faisceau, il suffit de calculer le  $R\alpha_{\star}$  de ce faisceau puis de déterminer l'hypercohomologie étale du complexe obtenu. C'est ce que nous allons faire.

Calcul des  $R\alpha_{\star}$  de plusieurs faisceaux Pour calculer les  $R\alpha_{\star}$  des faisceaux précédemment introduits, on aimerait utiliser les résolutions de Berthelot et Kato. Cependant, celles-ci sont valables sur le site cristallin et non sur le site syntomique. Il nous faut donc faire un pont entre cohomologie cristalline et cohomologie syntomique, pont qui passe par la cohomologie cristalline-syntomique.

Soit X un log-schéma fin localement de type fini sur une des trois bases  $E_1$ ,  $\bar{E}$  ou  $\bar{E}$ . Reprenant les notations de [Bre98] auquel on aura besoin de se référer par la suite, on note  $\Upsilon$  la base retenue.

On définit le site cristallin-syntomique sur  $X/\Upsilon$  en munissant la catégorie sous-jacente au site cristallin sur  $X/\Upsilon$  de la topologie syntomique : il s'agit donc d'une catégorie de couples  $(U \hookrightarrow T)$  et on convient qu'une famille de couples  $(U_i \hookrightarrow T_i)$  recouvre  $(U \hookrightarrow T)$  si les  $T_i$  forment un recouvrement syntomique de T et si les diagrammes :

$$U_i \longrightarrow T_i$$

$$\downarrow \qquad \qquad \downarrow$$

$$U \longrightarrow T$$

Bien entendu, selon que l'on considère la catégorie sous-jacente au petit site cristallin sur  $X/\Upsilon$  ou au grand, on obtient respectivement les petit et grand sites cristallin-syntomiques sur  $X/\Upsilon$ . On les note  $(X/\Upsilon)_{\text{syn-cris}}$  et  $(X/\Upsilon)_{\text{SYN-CRIS}}$ . Par les résultats de [Bre96] (lemme 3.3.1), on a des morphismes de topoï entre les différents catégories de faisceaux sur les sites précédents comme le résume le carré commutatif suivant :

$$(\widetilde{X/\Upsilon})_{\text{SYN-CRIS}} \xrightarrow{v} (\widetilde{X/\Upsilon})_{\text{CRIS}}$$

$$\downarrow u$$

$$X_{\text{SYN}} \xrightarrow{\alpha} X_{\text{\'et}}$$

Par ailleurs, il est possible de définir, comme en 3.3.4, sur le site  $(X/\Upsilon)_{\text{SYN-CRIS}}$  (resp  $(X/\Upsilon)_{\text{syn-cris}}$ ) des faisceaux  $\mathcal{O}_{1}^{\text{car}}$ ,  $\tilde{\mathcal{O}}^{\text{car}}$  et  $\bar{\mathcal{O}}^{\text{car}}$  en posant  $\mathcal{O}_{1}^{\text{car}}(U \hookrightarrow T) = \mathcal{O}_{1}^{\text{car}}(U)$  (où le deuxième  $\mathcal{O}_{1}^{\text{car}}$  est celui défini précédemment<sup>4</sup>) et des formules analogues pour les autres faisceaux. (Attention, dans [Bre98], ces faisceaux sont notés respectivement  $\mathcal{O}_{X}^{\text{car},E_{1}}$ ,  $\mathcal{O}_{X}^{\text{car},\bar{E}_{1}}$  et  $\mathcal{O}_{X}^{\text{car},\bar{E}_{1}}$ .) De même, ces faisceaux vivent également sur les sites  $(X/\Upsilon)_{\text{CRIS}}$  (resp.  $(X/\Upsilon)_{\text{cris}}$ ) et  $X_{\text{ÉT}}$  (resp.  $X_{\text{ét}}$ ).

Soit  $\mathcal{F}$  un faisceau sur un des sites  $(X/\Upsilon)_{\text{CRIS}}$ ,  $(X/\Upsilon)_{\text{cris}}$ ,  $(X/\Upsilon)_{\text{SYN-CRIS}}$  ou  $(X/\Upsilon)_{\text{syn-cris}}$ . Pour tout T apparaissant dans un couple de la forme  $(U \hookrightarrow T)$ , on sait que  $\mathcal{F}$  définit un faisceau  $F_{|U \hookrightarrow T|}$  sur  $T_{\text{\'et}}$ . On dit que  $\mathcal{F}$  est à composantes quasi-cohérentes si tous les faisceaux  $F_{|U \hookrightarrow T|}$  sont des  $\mathcal{O}_T$ -modules quasi-cohérents.

On montre (en adaptant la preuve du lemme 3.3.2 de [Bre96]) que si  $\mathcal{F}$  est un faisceau à composantes quasi-cohérentes sur  $(X/\Upsilon)_{\text{SYN-CRIS}}$ , alors  $R^i v_{\star} \mathcal{F} = 0$  pour tout  $i \geq 1$ . Autrement dit  $Rv_{\star} \mathcal{F} \simeq v_{\star} \mathcal{F}$ . De même, par un calcul de Cech, on prouve (voir [Bre98], appendice C.1) que  $Rw_{\star} \mathcal{F} \simeq w_{\star} \mathcal{F}$  (toujours en supposant que  $\mathcal{F}$  est à composantes quasi-cohérentes).

On dispose d'un résultat de comparaison entre cohomologie log-cristalline et cohomologie de de Rham (théorème 6.4 de [Kat89]) qui donne avec les rappels précédents le théorème suivant :

**Théorème 4.1.3.** Soit X un log-schéma fin localement de type fini sur  $\Upsilon$ . On suppose que l'on a une  $\Upsilon$ -immersion fermée  $X \hookrightarrow Y$  avec Y log-lisse sur  $\Upsilon$ . Soit D l'enveloppe aux puissances divisées de X dans Y (voir paragraphe 6.n de [Kat89] pour une définition). Alors, pour tout entier s:

$$R\alpha_{\star}\mathcal{J}_{1}^{[s]} = \mathcal{J}_{D}^{[s]} \to \mathcal{J}_{D}^{[s-1]} \otimes_{\mathcal{O}_{Y}} \omega_{Y/T_{1}}^{1} \to \mathcal{J}_{D}^{[s-2]} \otimes_{\mathcal{O}_{Y}} \omega_{Y/T_{1}}^{2} \to \cdots$$

$$- si \Upsilon = \tilde{T} :$$

$$R\alpha_{\star}\tilde{\mathcal{J}}^{[s]} = \mathcal{J}_{D}^{[s]} \to \mathcal{J}_{D}^{[s-1]} \otimes_{\mathcal{O}_{Y}} \omega_{Y/\tilde{T}}^{1} \to \mathcal{J}_{D}^{[s-2]} \otimes_{\mathcal{O}_{Y}} \omega_{Y/\tilde{T}}^{2} \to \cdots$$

$$- si \Upsilon = \bar{T} :$$

$$R\alpha_{\star}\bar{\mathcal{J}}^{[s]} = \mathcal{J}_{D}^{[s]} \to \mathcal{J}_{D}^{[s-1]} \otimes_{\mathcal{O}_{Y}} \omega_{Y/\bar{T}}^{1} \to \mathcal{J}_{D}^{[s-2]} \otimes_{\mathcal{O}_{Y}} \omega_{Y/\bar{T}}^{2} \to \cdots$$

et:

<sup>&</sup>lt;sup>4</sup>Notez que si  $U \hookrightarrow T$  est un objet de  $(X/\Upsilon)_{\text{SYN-CRIS}}$ , alors  $U \to X$  est étale et donc en particulier log-syntomique.

- 
$$si \Upsilon = T_1$$
:

$$R\alpha_{\star}\left(\mathcal{J}_{1}^{[s]}/\mathcal{J}_{1}^{[s+1]}\right) = \frac{\mathcal{J}_{D}^{[s]}}{\mathcal{J}_{D}^{[s+1]}} \to \frac{\mathcal{J}_{D}^{[s-1]}}{\mathcal{J}_{D}^{[s]}} \otimes_{\mathcal{O}_{Y}} \omega_{Y/T_{1}}^{1} \to \frac{\mathcal{J}_{D}^{[s-2]}}{\mathcal{J}_{D}^{[s-1]}} \otimes_{\mathcal{O}_{Y}} \omega_{Y/T_{1}}^{2} \to \cdots$$

$$-si \Upsilon = \tilde{T}$$
:

$$R\alpha_{\star}\left(\tilde{\mathcal{J}}^{[s]}/\tilde{\mathcal{J}}^{[s+1]}\right) = \frac{\mathcal{J}_{D}^{[s]}}{\mathcal{J}_{D}^{[s+1]}} \to \frac{\mathcal{J}_{D}^{[s-1]}}{\mathcal{J}_{D}^{[s]}} \otimes_{\mathcal{O}_{Y}} \omega_{Y/\tilde{T}}^{1} \to \frac{\mathcal{J}_{D}^{[s-2]}}{\mathcal{J}_{D}^{[s-1]}} \otimes_{\mathcal{O}_{Y}} \omega_{Y/\tilde{T}}^{2} \to \cdots$$

-  $si \Upsilon = \bar{T}$ :

$$R\alpha_{\star}\left(\bar{\mathcal{J}}^{[s]}/\bar{\mathcal{J}}^{[s+1]}\right) = \frac{\mathcal{J}_{D}^{[s]}}{\mathcal{J}_{D}^{[s+1]}} \to \frac{\mathcal{J}_{D}^{[s-1]}}{\mathcal{J}_{D}^{[s]}} \otimes_{\mathcal{O}_{Y}} \omega_{Y/\bar{T}}^{1} \to \frac{\mathcal{J}_{D}^{[s-2]}}{\mathcal{J}_{D}^{[s-1]}} \otimes_{\mathcal{O}_{Y}} \omega_{Y/\bar{T}}^{2} \to \cdots$$

Remarque. En gardant les notations du théorème, si on suppose en plus X log-lisse sur  $\Upsilon$ , on peut choisir Y = X et alors  $\mathcal{J}_D^{[s]} = \mathcal{O}_X$  si  $s \leq 0$  et  $\mathcal{J}_D^{[s]} = 0$  sinon. Les expressions des  $R\alpha_{\star}$  se simplifient alors considérablement. Par exemple, dans le cas où  $\Upsilon = \bar{T}$ , on obtient:

$$R\alpha_{\star}\bar{\mathcal{J}}^{[s]} = 0 \to \cdots \to 0 \to \omega_{X/\bar{T}}^{s} \to \omega_{X/\bar{T}}^{s+1} \to \omega_{X/\bar{T}}^{s+2} \to \cdots$$

$$R\alpha_{\star}\left(\bar{\mathcal{J}}^{[s]}/\bar{\mathcal{J}}^{[s+1]}\right) = 0 \to \cdots \to 0 \to \omega_{X/\bar{T}}^{s} \to 0 \to \cdots$$

Retenons ces résolutions que l'on sera amené à réutiliser par la suite.

On peut montrer également (voir appendice B de [Bre98]) un raffinement du théorème précédent qui permet de tenir compte des faisceaux  $\mathcal{O}_1^{car}$ :

**Théorème 4.1.4.** Soit X un log-schéma fin localement de type fini sur  $T_1$ . On suppose que l'on a une  $T_1$ -immersion fermée  $X \hookrightarrow Y$  avec Y log-lisse sur  $T_1$ . Soit D l'enveloppe aux puissances divisées de X dans Y. Alors, pour tout entier s:

$$R\alpha_{\star}\left(\mathcal{O}_{1}^{car} \otimes_{\mathcal{O}_{1}}^{SYN} \mathcal{J}_{1}^{[s]}/\mathcal{J}_{1}^{[s+1]}\right) = \\ \mathcal{O}_{1}^{car} \otimes_{\mathcal{O}_{X}} \frac{\mathcal{J}_{D}^{[s]}}{\mathcal{J}_{D}^{[s+1]}} \to \left(\mathcal{O}_{1}^{car} \otimes_{\mathcal{O}_{X}} \frac{\mathcal{J}_{D}^{[s-1]}}{\mathcal{J}_{D}^{[s]}}\right) \otimes_{\mathcal{O}_{Y}} \omega_{Y/T_{1}}^{1} \to \left(\mathcal{O}_{1}^{car} \otimes_{\mathcal{O}_{X}} \frac{\mathcal{J}_{D}^{[s-2]}}{\mathcal{J}_{D}^{[s-1]}}\right) \otimes_{\mathcal{O}_{Y}} \omega_{Y/T_{1}}^{2} \to \cdots$$

où «  $\otimes^{SYN}$  » signifie que l'on prend le faisceau associé au faisceau produit tensoriel pour la topologie syntomique sur X.

On a d'autre part des versions analogues avec les bases  $\tilde{T}$  et  $\bar{T}$ .

Remarque. Si X est de plus du type de Cartier, le faisceau  $\mathcal{O}_1^{\operatorname{car}}$  sur  $X_{\operatorname{\acute{e}t}}$  s'identifie à  $\Sigma \otimes_{(\phi),k} \mathcal{O}_X$  où  $\Sigma$  est l'anneau de  $\Upsilon$ . Dans ce dernier cas, on obtient une résolution plus simple.

Intéressons-nous maintenant à un analogue du théorème 4.1.3 pour les faisceaux  $\mathcal{J}_1^{[q]}$ ,  $\tilde{\mathcal{J}}^{[q]}$  et  $\bar{\mathcal{J}}^{[q]}$  où q n'est pas forcément un entier. Soit  $q \in \frac{1}{e}\mathbb{N}$ . Si  $X/\Upsilon$  est comme précédemment un log-schéma fin, localement de type fini, on commence par définir des faisceaux  $\mathcal{J}_{X/\Upsilon}^{[q]}$  sur les sites  $(X/\Upsilon)_{\text{CRIS}}$  et  $(X/\Upsilon)_{\text{SYN-CRIS}}$  en posant :

$$\mathcal{J}_{X/\Upsilon}^{[q]} = u^{\delta} \mathcal{J}_{X/\Upsilon}^{[s]} + \mathcal{J}_{X/\Upsilon}^{[s+1]}$$

si  $eq = es + \delta$  est la division euclidienne de eq par e. (On remarque que lorsque  $\Upsilon = \bar{E}$ , on a u = 0 et donc le premier terme de la somme n'intervient que si  $\delta = 0$ ).

On s'intéresse particulièrement au quotient  $\tilde{\mathcal{J}}^{[s]}/\tilde{\mathcal{J}}^{[q]}$ . Par définition, on a immédiatement :

$$\tilde{\mathcal{J}}^{[s]}/\tilde{\mathcal{J}}^{[q]} = \frac{\tilde{\mathcal{J}}^{[s]}/\tilde{\mathcal{J}}^{[s+1]}}{u^{\delta}(\tilde{\mathcal{J}}^{[s]}/\tilde{\mathcal{J}}^{[s+1]})}$$

et une égalité analogue pour les faisceaux  $\mathcal{J}_{X/\Upsilon}^{[\cdot]}$ . Du fait que  $Rv_{\star}\mathcal{F} = v_{\star}\mathcal{F}$  (resp.  $Rw_{\star}\mathcal{F} = w_{\star}\mathcal{F}$ ) si  $\mathcal{F}$  est un faisceau à composantes quasi-cohérentes, on déduit :

$$Rv_{\star}\left(\mathcal{J}_{X/\tilde{T}}^{[s]}/\mathcal{J}_{X/\tilde{T}}^{[q]}\right) = \mathcal{J}_{X/\tilde{T}}^{[s]}/\mathcal{J}_{X/\tilde{T}}^{[q]} \quad \text{(resp. } Rw_{\star}\left(\mathcal{J}_{X/\tilde{T}}^{[s]}/\mathcal{J}_{X/\tilde{T}}^{[q]}\right) = \tilde{\mathcal{J}}^{[s]}/\tilde{\mathcal{J}}^{[q]}).$$

En vérifiant soigneusement que la démonstration de l'appendice B de [Bre98] s'applique encore dans ce contexte, on obtient le théorème suivant :

Théorème 4.1.5. Avec les notations précédentes, on a :

$$R\alpha_{\star} \left( \tilde{\mathcal{J}}^{[s]} / \tilde{\mathcal{J}}^{[q]} \right) = \frac{\mathcal{J}_{D}^{[s]} / \mathcal{J}_{D}^{[s+1]}}{u^{\delta} (\mathcal{J}_{D}^{[s]} / \mathcal{J}_{D}^{[s+1]})} \to \frac{\mathcal{J}_{D}^{[s-1]} / \mathcal{J}_{D}^{[s]}}{u^{\delta} (\mathcal{J}_{D}^{[s-1]} / \mathcal{J}_{D}^{[s]})} \otimes_{\mathcal{O}_{Y}} \omega_{Y/\tilde{T}}^{1} \to \frac{\mathcal{J}_{D}^{[s-2]} / \mathcal{J}_{D}^{[s-1]}}{u^{\delta} (\mathcal{J}_{D}^{[s-2]} / \mathcal{J}_{D}^{[s-1]})} \otimes_{\mathcal{O}_{Y}} \omega_{Y/\tilde{T}}^{2} \to \cdots$$

et:

$$R\alpha_{\star} \left( \tilde{\mathcal{O}}^{car} \otimes_{\mathcal{O}_{1}} \tilde{\mathcal{J}}^{[s]} / \tilde{\mathcal{J}}^{[q]} \right) = \\ \tilde{\mathcal{O}}^{car} \otimes_{\mathcal{O}_{X}} \frac{\mathcal{J}_{D}^{[s]} / \mathcal{J}_{D}^{[s+1]}}{u^{\delta} (\mathcal{J}_{D}^{[s]} / \mathcal{J}_{D}^{[s+1]})} \to \left( \tilde{\mathcal{O}}^{car} \otimes_{\mathcal{O}_{X}} \frac{\mathcal{J}_{D}^{[s-1]} / \mathcal{J}_{D}^{[s]}}{u^{\delta} (\mathcal{J}_{D}^{[s-1]} / \mathcal{J}_{D}^{[s]})} \right) \otimes_{\mathcal{O}_{Y}} \omega_{Y/\tilde{T}}^{1} \to \cdots$$

Remarque. Bien évidemment, on a des versions analogues pour les bases  $T_1$  et  $\bar{T}$ . En outre, il est possible d'écrire des résolutions de ce type pour beaucoup d'autres faisceaux. Cependant, pour cet article, nous aurons seulement besoin de celle-ci.

Des isomorphismes à la Deligne-Illusie On reprend les notations et les hypothèses du début de paragraphe  $4.1: X_1$  désigne un log-schéma propre, log-lisse et du type de Cartier sur  $T_1$  et on suppose qu'il admet un relèvement fin et log-lisse  $X_2$  sur  $T_2$ .

**Théorème 4.1.6.** On garde les notations que l'on vient de rappeler. Alors, pour tout  $0 \le i \le s < \frac{p}{e}$ , on a:

$$\tilde{S} \otimes_{(\phi),k} H^{i}((X_{1})_{syn}, \tilde{\mathcal{J}}^{[s]}/\tilde{\mathcal{J}}^{[s+1/e]}) \xrightarrow{\sim} H^{i}((X_{1})_{syn}, \tilde{\mathcal{O}}_{1}^{st})$$

$$H^{i}((X_{1})_{syn}, \tilde{\mathcal{J}}^{[s]}/\tilde{\mathcal{J}}^{[s+1/e]}) \xrightarrow{\sim} H^{i}((X_{1})_{syn}, \bar{\mathcal{O}}_{1}^{st})$$

et des versions équivalentes en remplaçant «  $\tilde{\mathcal{J}}$  » par «  $\mathcal{J}_1$  ».

**Démonstration.** Comme les deux faisceaux  $\tilde{\mathcal{O}}^{\operatorname{car}}$  et  $\tilde{\mathcal{J}}^{[s]}/\tilde{\mathcal{J}}^{[s+1/e]}$  sont tués par  $\pi$ , le produit tensoriel  $\tilde{\mathcal{O}}^{\operatorname{car}} \otimes_{\mathcal{O}_1} \tilde{\mathcal{J}}^{[s]}/\tilde{\mathcal{J}}^{[s+1/e]}$  est isomorphe à  $\tilde{\mathcal{O}}^{\operatorname{car}} \otimes_{\bar{\mathcal{O}}} \tilde{\mathcal{J}}^{[s]}/\tilde{\mathcal{J}}^{[s+1/e]}$ .

Comme  $X_1$  est supposé du type de Cartier, le faisceau  $\tilde{\mathcal{O}}^{\operatorname{car}}$  sur le site  $(X_1)_{\operatorname{\acute{e}t}}$  s'identifie à  $\tilde{S} \otimes_{(\phi),k} \bar{\mathcal{O}}$ . Dans ces conditions, le théorème 4.1.5 assure que la flèche canonique :

$$\tilde{S} \otimes_{(\phi),k} R\alpha_{\star}(\tilde{\mathcal{J}}^{[s]}/\tilde{\mathcal{J}}^{[s+1/e]}) \to R\alpha_{\star}(\tilde{\mathcal{O}}^{car} \otimes_{\bar{\mathcal{O}}} \tilde{\mathcal{J}}^{[s]}/\tilde{\mathcal{J}}^{[s+1/e]}) = R\alpha_{\star}(\tilde{\mathcal{O}}^{car} \otimes_{\mathcal{O}_{1}} \tilde{\mathcal{J}}^{[s]}/\tilde{\mathcal{J}}^{[s+1/e]})$$
(19)

est un isomorphisme ( $\alpha$  désigne le morphisme de topoï  $(\widetilde{X_1})_{\text{SYN}} \to (\widetilde{X_1})_{\text{\'et}}$ ). Par le théorème 4.1.2, on a un nouvel isomorphisme :

$$R\alpha_{\star}(\tilde{\mathcal{O}}^{\operatorname{car}} \otimes_{\mathcal{O}_{1}} \tilde{\mathcal{J}}^{[s]}/\tilde{\mathcal{J}}^{[s+1/e]}) \simeq R\alpha_{\star}(F_{s}^{\operatorname{car}}\tilde{\mathcal{O}}^{\operatorname{st}}).$$
 (20)

D'autre part, en combinant la proposition 4.1.1 et le théorème 4.1.4, on obtient pour tout entier t:

$$R\alpha_{\star}(F_t^{\operatorname{car}}\tilde{\mathcal{O}}^{\operatorname{st}}/F_{t-1}^{\operatorname{car}}\tilde{\mathcal{O}}^{\operatorname{st}}) \simeq \tilde{S} \otimes_{(\phi),k} R\alpha_{\star}(\bar{\mathcal{J}}^{[t]}/\bar{\mathcal{J}}^{[t+1]}) = \tilde{S} \otimes_{(\phi),k} \omega_{\bar{X}/\bar{T}}^t[-t]$$

où  $\bar{X} = X \times_{T_1} \bar{T}$ . On en déduit que :

$$\tau_{\leqslant t-1} R \alpha_{\star} (F_t^{\operatorname{car}} \tilde{\mathcal{O}}^{\operatorname{st}}) \simeq \tau_{\leqslant t-1} R \alpha_{\star} (F_{t-1}^{\operatorname{car}} \tilde{\mathcal{O}}^{\operatorname{st}})$$

et puis par une récurrence immédiate :

$$\tau_{\leqslant s} R\alpha_{\star}(F_s^{\operatorname{car}} \tilde{\mathcal{O}}^{\operatorname{st}}) \simeq \tau_{\leqslant s} R\alpha_{\star}(F_t^{\operatorname{car}} \tilde{\mathcal{O}}^{\operatorname{st}})$$

pour tout entier  $t \geqslant s$ . Le théorème découle alors de la propriété  $\bigcup_{t \in \mathbb{N}} F_t^{\operatorname{car}} \tilde{\mathcal{O}}^{\operatorname{st}} = \tilde{\mathcal{O}}^{\operatorname{st}}$  (proposition 4.1.1) et des isomorphismes (19) et (20).

On traite de manière exactement similaire le cas de «  $\mathcal{J}_1$  ».

Remarque. En utilisant l'isomorphisme donné par la remarque qui suit le théorème 4.1.2, on obtient des isomorphismes analogues qui s'écrivent :

$$\tilde{S} \otimes_{(\phi),\mathcal{O}_K/p} H^i((X_1)_{\operatorname{syn}}, \tilde{\mathcal{J}}^{[s]}/\tilde{\mathcal{J}}^{[s+1]}) \xrightarrow{\sim} H^i((X_1)_{\operatorname{syn}}, \tilde{\mathcal{O}}_1^{\operatorname{st}})$$

$$k \otimes_{(\phi),\mathcal{O}_K/p} H^i((X_1)_{\operatorname{syn}}, \tilde{\mathcal{J}}^{[s]}/\tilde{\mathcal{J}}^{[s+1]}) \xrightarrow{\sim} H^i((X_1)_{\operatorname{syn}}, \bar{\mathcal{O}}_1^{\operatorname{st}})$$

où  $\Sigma = k$  ou  $\tilde{S}$  est vu comme une  $\mathcal{O}_K/p$ -algèbre par la composée  $\mathcal{O}_K/p \to k \to \Sigma$ , la première flèche étant la projection canonique et la seconde le Frobenius. En particulier, mis ensemble ces isomorphismes impliquent que le morphisme naturel :

$$\frac{H^i((X_1)_{\operatorname{syn}}, \tilde{\mathcal{J}}^{[s]}/\tilde{\mathcal{J}}^{[s+1]})}{u \cdot H^i((X_1)_{\operatorname{syn}}, \tilde{\mathcal{J}}^{[s]}/\tilde{\mathcal{J}}^{[s+1]})} \longrightarrow H^i((X_1)_{\operatorname{syn}}, \tilde{\mathcal{J}}^{[s]}/\tilde{\mathcal{J}}^{[s+1/e]})$$

est un isomorphisme pour tout  $i \leqslant s < \frac{p}{e}$ .

#### 4.1.3 Fin de la preuve

On garde les notations et les hypothèses introduites au début du paragraphe 4.1.

Au vu du théorème 4.1.6, il reste à prouver, pour s'assurer que le quadruplet :

$$(H^i((X_1)_{\operatorname{syn}}, \tilde{\mathcal{O}}^{\operatorname{st}}), H^i((X_1)_{\operatorname{syn}}, \tilde{\mathcal{J}}^{[r]}), \phi_r, N)$$

est un objet de  $\widetilde{\underline{\mathcal{M}}}^r$ , les deux choses suivantes :

- 1. la flèche canonique  $H^i((X_1)_{\text{syn}}, \tilde{\mathcal{J}}^{[r]}) \to H^i((X_1)_{\text{syn}}, \tilde{\mathcal{J}}^{[r]}/\tilde{\mathcal{J}}^{[r+1/e]})$  est surjective,
- 2. la flèche canonique  $H^i((X_1)_{\text{syn}}, \tilde{\mathcal{J}}^{[r]}) \to H^i((X_1)_{\text{syn}}, \tilde{\mathcal{O}}^{\text{st}})$  est injective,

les autres propriétés de compatibilité étant claires.

Si  $\mathcal{F}$  est un faisceau sur  $(X_1)_{\text{syn}}$ , nous notons simplement  $H^i(\mathcal{F})$  pour  $H^i((X_1)_{\text{syn}}, \mathcal{F})$  et si ce dernier est un espace vectoriel de dimension finie sur k, nous notons  $h^i(\mathcal{F})$  sa dimension.

**Propriétés de finitude.** Pour la suite, nous aurons besoin de raisonner sur les dimensions de certains groupes de cohomologie. Il nous faut donc prouver dans un premier temps qu'ils sont de dimension finie. Nous commençons par donner un résultat agréable sur les faisceaux  $u^k \tilde{\mathcal{O}}^{\text{st}}$ :

**Proposition 4.1.7.** Pour tous entiers k et  $i < \frac{p}{e}$  (on impose i = 0 si p = 2 et e = 1), les k-espaces vectoriels  $H^i(u^k\tilde{\mathcal{O}}^{st})$  sont de dimension finie et égaux à  $u^kH^i(\tilde{\mathcal{O}}^{st})$ .

**Démonstration.** En premier lieu, on remarque que si  $k \geqslant p$ , tout est nul et donc la proposition est trivialement vérifiée. Montrons que  $H^i(\tilde{\mathcal{O}}^{\mathrm{st}})$  est de dimension finie sur k. Le log-schéma  $\bar{X} = X_1 \otimes_{T_1} \bar{T}$  est log-lisse sur  $\bar{T} = \bar{E}$  par changement de base et donc, par la remarque qui suit le théorème 4.1.3,  $R\alpha_{\star}\bar{\mathcal{O}}^{\mathrm{st}} = \mathcal{O}_{\bar{X}/\bar{E}} \to \omega^1_{\bar{X}/\bar{E}} \to \cdots$ . Comme  $\bar{X}$  est propre, les  $\omega^j_{\bar{X}/\bar{E}}$  sont de dimension finie, et il en est donc de même de  $H^i(\bar{\mathcal{O}}^{\mathrm{st}})$ . Le théorème 4.1.6 permet alors de conclure.

Prouvons désormais la proposition par récurrence sur i. En écrivant la suite exacte longue associée à :

$$0 \longrightarrow u^k \tilde{\mathcal{O}}^{\mathrm{st}} \longrightarrow \tilde{\mathcal{O}}^{\mathrm{st}} \xrightarrow{u^{p-k}} u^{p-k} \tilde{\mathcal{O}}^{\mathrm{st}} \longrightarrow 0$$

et en appliquant l'hypothèse de récurrence, on prouve que la flèche  $H^i(u^k\mathcal{O}^{\mathrm{st}}) \to H^i(\mathcal{O}^{\mathrm{st}})$  est injective. Ainsi  $H^i(u^k\tilde{\mathcal{O}}^{\mathrm{st}})$  est de dimension finie car inclus dans  $H^i(\tilde{\mathcal{O}}^{\mathrm{st}})$ . Par ailleurs, on vérifie facilement que l'on dispose d'une suite exacte de faisceaux, pour tout entier  $k \leq p-1$ :

$$0 \longrightarrow u^{p-1} \tilde{\mathcal{O}}^{st} \longrightarrow u^k \tilde{\mathcal{O}}^{st} \xrightarrow{u} u^{k+1} \tilde{\mathcal{O}}^{st} \longrightarrow 0$$
.

Par l'hypothèse de récurrence, la suite exacte longue associée prend la forme :

$$0 \longrightarrow H^{i}(u^{p-1}\tilde{\mathcal{O}}^{\operatorname{st}}) \longrightarrow H^{i}(u^{k}\tilde{\mathcal{O}}^{\operatorname{st}}) \longrightarrow H^{i}(u^{k+1}\tilde{\mathcal{O}}^{\operatorname{st}})$$

et fournit une inégalité sur les dimensions à savoir  $h^i(u^k\tilde{\mathcal{O}}^{\mathrm{st}}) \leqslant h^i(u^{k+1}\tilde{\mathcal{O}}^{\mathrm{st}}) + h^i(u^{p-1}\tilde{\mathcal{O}}^{\mathrm{st}})$ . Or  $u^{p-1}\tilde{\mathcal{O}}^{\mathrm{st}} \simeq \bar{\mathcal{O}}^{\mathrm{st}}$ , d'où en additionnant les inégalités précédentes pour k variant de 0 à p, on obtient  $h^i(\tilde{\mathcal{O}}^{\mathrm{st}}) \leqslant ph^i(\bar{\mathcal{O}}^{\mathrm{st}})$ . Or le théorème 4.1.6 prouve qu'il y a en fait égalité entre les deux nombres précédents. Cela implique que toutes les inégalités sommées sont des égalités et par suite que l'on a des suites exactes courtes :

$$0 \longrightarrow H^{i}(u^{p-1}\tilde{\mathcal{O}}^{\operatorname{st}}) \longrightarrow H^{i}(u^{k}\tilde{\mathcal{O}}^{\operatorname{st}}) \longrightarrow H^{i}(u^{k+1}\tilde{\mathcal{O}}^{\operatorname{st}}) \longrightarrow 0 \ .$$

Si  $k \leq p$ , le morphisme de multiplication par  $u^k$  se factorise par  $H^i(\mathcal{O}^{\mathrm{st}}) \to H^i(u^k \mathcal{O}^{\mathrm{st}}) \to H^i(\mathcal{O}^{\mathrm{st}})$ . D'après ce qui précède, la première flèche est surjective et la seconde est injective. On en déduit le résultat annoncé.

Intéressons-nous à présent aux faisceaux  $u^k \tilde{\mathcal{J}}^{[q]}$  et commençons par un lemme qui les relie entre eux :

**Lemme 4.1.8.** Soient  $k \in \{0, ..., p-1\}$  et  $q \in \frac{1}{e}\mathbb{N}$ . Notons s la partie entière de q. Alors on a une suite exacte :

$$0 \longrightarrow u^{k+1} \tilde{\mathcal{J}}^{[q]} \longrightarrow u^k \tilde{\mathcal{J}}^{[q+1/e]} \longrightarrow \bar{\mathcal{J}}^{[s+1]} \longrightarrow 0 \ .$$

Démonstration. Commençons par préciser les flèches qui apparaissent dans la suite exacte. La première  $u^{k+1}\tilde{\mathcal{J}}^{[q]} \to u^k\tilde{\mathcal{J}}^{[q+1/e]}$  est simplement l'inclusion naturelle entre deux sous-faisceaux de  $\tilde{\mathcal{O}}^{\mathrm{st}}$ . La seconde flèche est légèrement plus subtile. Remarquons en premier lieu, que si l'on note K le noyau de la projection (multiplication par  $u^k$ )  $\tilde{\mathcal{J}}^{[s+1]} \to u^k \tilde{\mathcal{J}}^{[s+1]}$ , on dispose d'un diagramme comme suit:

$$0 \longrightarrow K \longrightarrow \tilde{\mathcal{J}}^{[s]} \stackrel{u^k}{\longrightarrow} u^k \tilde{\mathcal{J}}^{[s]} \longrightarrow 0$$

$$\downarrow \qquad \qquad \qquad \downarrow \qquad \qquad \qquad \downarrow \qquad \qquad \qquad \downarrow \qquad \qquad \qquad \downarrow \qquad \qquad \downarrow \qquad \qquad \downarrow \qquad \qquad$$

La flèche diagonale composée est nulle : en effet, d'après les descriptions locales, tout élément de K est un multiple de u (au moins dans  $\tilde{\mathcal{O}}^{\text{st}}$ ) et donc s'annule lorsqu'on le projette dans  $\bar{\mathcal{J}}^{[s]}$ . On en déduit un morphisme de faisceaux  $u^k \tilde{\mathcal{J}}^{[s]} o \bar{\mathcal{J}}^{[s]}$  (qui correspond moralement à la division par  $u^k$ ). Par ailleurs, on dispose d'une inclusion  $\tilde{\mathcal{J}}^{[q+1/e]} \to \tilde{\mathcal{J}}^{[s]}$  et la seconde flèche de la suite exacte est la composée  $u^k, \tilde{\mathcal{J}}^{[q+1/e]} \to u^k, \tilde{\mathcal{J}}^{[s]} \to \bar{\mathcal{J}}^{[s]}$ .

Il reste à vérifier que la flèche précédente tombe en fait dans  $\bar{\mathcal{J}}^{[s+1]}$  et que la suite obtenue ainsi est bien exacte. Montrons dans un premier temps un résultat analogue sur les faisceaux «  $\mathcal{J}_1$  », à savoir que la suite :

$$0 \longrightarrow u\mathcal{J}_1^{[q]} \longrightarrow \mathcal{J}_1^{[q+1/e]} \longrightarrow \bar{\mathcal{J}}^{[s]}$$

est exacte et que l'image de la dernière flèche est  $\bar{\mathcal{J}}^{[s+1]}$ . Notons  $f:u\mathcal{J}_1^{[q]}\to\mathcal{J}_1^{[q+1/e]}$  et  $g: \mathcal{J}_1^{[q+1/e]} o \bar{\mathcal{J}}^{[s]}$  les applications qui interviennent. Il est clair que f est injective et que  $g \circ f = 0$ . Notons  $q = s + \frac{\delta}{e}$  avec  $0 \leqslant \delta < e$ . En reprenant les notations du paragraphe 3.3, un élément de  $\tilde{\mathcal{J}}^{[q+1/e]}(A^{\infty}, P^{\infty})$  s'écrit comme une somme de multiples de termes d'une des deux formes suivantes:

- i)  $u^{em_0+\delta+1}\psi_1^{m_1}\cdots\psi_t^{m_t}X^{m_{t+1}}$  avec  $m_0+\cdots+m_{t+1}\geqslant s$ ; ii)  $u^{em_0}\psi_1^{m_1}\cdots\psi_t^{m_t}X^{m_{t+1}}$  avec  $m_0+\cdots+m_{t+1}\geqslant s+1$ .

On vérifie directement que les éléments du premier type s'envoient sur 0 par g et que les éléments du second type s'envoient dans  $\bar{\mathcal{J}}^{[s+1]}$ . Finalement l'application q tombe bien dans  $\bar{\mathcal{J}}_{[s+1]}$  comme annoncé. En outre, un élément de  $\tilde{\mathcal{J}}^{[s+1]}$  s'écrit comme une somme de multiples de  $u_{em_0}\psi_1^{m_1}\cdots\psi_t^{m_t}X^{m_{t+1}}$  avec  $m_0+\cdots+m_{t+1}\geqslant s+1$ , et admet donc un antécédent par g.

Il ne reste qu'à vérifier l'exactitude au milieu. Soit  $x\in\mathcal{J}_1^{[q+1/e]}(A^\infty,P^\infty)$  tel que g(x)=0.

La flèche  $u\mathcal{J}_1^{[q]}/\tilde{\mathcal{J}}^{[s+1]} \to \mathcal{J}_1^{[q+1/e]}/\tilde{\mathcal{J}}^{[s+1]}$  résultant de l'inclusion canonique est un isomorphisme et donc, quitte à modifier x, on peut supposer qu'il est élément de  $\mathcal{J}_1^{[s+1]}(A^\infty,P^\infty)$ . Notons  $\bar{x}$ l'image de x dans :

$$\frac{\tilde{\mathcal{J}}^{[s+1]}(A^{\infty}, P^{\infty})}{\tilde{\mathcal{J}}^{[s+2]}(A^{\infty}, P^{\infty})} = \bigoplus_{\sum m_i = s+1} (\mathcal{B}/(u^e, \psi_1, \dots, \psi_t, X)) \cdot u^{em_0} \gamma_{m_1}(\psi_1) \cdots \gamma_{m_t}(\psi_t) \gamma_{m_{t+1}}(X).$$

Le fait que g(x) = 0 implique que dans la somme directe précédente,  $\bar{x}$  n'a des composantes non nulles que sur les  $(\mathcal{B}/(u^e, \psi_1, \dots, \psi_t, X)) \cdot u^{em_0} \psi_1^{m_1} \cdots \psi_t^{m_t} X^{m_{t+1}}$  avec  $m_0 > 0$ . Il s'ensuit  $x \in u\mathcal{J}_1^{[s+1]} + \mathcal{J}_1^{[s+2]} \subset u\mathcal{J}_1^{[q]} + \mathcal{J}_1^{[s+2]}$ . Quitte à faire une nouvelle modification, on peut donc supposer  $x \in \mathcal{J}_1^{[s+2]}(A^{\infty}, P^{\infty})$ , et par une récurrence immédiate  $x \in \mathcal{J}_1^{[Np]}(A^{\infty}, P^{\infty})$  pour un certain entier N qu'il reste à choisir.

Par ailleurs, on dispose d'une décomposition de  $\mathcal{O}_1^{\mathrm{st}}(A^{\infty}, P^{\infty})$  (formule 10)):

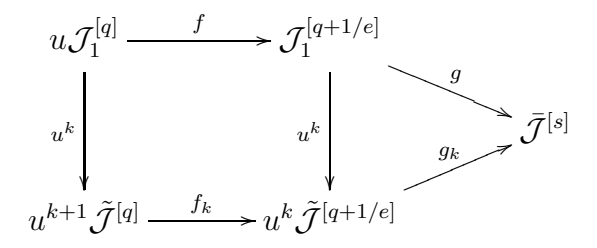
$$\mathcal{O}_1^{\mathrm{st}}(A^{\infty}, P^{\infty}) = \bigoplus_{m_1, \dots, m_{t+1} \in \mathbb{N}} \tilde{\mathcal{B}} \cdot \gamma_{pm_1}(\psi_1) \cdots \gamma_{pm_t}(\psi_t) \gamma_{pm_{t+1}}(X)$$

et d'une décomposition analogue de  $\bar{\mathcal{O}}^{\mathrm{st}}(A^{\infty}, P^{\infty})$ :

$$\bar{\mathcal{O}}^{\mathrm{st}}(A^{\infty}, P^{\infty}) = \bigoplus_{m_1, \dots, m_{t+1} \in \mathbb{N}} \bar{\mathcal{B}} \cdot \gamma_{pm_1}(\psi_1) \cdots \gamma_{pm_t}(\psi_t) \gamma_{pm_{t+1}}(X).$$

On vérifie directement que g respecte ces décompositions. On peut donc supposer que x est élément de l'un des termes correspondant à un uplet  $(m_0, \ldots, m_{t+1})$  de la première somme directe. De plus comme  $x \in \tilde{\mathcal{J}}^{[Np]}(A^{\infty}, P^{\infty})$ , on vérifie que si  $x \neq 0$ , alors  $m = m_0 + \cdots + m_{t+1} \geqslant N - t - 2$ . Mais alors l'hypothèse g(x) = 0 implique  $x \in u\mathcal{J}_1^{[mp]}(A^{\infty}, P^{\infty}) \subset u\mathcal{J}_1^{[q]}(A^{\infty}, P^{\infty})$  si N est choisi suffisamment grand.

Pour en déduire le lemme, on raisonne à partir du diagramme commutatif suivant :



où les multiplications par  $u^k$  sont surjectives. On en déduit dans un premier temps im  $g_k = \operatorname{im} g = \bar{\mathcal{J}}^{[s+1]}$ . Par ailleurs l'injectivité de la flèche  $f_k$  et le fait que  $g_k \circ f_k = 0$  sont immédiats. Une chasse au diagramme facile permet alors de conclure.

En corollaire, on en déduit enfin la proposition suivante :

**Proposition 4.1.9.** Pour tout entier k, tout  $q \in \frac{1}{e}\mathbb{N}$  et tout entier i, l'espace vectoriel  $H^i(u^k\tilde{\mathcal{J}}^{[q]})$  est de dimension finie sur k.

**Démonstration.** Pour  $k\geqslant p$ , l'assertion est évidente puisque  $u^k\tilde{\mathcal{J}}^{[q]}=0.$ 

Par ailleurs, comme  $\bar{X} = X_1 \times_{T_1} \bar{T}$  est log-lisse sur  $\bar{T} = \bar{E}$ , on a par la remarque qui suit le théorème 4.1.3,  $R\alpha_\star \bar{\mathcal{J}}^{[s]} = 0 \to \cdots \to 0 \to \omega_{\bar{X}/\bar{E}}^s \to \omega_{\bar{X}/\bar{E}}^{s+1} \to \cdots$ , et donc puisque  $\bar{X}$  est propre sur  $\bar{E}$ , les groupes  $H^i(\bar{\mathcal{J}}^{[s+1]})$  sont de dimension finie pour tous entiers i et s. Si  $k \leq p-1$ , le lemme 4.1.8 assure que  $H^i(u^k \tilde{\mathcal{J}}^{[q+1/e]})$  est de dimension finie si et seulement si  $H^i(u^{k+1} \tilde{\mathcal{J}}^{[q]})$  l'est. On se ramène ainsi à k=p ou q=0. Le premier cas est traité précédemment et le second par la proposition 4.1.7.

Surjectivité de  $H^i((X_1)_{syn}, \tilde{\mathcal{J}}^{[r]}) \to H^i((X_1)_{syn}, \tilde{\mathcal{J}}^{[r]}/\tilde{\mathcal{J}}^{[r+1/e]})$ . On commence par prouver un lemme :

**Lemme 4.1.10.** Soient  $i \in \mathbb{N}$  et  $q \in \frac{1}{e}\mathbb{N}$ . Supposons  $0 \leqslant i \leqslant q < \frac{p}{e}$  (et i = q = 0 si p = 2 et e = 1). On a des suites exactes courtes :

$$0 \longrightarrow H^{i}(\bar{\mathcal{O}}^{st}) \longrightarrow H^{i}(\tilde{\mathcal{J}}^{[q]}) \longrightarrow H^{i}(u\tilde{\mathcal{J}}^{[q]}) \longrightarrow 0 \ .$$

Démonstration. Montrons tout d'abord que la suite :

$$0 \longrightarrow \bar{\mathcal{O}}^{\mathrm{st}} \longrightarrow \tilde{\mathcal{J}}^{[q]} \stackrel{u}{\longrightarrow} u \tilde{\mathcal{J}}^{[q]} \longrightarrow 0$$

est exacte. La première flèche résulte de l'inclusion  $\bar{\mathcal{O}}^{\mathrm{st}} = u^{p-1} \tilde{\mathcal{O}}^{\mathrm{st}} \subset \tilde{\mathcal{J}}^{[q]}$  et donc est injective. La surjectivité est également claire. Par ailleurs, le noyau de la multiplication par u sur  $\tilde{\mathcal{O}}^{\mathrm{st}}$  est  $u^{p-1} \tilde{\mathcal{O}}^{\mathrm{st}}$  et donc le noyau de  $\tilde{\mathcal{J}}^{[q]} \to u \tilde{\mathcal{J}}^{[q]}$  s'identifie à  $(u^{p-1} \tilde{\mathcal{O}}^{\mathrm{st}} \cap \tilde{\mathcal{J}}^{[q]}) = u^{p-1} \tilde{\mathcal{O}}^{\mathrm{st}}$ .

En écrivant la suite exacte longue associée à la suite exacte courte précédente, on obtient déjà l'exactitude au milieu dans la suite de l'énoncé du lemme. Pour l'injectivité, on remarque que d'après la proposition 4.1.7, on a  $H^i(\bar{\mathcal{O}}^{\text{st}}) = u^{p-1}H^i(\tilde{\mathcal{O}}^{\text{st}})$  et donc la flèche composée  $H^i(\bar{\mathcal{O}}^{\text{st}}) \to H^i(\tilde{\mathcal{J}}^{[q]}) \to H^i(\tilde{\mathcal{O}}^{\text{st}})$  est injective. Il en est donc de même de la flèche  $H^i(\bar{\mathcal{O}}^{\text{st}}) \to H^i(\tilde{\mathcal{J}}^{[q]})$ . La surjectivité découle de l'injectivité car les flèches de bord sont nulles.

La surjectivité de  $H^i(\tilde{\mathcal{J}}^{[r]}) \to H^i(\tilde{\mathcal{J}}^{[r]}/\tilde{\mathcal{J}}^{[r+1/e]})$  résulte directement de la proposition plus générale suivante :

**Proposition 4.1.11.** Soient i un entier et  $q \in \frac{1}{e}\mathbb{N}$  vérifiant  $0 \leqslant i \leqslant q < \frac{p}{e}$  (et i = q = 0 si p = 2 et e = 1). On a des suites exactes courtes :

$$0 \longrightarrow H^{i}(\tilde{\mathcal{J}}^{[q+1/e]}) \longrightarrow H^{i}(\tilde{\mathcal{J}}^{[q]}) \longrightarrow H^{i}(\tilde{\mathcal{J}}^{[q]}/\tilde{\mathcal{J}}^{[q+1/e]}) \longrightarrow 0 \ .$$

En outre, si s désigne la partie entière de q, on a également un début de suite exacte :

$$0 \longrightarrow H^{s+1}(\tilde{\mathcal{J}}^{[q+1/e]}) \longrightarrow H^{s+1}(\tilde{\mathcal{J}}^{[q]}) \longrightarrow H^{s+1}(\tilde{\mathcal{J}}^{[q]}/\tilde{\mathcal{J}}^{[q+1/e]}) .$$

**Démonstration.** La preuve résulte d'un calcul de dimension. Précisément, on va prouver que pour tout  $0 \le i \le q < \frac{p}{e}$ , on a  $h^i(\tilde{\mathcal{J}}^{[q]}) = h^i(\tilde{\mathcal{J}}^{[q+1/e]}) + h^i(\tilde{\mathcal{J}}^{[q]}/\tilde{\mathcal{J}}^{[q+1/e]})$ . On déduira alors la proposition par une récurrence immédiate sur i.

D'après le lemme précédent, on a déjà  $h^i(\tilde{\mathcal{J}}^{[q]}) = h^i(\bar{\mathcal{O}}^{\mathrm{st}}) + h^i(u\tilde{\mathcal{J}}^{[q]})$ . La formule (12) montre que la multiplication par  $u^{e(q-s)}$  induit un isomorphisme entre les faisceaux  $\tilde{\mathcal{J}}^{[s]}/\tilde{\mathcal{J}}^{[s+1/e]}$  et  $\tilde{\mathcal{J}}^{[q]}/\tilde{\mathcal{J}}^{[q+1/e]}$ . Le théorème 4.1.6 implique alors  $h^i(\bar{\mathcal{O}}^{\mathrm{st}}) = h^i(\tilde{\mathcal{J}}^{[q]}/\tilde{\mathcal{J}}^{[q+1/e]})$ . D'autre part, on a la suite exacte (lemme 4.1.8) :

$$0 \longrightarrow u\tilde{\mathcal{J}}^{[q]} \longrightarrow \tilde{\mathcal{J}}^{[q+1/e]} \longrightarrow \bar{\mathcal{J}}^{[s+1]} \longrightarrow 0.$$

Or, puisque  $R\alpha_{\star}\bar{\mathcal{J}}^{[s+1]}=0 \to \cdots \to 0 \to \omega_{\bar{X}/\bar{E}}^{s+1} \to \omega_{\bar{X}/\bar{E}}^{s+2} \to \cdots$  (par la remarque qui suit le théorème 4.1.3), on a  $H^{j}(\bar{\mathcal{J}}^{[s+1]})=0$  pour tout  $j\leqslant s$ . On en déduit  $H^{j}(u\tilde{\mathcal{J}}^{[s]})=H^{j}(\tilde{\mathcal{J}}^{[s+1/e]})$  pour tout  $j\leqslant s$ . En particulier  $h^{i}(u\tilde{\mathcal{J}}^{[s]})=h^{i}(\tilde{\mathcal{J}}^{[s+1/e]})$  ce qui conclut la démonstration.  $\square$ 

Injectivité de  $H^i((X_1)_{syn}, \tilde{\mathcal{J}}^{[r]}) \to H^i((X_1)_{syn}, \tilde{\mathcal{O}}^{st})$ . Commençons par énoncer le lemme suivant :

**Lemme 4.1.12.** Pour tout  $i < \frac{p}{e}$ , l'application  $H^i(u^{p-ei}\tilde{\mathcal{J}}^{[i]}) \to H^i(\tilde{\mathcal{J}}^{[p/e]})$  est injective.

**Démonstration.** Par un raisonnement analogue à celui utilisé pour la preuve du lemme 4.1.8, on montre que l'on a une suite exacte :

$$0 \longrightarrow u^{p-ei} \tilde{\mathcal{J}}^{[i]} \longrightarrow \tilde{\mathcal{J}}^{[p/e]} \xrightarrow{u^{ei}} u^{ei} \tilde{\mathcal{J}}^{[p/e]} \longrightarrow 0.$$

Il suffit donc de prouver que  $H^{i-1}(u^{ei}\tilde{\mathcal{J}}^{[p/e]})=0$ . Par le même argument que celui utilisé dans la preuve de la proposition 4.1.11, on montre que  $H^j(u^{ei}\tilde{\mathcal{J}}^{[p/e]})=H^j(\tilde{\mathcal{J}}^{[i+p/e]})$  pour tout  $j\leqslant \frac{p}{e}$  et donc a fortiori pour tout  $j\leqslant i$ . Posons  $q=i+\frac{p}{e}$  et notons s la partie entière de q. On a une suite exacte :

$$0 \longrightarrow \tilde{\mathcal{J}}^{[q]} \longrightarrow \tilde{\mathcal{J}}^{[s]} \longrightarrow \tilde{\mathcal{J}}^{[s]}/\tilde{\mathcal{J}}^{[q]} \longrightarrow 0.$$

Étale-localement, on peut relever  $X_1$  et un log-schéma  $Y_1$  log-lisse (auquel on étend les puissances divisées) sur  $\tilde{E}$ . Par les théorèmes 4.1.3 et 4.1.5, la flèche  $R\alpha_{\star}\tilde{\mathcal{J}}^{[s]} \to R\alpha_{\star}(\tilde{\mathcal{J}}^{[s]}/\tilde{\mathcal{J}}^{[q]})$ s'écrit explicitement :

$$\mathcal{J}_{Y_{1}}^{[s]} \xrightarrow{\hspace*{2cm}} \mathcal{J}_{Y_{1}}^{[s-1]} \otimes_{\mathcal{O}_{X_{1}}} \omega_{Y_{1}/\tilde{E}}^{1} \xrightarrow{\hspace*{2cm}} \mathcal{J}_{Y_{1}}^{[s-2]} \otimes_{\mathcal{O}_{X_{1}}} \omega_{Y_{1}/\tilde{E}}^{2} \xrightarrow{\hspace*{2cm}} \cdots$$

$$\downarrow \qquad \qquad \qquad \downarrow \qquad \qquad$$

où  $\delta$  est le reste de la division euclidienne de p par e. Or, si j < i, on a  $s-j \geqslant \frac{p}{e}$  et donc  $\gamma_{s-j}(u) = 0$ . Il s'ensuit  $\mathcal{J}_{Y_1}^{[s-j]} = 0$ . On montre de même que  $\mathcal{J}_{Y_1}^{[s-i]}$  est tué par  $u^{\delta}$ . Ainsi  $H^j(\tilde{\mathcal{J}}^{[s]}) = H^j(\tilde{\mathcal{J}}^{[s]}/\tilde{\mathcal{J}}^{[q]}) = 0$  pour j < i et la flèche  $H^i(\tilde{\mathcal{J}}^{[s]}) \to H^i(\tilde{\mathcal{J}}^{[s]}/\tilde{\mathcal{J}}^{[q]})$  est un isomorphisme. La nullité de  $H^{i-1}(u^{ei}\tilde{\mathcal{J}}^{[p/e]})$  (et donc le lemme) résulte alors d'une écriture de la suite exacte longue associée à la suite exacte courte :

$$0 \longrightarrow \tilde{\mathcal{J}}^{[q]} \longrightarrow \tilde{\mathcal{J}}^{[s]} \longrightarrow \tilde{\mathcal{J}}^{[s]} / \tilde{\mathcal{J}}^{[q]} \longrightarrow 0.$$

**Proposition 4.1.13.** Pour tout i et  $q \in \frac{1}{e}\mathbb{N}$  tels que  $q \leqslant i \leqslant r$ , l'application  $H^i(\tilde{\mathcal{J}}^{[i]}) \to H^i(\tilde{\mathcal{J}}^{[q]})$  est injective.

**Démonstration.** Si p=2, on a nécessairement q=i=r=0 et le résultat est évident. Supposons donc  $p\geqslant 3$ .

On raisonne par récurrence descendante sur q. Le résultat est trivial pour q=i. Supposons-le vrai pour un certain q et démontrons-le pour  $q-\frac{1}{e}$ . On vérifie facilement que l'on a des suites exactes courtes de faisceaux :

$$0 \longrightarrow u^{ei} \tilde{\mathcal{O}}^{\text{st}} \longrightarrow \tilde{\mathcal{J}}^{[i]} \xrightarrow{u^{p-ei}} u^{p-ei} \tilde{\mathcal{J}}^{[i]} \longrightarrow 0$$

$$\downarrow \qquad \qquad \downarrow \qquad \qquad \downarrow$$

$$0 \longrightarrow u^{ei} \tilde{\mathcal{O}}^{\text{st}} \longrightarrow \tilde{\mathcal{J}}^{[q-1/e]} \xrightarrow{u^{p-ei}} u^{p-ei} \tilde{\mathcal{J}}^{[q-1/e]} \longrightarrow 0$$

qui donnent lieu à de nouvelles suites exactes :

$$\begin{split} H^{i}(u^{ei}\tilde{\mathcal{O}}^{\mathrm{st}}) & \longrightarrow H^{i}(\tilde{\mathcal{J}}^{[i]}) & \longrightarrow H^{i}(u^{p-ei}\tilde{\mathcal{J}}^{[i]}) \\ & \qquad \qquad \downarrow \qquad \qquad \downarrow \\ 0 & \longrightarrow H^{i}(u^{ei}\tilde{\mathcal{O}}^{\mathrm{st}}) & \longrightarrow H^{i}(\tilde{\mathcal{J}}^{[q-1/e]}) & \longrightarrow H^{i}(u^{p-ei}\tilde{\mathcal{J}}^{[q-1/e]}) \end{split}$$

La deuxième suite est exacte à gauche car la flèche composée  $H^i(u^{ei}\tilde{\mathcal{O}}^{\mathrm{st}}) \to H^i(\tilde{\mathcal{J}}^{[q-1/e]}) \to H^i(\tilde{\mathcal{O}}^{\mathrm{st}})$  est injective (voir preuve de la proposition 4.1.7). On veut montrer que la flèche verticale

du milieu est injective, et une chasse au diagramme laissée au lecteur assure que pour cela, il suffit de prouver que la flèche verticale de droite l'est.

Or, on peut former le carré commutatif suivant :

$$H^{i}(u^{p-ei}\tilde{\mathcal{J}}^{[i]}) \xrightarrow{} H^{i}(\tilde{\mathcal{J}}^{[p/e]})$$

$$\downarrow \qquad \qquad \downarrow$$

$$H^{i}(\tilde{\mathcal{J}}^{[i]})$$

$$\downarrow \qquad \qquad \downarrow$$

$$H^{i}(u^{p-ei}\tilde{\mathcal{J}}^{[q-1/e]}) \xrightarrow{} H^{i}(\tilde{\mathcal{J}}^{[q]})$$

La flèche du haut est injective d'après le lemme 4.1.12 et celles de droite le sont également respectivement d'après la proposition 4.1.11 et l'hypothèse de récurrence. On en déduit que celle de gauche l'est aussi comme on le souhaitait.

On a finalement le théorème :

**Théorème 4.1.14.** Pour tout  $i \leqslant r$ , le quadruplet  $(H^i((X_1)_{syn}, \widetilde{\mathcal{O}}^{st}), H^i((X_1)_{syn}, \widetilde{\mathcal{J}}^{[r]}), \phi_r, N)$  définit un objet de la catégorie  $\widetilde{\mathcal{M}}^r$ .

**Démonstration.** Il restait à prouver la surjectivité de  $H^i(\tilde{\mathcal{J}}^{[r]}) \to H^i(\tilde{\mathcal{J}}^{[r]}/\mathcal{J}^{[r+1/e]})$  et l'injectivité de  $H^i(\tilde{\mathcal{J}}^{[r]}) \to H^i(\tilde{\mathcal{O}}^{\text{st}})$ . Le premier point est une conséquence immédiate de la proposition 4.1.11. Pour le second point, on remarque que le morphisme  $H^i(\tilde{\mathcal{J}}^{[r]}) \to H^i(\tilde{\mathcal{O}}^{\text{st}})$  se factorise par  $H^i(\tilde{\mathcal{J}}^{[r]}) \to H^i(\tilde{\mathcal{J}}^{[i]}) \to H^i(\tilde{\mathcal{O}}^{\text{st}})$ . La première des deux flèches précédentes est injective par la proposition 4.1.11 et la seconde est aussi injective par la proposition 4.1.13. Ceci clôt la démonstration.

#### 4.1.4 Reformulation sur la base $E_1$

On montre dans ce paragraphe que le quadruplet :

$$(H^i((X_1)_{\operatorname{syn}}, \mathcal{O}_1^{\operatorname{st}}), H^i((X_1)_{\operatorname{syn}}, \mathcal{J}_1^{[r]}), \phi_r, N)$$

est un objet de la catégorie  $\underline{\mathcal{M}}^r$  pour tout  $i \leq r$ . Pour cela, on commence par recopier à la lettre les arguments des paragraphes 4.1.2 et 4.1.3 pour obtenir un équivalent du théorème 4.1.6 qui s'énonce comme suit :

**Théorème 4.1.15.** Pour  $0 \le i \le s \le p-1$  (et seulement pour i=s=0 si p=2), on a un isomorphisme :

$$S_1 \otimes_{(\phi),k[u]/u^e} H^i((X_1)_{syn},\mathcal{J}_1^{[s]}/\mathcal{J}_1^{[s+1]}) \xrightarrow[id\otimes\phi_s]{\sim} H^i((X_1)_{syn},\mathcal{O}_1^{st}) \ .$$

Dans un premier temps, il nous faut montrer que  $H^i((X_1)_{\text{syn}}, \mathcal{O}_1^{\text{st}})$  est un  $S_1$ -module libre et pour cela il suffit de prouver que  $H^i((X_1)_{\text{syn}}, \mathcal{J}_1^{[r]}/\mathcal{J}_1^{[r+1]})$  est un  $k[u]/u^e$ -module libre par le théorème 4.1.15. C'est évident si e=1. À partir de maintenant et jusqu'à la fin de cette partie, on suppose  $e \geq 2$ .

Dans ce cas, on est tenté de comparer les deux faisceaux  $\mathcal{J}_1^{[r]}/\mathcal{J}_1^{[r+1]}$  et  $\tilde{\mathcal{J}}^{[r]}/\tilde{\mathcal{J}}^{[r+1]}$  puisque la version « » a déjà été étudiée. Cependant, en regardant les descriptions explicites, on se rend compte qu'il n'est pas vrai en général que ces deux faisceaux sont isomorphes ; c'est le cas simplement lorsque  $er \leq p - e$ .

La solution consiste à introduire une nouvelle catégorie d'objets modulo  $u^{2p}$  et à procéder en deux étapes : on passe des objets modulo  $u^p$  aux objets modulo  $u^{2p}$  puis de ces derniers aux objets de  $\underline{\mathcal{M}}^r$ .

Les objets modulo  $u^{2p}$  On rappelle que tout au long de ce paragraphe, on suppose  $e \geqslant 2$ .

On introduit une nouvelle catégorie, notée  $\widetilde{\underline{\mathcal{M}}}_{(2)}^r$  dont la définition est très proche des autres catégories déjà introduites. On pose  $\tilde{S}_{(2)} = k \left[ u \right] / u^{2p}$ . C'est un anneau muni d'un Frobenius  $\phi$  semi-linéaire envoyant  $u^i$  sur  $u^{pi}$  et d'un opérateur de monodromie N k-linéaire envoyant  $u^i$  sur  $-iu^i$ . Un objet de  $\widetilde{\underline{\mathcal{M}}}_{(2)}^r$  est la donnée de :

- 1. un  $\tilde{S}_{(2)}$ -module  $\tilde{\mathcal{M}}$  libre de rang fini ;
- 2. un sous-module Fil<sup>r</sup> $\tilde{\mathcal{M}}$  de  $\tilde{\mathcal{M}}$  contenant  $u^{er}\tilde{\mathcal{M}}$ ;
- 3. une flèche  $\phi$ -semi-linéaire  $\phi_r$ : Fil $^r \tilde{\mathcal{M}} \to \tilde{\mathcal{M}}$  telle que l'image de  $\phi_r$  engendre  $\tilde{\mathcal{M}}$  en tant que  $\tilde{S}_{(2)}$ -module;
- 4. une application k-linéaire  $N: \tilde{\mathcal{M}} \to \tilde{\mathcal{M}}$  telle que :
  - pour tout  $\lambda \in \tilde{S}_{(2)}$  et tout  $x \in \tilde{\mathcal{M}}$ ,  $N(\lambda x) = N(\lambda) x + \lambda N(x)$
  - $-u^e N(\operatorname{Fil}^r \tilde{\mathcal{M}}) \subset \operatorname{Fil}^r \tilde{\mathcal{M}}$
  - le diagramme suivant commute :

$$\begin{array}{ccc}
\operatorname{Fil}^{r} \tilde{\mathcal{M}} & \xrightarrow{\phi_{r}} & \tilde{\mathcal{M}} \\
u^{e} N \middle\downarrow & & & \downarrow^{c_{(2),\pi} N} \\
\operatorname{Fil}^{r} \tilde{\mathcal{M}} & \xrightarrow{\phi_{r}} & \tilde{\mathcal{M}}
\end{array}$$

où  $c_{(2),\pi}$  est la réduction de c dans  $\tilde{S}_{(2)}$ .

Les morphismes de  $\widetilde{\mathcal{M}}_{(2)}^r$  sont les applications  $\tilde{S}_{(2)}$ -linéaires qui commutent à toutes les structures.

On prouve comme dans le paragraphe 2.2 que les catégories  $\underline{\mathcal{M}}^r$ ,  $\underline{\widetilde{\mathcal{M}}}_{(2)}^r$  et  $\underline{\widetilde{\mathcal{M}}}^r$  sont toutes les trois équivalentes via les foncteurs de réduction modulo  $u^{2p}$  et modulo  $u^p$ .

Pour tout rationnel  $q \in \frac{1}{e}\mathbb{N}$ , on définit sur le site  $(T_1)_{\text{SYN}}$  un faisceau  $\tilde{\mathcal{J}}_{(2)}^{[q]}$  par la formule :

$$\tilde{\mathcal{J}}_{(2)}^{[q]} = \frac{\tilde{\mathcal{J}}^{[q]}}{\tilde{\mathcal{J}}^{[q]} \cap u^{2p}\tilde{\mathcal{O}}^{\mathrm{st}}}.$$

On définit également  $\tilde{\mathcal{O}}_{(2)}^{\mathrm{st}} = \tilde{\mathcal{J}}_{(2)}^{[0]}$ . Finalement, on vérifie que les applications  $\phi_s$  et N passent au quotient et définissent des opérateurs encore notés  $\phi_s$  et N sur ces nouveaux faisceaux.

Remarque. On peut vérifier que si l'on note  $\tilde{E}_{(2)}$  la réduction de la base  $E_1$  modulo  $u^{2p}$ , on a :

$$\tilde{\mathcal{J}}_{(2)}^{[s]}(U) = H^0((U/\tilde{E}_{(2)})_{\mathrm{cris}}, \mathcal{J}_{U/\tilde{E}_{(2)}}^{[s]}) = H^0((U/\tilde{E}_{(2)})_{\mathrm{CRIS}}, \mathcal{J}_{U/\tilde{E}_{(2)}}^{[s]})$$

pour tout entier s et tout log-schéma U fin et localement de type fini sur  $T_1$ . En outre, on a également :

$$H^{i}(X_{\text{syn}}, \mathcal{J}_{(2)}^{[s]}) = H^{i}(X_{\text{SYN}}, \mathcal{J}_{(2)}^{[s]}) = H^{i}((X/\tilde{E}_{(2)})_{\text{cris}}, \mathcal{J}_{X/\tilde{E}_{(2)}}^{[s]}) = H^{i}((X/\tilde{E}_{(2)})_{\text{CRIS}}, \mathcal{J}_{X/\tilde{E}_{(2)}}^{[s]})$$

pour tout entier i et tout log-schéma X fin localement de type fini sur  $E_n$ . On a également la relation  $\tilde{\mathcal{J}}_{(2)}^{[q]} = u^{\delta} \tilde{\mathcal{J}}_{(2)}^{[s]} + \tilde{\mathcal{J}}_{(2)}^{[s+1]}$  si  $eq = es + \delta$  est la division euclidienne de eq par e.

Il est alors possible, de manière analogue à ce que nous avons fait dans le paragraphe 3.3, de donner des descriptions locales très explicites des faisceaux précédents. On retiendra simplement un équivalent de la proposition 3.3.4 :

**Proposition 4.1.16.** Supposons r > 0. Sur le site  $(T_1)_{syn}$  les projections canoniques induisent des isomorphismes de faisceaux :

$$\tilde{\mathcal{J}}_{(2)}^{[r]}/\tilde{\mathcal{J}}_{(2)}^{[r+2/e]} \xrightarrow{\sim} \tilde{\mathcal{J}}^{[r]}/\tilde{\mathcal{J}}^{[r+2/e]} \quad et \quad \mathcal{J}_{1}^{[r]}/\mathcal{J}_{1}^{[r+1]} \xrightarrow{\sim} \tilde{\mathcal{J}}_{(2)}^{[r]}/\tilde{\mathcal{J}}_{(2)}^{[r+1]} \; .$$

**Démonstration.** Elle est tout à fait analogue à celle de la proposition 3.3.4. Remarquons cependant que l'hypothèse  $er \leq p-2$  est cruciale pour le premier isomorphisme. Le second, quant à lui, utilise la majoration moins fine (car on a supposé r > 0)  $er + e \leq 2p$ .

Un objet de la catégorie  $\underline{\widetilde{\mathcal{M}}}_{(2)}^r$  Nous nous proposons de prouver, ici, que le quadruplet :

$$(H^{i}((X_{1})_{\mathrm{syn}}, \tilde{\mathcal{O}}_{(2)}^{\mathrm{st}}), H^{i}((X_{1})_{\mathrm{syn}}, \tilde{\mathcal{J}}_{(2)}^{[r]}), \phi_{r}, N)$$

est un objet de la catégorie  $\widetilde{\underline{\mathcal{M}}}_{(2)}^r$ . On suppose à partir de maintenant que r>0.

On recopie encore une fois les arguments des paragraphes 4.1.2 et 4.1.3 afin obtenir le théorème suivant :

**Théorème 4.1.17.** Pour  $0 \leqslant i \leqslant s \leqslant \frac{2p-2}{e}$  (pour i = s = 0 si p = 2), on a un isomorphisme :

$$\tilde{S}_{(2)} \otimes_{(\phi), k[u]/u^2} H^i((X_1)_{syn}, \tilde{\mathcal{J}}_{(2)}^{[s]}/\tilde{\mathcal{J}}_{(2)}^{[s+2/e]}) \xrightarrow[id \otimes \phi_s]{\sim} H^i((X_1)_{syn}, \tilde{\mathcal{O}}_{(2)}^{st}) \; .$$

Comme précédemment, pour simplifier, si  $\mathcal{F}$  est un faisceau sur  $(X_1)_{\text{syn}}$ , on note  $H^i(\mathcal{F})$  pour  $H^i((X_1)_{\text{syn}}, \mathcal{F})$  et si cet espace est de dimension finie sur k, on note  $h^i(\mathcal{F})$  sa dimension. On a alors:

**Théorème 4.1.18.** Pour tout  $i \leq r$ , le groupe de cohomologie  $H^i(\tilde{\mathcal{O}}_{(2)}^{st})$  est libre de rang fini sur  $\tilde{S}_{(2)}$ .

**Démonstration.** D'après le théorème 4.1.17, il suffit de montrer que  $H^i(\tilde{\mathcal{J}}_{(2)}^{[r]}/\tilde{\mathcal{J}}_{(2)}^{[r+2/e]})$  est libre de rang fini sur  $k[u]/u^2$ . Or on a un isomorphisme  $\tilde{\mathcal{J}}_{(2)}^{[r]}/\tilde{\mathcal{J}}_{(2)}^{[r+2/e]} \simeq \tilde{\mathcal{J}}^{[r]}/\tilde{\mathcal{J}}^{[r+2/e]}$  (proposition 4.1.16). Il suffit donc de prouver que  $H^i(\tilde{\mathcal{J}}^{[r]}/\tilde{\mathcal{J}}^{[r+2/e]})$  est libre de rang fini sur  $k[u]/u^2$ .

Notons  $\mathcal{M} = H^i(\tilde{\mathcal{O}}^{\mathrm{st}})$ , c'est un  $k[u]/u^p$ -module libre de rang fini, disons d, d'après le théorème 4.1.14. Pour tout  $q \in \frac{1}{e}\mathbb{N}$ ,  $q \geqslant r$ , le morphisme  $H^i(\tilde{\mathcal{J}}^{[q]}) \to \mathcal{M}$  est injectif d'après les propositions 4.1.11 et 4.1.13. Notons Fil  ${}^q\mathcal{M}$  son image. On obtient ainsi une suite décroissante de sous- $\tilde{S}$ -modules de  $\mathcal{M}$ .

Puisque la multiplication par u se factorise par  $\operatorname{Fil}^r\mathcal{M} \to \operatorname{Fil}^{r+1/e}\mathcal{M} \to \operatorname{Fil}^r\mathcal{M}$ , on a  $u\operatorname{Fil}^r\mathcal{M} \subset \operatorname{Fil}^{r+1/e}\mathcal{M}$ . Par ailleurs, à nouveau la proposition 4.1.11 nous dit que le quotient  $\operatorname{Fil}^r\mathcal{M}/\operatorname{Fil}^{r+1/e}\mathcal{M}$  est un k-espace vectoriel de dimension d. Or il en est de même de  $\operatorname{Fil}^r\mathcal{M}/u\operatorname{Fil}^r\mathcal{M}$ . Il en résulte que les k-espaces vectoriels  $\operatorname{Fil}^{r+1/e}\mathcal{M}$  et  $u\operatorname{Fil}^r\mathcal{M}$  ont même dimension. L'inclusion trouvée précédemment prouve alors qu'ils sont égaux.

De même en remplaçant r par r+1/e (et en vérifiant que la proposition 4.1.11 s'applique encore), on obtient  $\operatorname{Fil}^{r+2/e}\mathcal{M}=u\operatorname{Fil}^{r+1/e}\mathcal{M}=u^2\operatorname{Fil}^r\mathcal{M}$ . L'inégalité  $er\leqslant p-2$  et l'inclusion  $u^{er}\mathcal{M}\subset\operatorname{Fil}^r\mathcal{M}$  assurent que le quotient  $\operatorname{Fil}^r\mathcal{M}/\operatorname{Fil}^{r+2/e}\mathcal{M}=\operatorname{Fil}^r\mathcal{M}/u^2\operatorname{Fil}^r\mathcal{M}$  est libre de rang d sur  $k[u]/u^2$ .

Par ailleurs, on a une suite exacte longue:

$$H^{i}(\tilde{\mathcal{J}}^{[r+2/e]}) \longrightarrow H^{i}(\tilde{\mathcal{J}}^{[r]}) \longrightarrow H^{i}(\tilde{\mathcal{J}}^{[r]}/\tilde{\mathcal{J}}^{[r+2/e]}) \longrightarrow H^{i+1}(\tilde{\mathcal{J}}^{[r+2/e]}) \longrightarrow H^{i+1}(\tilde{\mathcal{J}}^{[r]})$$

et d'après la proposition 4.1.11 les première et dernière flèches sont injectives. On en déduit que  $H^i(\tilde{\mathcal{J}}^{[r]}/\tilde{\mathcal{J}}^{[r+2/e]})$  s'identifie au quotient  $\mathrm{Fil}^r\mathcal{M}/\mathrm{Fil}^{r+2/e}\mathcal{M}$  et donc qu'il est libre de rang fini sur  $k[u]/u^2$ .

Remarque. La preuve précédente implique  $h^i(\tilde{\mathcal{O}}_{(2)}^{\mathrm{st}}) = ph^i(\tilde{\mathcal{J}}^{[r+2/e]}/\tilde{\mathcal{J}}^{[r]}) = 2ph^i(\tilde{\mathcal{J}}^{[r+1/e]}/\tilde{\mathcal{J}}^{[r]}) = 2ph^i(\bar{\mathcal{O}}^{\mathrm{st}}).$ 

Avec cette dernière égalité, on peut refaire la démonstration de la proposition 4.1.7 et obtenir ainsi :

**Proposition 4.1.19.** Pour tous entiers k et  $i < \frac{2p}{e}$  (on impose i = 0 si p = e = 2), on a  $H^i(u^k\tilde{\mathcal{O}}_{(2)}^{st}) = u^kH^i(\tilde{\mathcal{O}}_{(2)}^{st})$ .

Sans surprise, on dispose d'un analogue de la proposition 4.1.11 dans cette nouvelle situation :

**Proposition 4.1.20.** Soient i un entier et  $q \in \frac{1}{e}\mathbb{N}$  vérifiant  $0 \leq i \leq q < E(\frac{p}{e}) + 1$  (et i = q = 0 si p = 2 et e = 1) où  $E(\frac{p}{e})$  désigne la partie entière de  $\frac{p}{e}$ . On a des suites exactes courtes :

$$0 \longrightarrow H^{i}(\tilde{\mathcal{J}}_{(2)}^{[q+1/e]}) \longrightarrow H^{i}(\tilde{\mathcal{J}}_{(2)}^{[q]}) \longrightarrow H^{i}(\tilde{\mathcal{J}}_{(2)}^{[q]}/\tilde{\mathcal{J}}_{(2)}^{[q+1/e]}) \longrightarrow 0.$$

En outre, si s désigne la partie entière de q, on a également un début de suite exacte :

$$0 \longrightarrow H^{s+1}(\tilde{\mathcal{J}}_{(2)}^{[q+1/e]}) \longrightarrow H^{s+1}(\tilde{\mathcal{J}}_{(2)}^{[q]}) \longrightarrow H^{s+1}(\tilde{\mathcal{J}}_{(2)}^{[q]}/\tilde{\mathcal{J}}_{(2)}^{[q+1/e]}) \; .$$

**Démonstration.** La démonstration est très proche de celle de la proposition 4.1.11.

On commence par remarquer que puisque r>0, on a  $e\leqslant p-2$  et  $E(\frac{p}{e})+1\leqslant \frac{2p-2}{e}$ . Cela implique que si s désigne la partie entière de q, on a les identifications  $\tilde{\mathcal{J}}_{(2)}^{[q]}/\tilde{\mathcal{J}}_{(2)}^{[q+1/e]}\simeq \tilde{\mathcal{J}}_{(2)}^{[s]}/\tilde{\mathcal{J}}_{(2)}^{[s+1/e]}$ . Ainsi, on obtient  $h^i(\tilde{\mathcal{J}}_{(2)}^{[q]}/\tilde{\mathcal{J}}_{(2)}^{[q+1/e]})=h^i(\tilde{\mathcal{J}}^{[s]}/\tilde{\mathcal{J}}^{[s+1/e]})=h^i(\bar{\mathcal{O}}^{\mathrm{st}})$  pour tout entier i. (La dernière égalité résulte du théorème 4.1.6.)

Par ailleurs, une adaptation simple du lemme 4.1.10 fournit la suite exacte :

$$0 \longrightarrow H^{i}(\bar{\mathcal{O}}^{\operatorname{st}}) \longrightarrow H^{i}(\tilde{\mathcal{J}}_{(2)}^{[q]}) \stackrel{u}{\longrightarrow} H^{i}(u\tilde{\mathcal{J}}_{(2)}^{[q]}) \longrightarrow 0$$

et donc l'égalité  $h^i(\tilde{\mathcal{J}}_{(2)}^{[q]}) = h^i(u\tilde{\mathcal{J}}_{(2)}^{[q]}) + h^i(\bar{\mathcal{O}}^{\mathrm{st}})$ . De même en adaptant le lemme 4.1.8, on obtient la suite exacte de faisceaux :

$$0 \longrightarrow u\tilde{\mathcal{J}}_{(2)}^{[q]} \longrightarrow \tilde{\mathcal{J}}_{(2)}^{[q+1/e]} \longrightarrow \bar{\mathcal{J}}^{[s+1]} \longrightarrow 0$$

et puisque  $R\alpha_{\star}\bar{\mathcal{J}}^{[s+1]}=0 \to \cdots \to 0 \to \omega_{\bar{X}/\bar{E}}^{s+1} \to \omega_{\bar{X}/\bar{E}}^{s+2} \to \cdots$ , on a  $H^{j}(\bar{\mathcal{J}}^{[s+1]})=0$  pour tout  $j\leqslant s$  puis  $H^{i}(u\tilde{\mathcal{J}}^{[s]})=H^{i}(\tilde{\mathcal{J}}^{[s+1/e]})$ . En particulier  $h^{i}(u\tilde{\mathcal{J}}^{[s]})=h^{i}(\tilde{\mathcal{J}}^{[s+1/e]})$  d'où il vient  $h^{i}(\tilde{\mathcal{J}}^{[q]}_{(2)})=h^{i}(\tilde{\mathcal{J}}^{[q+1/e]}_{(2)})+h^{i}(\tilde{\mathcal{J}}^{[q]}_{(2)}/\tilde{\mathcal{J}}^{[q+1/e]}_{(2)})$ . On termine alors la démonstration en raisonnant par récurrence sur i.

On a finalement la proposition:

**Proposition 4.1.21.** Pour tout  $i \leqslant r$ , l'application  $H^i(\tilde{\mathcal{J}}_{(2)}^{[r]}) \to H^i(\tilde{\mathcal{O}}_{(2)}^{st})$  est injective.

**Démonstration.** Il est possible d'adapter la démonstration de la proposition 4.1.13, mais nous pouvons également déduire l'énoncé de la proposition 4.1.13. En effet, on a le diagramme suivant :

$$\begin{split} H^{i}(u^{p}\tilde{\mathcal{O}}_{(2)}^{\mathrm{st}}) &\longrightarrow H^{i}(\tilde{\mathcal{J}}_{(2)}^{[r]}) &\longrightarrow H^{i}(\tilde{\mathcal{J}}^{[r]}) \\ & \qquad \qquad \downarrow \qquad \qquad \downarrow \\ 0 &\longrightarrow H^{i}(u^{p}\tilde{\mathcal{O}}_{(2)}^{\mathrm{st}}) &\longrightarrow H^{i}(\tilde{\mathcal{O}}_{(2)}^{\mathrm{st}}) &\longrightarrow H^{i}(\tilde{\mathcal{O}}^{\mathrm{st}}) &\longrightarrow 0 \end{split}$$

et la suite du bas est exacte d'après la proposition 4.1.19 (notez que la multiplication par  $u^p$  sur  $\tilde{\mathcal{O}}^{\mathrm{st}}_{(2)}$  identifie  $\tilde{\mathcal{O}}^{\mathrm{st}}$  et  $u^p \tilde{\mathcal{O}}^{\mathrm{st}}_{(2)}$ ). Par la proposition 4.1.13, la flèche verticale de droite est injective. On vérifie facilement qu'il en est alors forcément de même de la flèche verticale centrale. D'où la proposition.

On en déduit finalement le théorème :

**Théorème 4.1.22.** Pour tout  $i \leq r$ , le quadruplet  $(H^i((X_1)_{syn}, \widetilde{\mathcal{O}}_{(2)}^{st}), H^i((X_1)_{syn}, \widetilde{\mathcal{J}}_{(2)}^{[r]}), \phi_r, N)$  définit un objet de la catégorie  $\widetilde{\mathcal{M}}_{(2)}^r$ .

Un objet de la catégorie  $\underline{\mathcal{M}}^r$  On veut ici enfin prouver que  $(H^i(\mathcal{O}_1^{\mathrm{st}}), H^i(\mathcal{J}_1^{[r]}), \phi_r, N)$  est un objet de  $\underline{\mathcal{M}}^r$  pour tout  $i \leq r$ . Pour cela, on reprend à nouveau les arguments précédents.

On commence par prouver que  $H^i(\mathcal{O}_1^{\mathrm{st}})$  est un module libre (de rang fini) sur  $S_1$ . D'après le théorème 4.1.15, il suffit de prouver que  $H^i(\mathcal{J}_1^{[r]}/\mathcal{J}_1^{[r+1]})$  est libre sur  $k[u]/u^e$ . Or le faisceau  $\mathcal{J}_1^{[r]}/\mathcal{J}_1^{[r+1]}$  s'identifie à  $\tilde{\mathcal{J}}_{(2)}^{[r]}/\tilde{\mathcal{J}}_{(2)}^{[r+1]}$  (proposition 4.1.16) et il suffit donc de prouver que  $H^i(\tilde{\mathcal{J}}_{(2)}^{[r]}/\tilde{\mathcal{J}}_{(2)}^{[r+1]})$  est libre de rang fini sur  $k[u]/u^e$ . Pour cela, on adapte facilement les arguments de la preuve du théorème 4.1.18 en remplaçant les références aux propositions 4.1.11 et 4.1.13 respectivement par des références aux proposition 4.1.20 et 4.1.21.

**Lemme 4.1.23.** Pour tous entiers i et s tels que  $0 \leqslant i \leqslant s < \frac{p}{e}$ , la flèche  $H^i(\mathcal{J}_1^{[s]}) \to H^i(\tilde{\mathcal{J}}_{(2)}^{[s]})$  est surjective.

**Démonstration.** On raisonne par récurrence sur s. Pour le cas s=0, on a les isomorphismes suivants :

$$H^{i}(\mathcal{O}_{1}^{\mathrm{st}}) \simeq S_{1} \otimes_{(\phi),k[u]/u^{e}} H^{i}(\mathcal{J}_{1}^{[i]}/\mathcal{J}_{1}^{[i+1]})$$
  
$$H^{i}(\tilde{\mathcal{O}}_{(2)}^{\mathrm{st}}) \simeq \tilde{S}_{(2)} \otimes_{(\phi),k[u]/u^{2}} H^{i}(\tilde{\mathcal{J}}_{(2)}^{[i]}/\tilde{\mathcal{J}}_{(2)}^{[i+2/e]}).$$

On vérifie que la flèche  $H^i(\mathcal{O}_1^{\mathrm{st}}) \to H^i(\tilde{\mathcal{O}}_{(2)}^{\mathrm{st}})$  s'obtient à partir de la projection  $S_1 \to \tilde{S}_{(2)}$  et le morphisme naturel  $H^i(\mathcal{J}_1^{[i]}/\mathcal{J}_1^{[i+1]}) \to H^i(\tilde{\mathcal{J}}_{(2)}^{[i]}/\tilde{\mathcal{J}}_{(2)}^{[i+2/e]})$ . Il suffit donc de prouver que ce dernier morphisme est surjectif. Or, d'une part, le faisceau  $\mathcal{J}_1^{[i]}/\mathcal{J}_1^{[i+1]}$  s'identifie à  $\tilde{\mathcal{J}}_{(2)}^{[i]}/\tilde{\mathcal{J}}_{(2)}^{[i+1]}$  (proposition 4.1.16) et, d'autre part, on a le diagramme commutatif suivant :

$$0 \longrightarrow H^{i}(\tilde{\mathcal{J}}_{(2)}^{[i+1]}) \longrightarrow H^{i}(\tilde{\mathcal{J}}_{(2)}^{[i]}) \longrightarrow H^{i}(\tilde{\mathcal{J}}_{(2)}^{[i]}/\tilde{\mathcal{J}}_{(2)}^{[i+1]}) \longrightarrow 0$$

$$\downarrow \qquad \qquad \downarrow \qquad \qquad \downarrow$$

$$0 \longrightarrow H^{i}(\tilde{\mathcal{J}}_{(2)}^{[i+2/e]}) \longrightarrow H^{i}(\tilde{\mathcal{J}}_{(2)}^{[i]}) \longrightarrow H^{i}(\tilde{\mathcal{J}}_{(2)}^{[i]}/\tilde{\mathcal{J}}_{(2)}^{[i+2/e]}) \longrightarrow 0$$

où les lignes sont exactes : l'injectivité provient de la proposition 4.1.20 et la surjectivité provient de l'injectivité analogue sur les  $H^{i+1}$  (toujours conséquence de la même proposition). On en déduit directement la surjectivité de la flèche verticale de droite, ce qui conclut le cas s=0.

On procède ensuite par récurrence sur s. On considère le diagramme commutatif :

$$H^{i}(\tilde{\mathcal{J}}_{1}^{[s+1]}) \longrightarrow H^{i}(\tilde{\mathcal{J}}_{1}^{[s]}) \longrightarrow H^{i}(\tilde{\mathcal{J}}_{1}^{[s]}/\tilde{\mathcal{J}}_{1}^{[s+1]})$$

$$\downarrow \qquad \qquad \qquad \parallel$$

$$0 \longrightarrow H^{i}(\tilde{\mathcal{J}}_{(2)}^{[s+1]}) \longrightarrow H^{i}(\tilde{\mathcal{J}}_{(2)}^{[s]}) \longrightarrow H^{i}(\tilde{\mathcal{J}}_{(2)}^{[s]}/\tilde{\mathcal{J}}_{(2)}^{[s+1]})$$

La flèche verticale de droite est un isomorphisme par la proposition 4.1.16. La flèche verticale du milieu est surjective par hypothèse de récurrence. Une chasse au diagramme prouve facilement que la flèche verticale de gauche est aussi surjective, ce qui conclut.

Remarque. Le lemme est également vrai pour  $s \in \frac{1}{e}\mathbb{N}$ ,  $0 \leqslant i \leqslant s < E(\frac{p}{e}) + 1$ . Ce raffinement se démontre de manière analogue en choisissant un pas de  $\frac{1}{e}$  (au lieu de 1) dans la récurrence.

On parvient finalement au but de tout ce paragraphe :

**Théorème 4.1.24.** Pour tout  $i \leq r$ , le quadruplet  $(H^i((X_1)_{syn}, \mathcal{O}_1^{st}), H^i((X_1)_{syn}, \mathcal{J}_1^{[r]}), \phi_r, N)$  définit un objet de la catégorie  $\underline{\mathcal{M}}^r$ .

**Démonstration.** Comme précédemment, il ne reste plus qu'à prouver que la flèche  $H^i(\mathcal{J}_1^{[r]}) \to H^i(\mathcal{J}_1^{[r]}/\mathcal{J}_1^{[r+1]})$  est surjective et que la flèche  $H^i(\mathcal{J}_1^{[r]}) \to H^i(\mathcal{O}_1^{\mathrm{st}})$  est injective.

Pour le premier point, on considère le carré commutatif suivant :

$$H^{i}(\mathcal{J}_{1}^{[r]}) \longrightarrow H^{i}(\mathcal{J}_{1}^{[r]}/\mathcal{J}_{1}^{[r+1]})$$

$$\downarrow \qquad \qquad \downarrow$$

$$H^{i}(\tilde{\mathcal{J}}_{(2)}^{[r]}) \longrightarrow H^{i}(\tilde{\mathcal{J}}_{(2)}^{[r]}/\tilde{\mathcal{J}}_{(2)}^{[r+1]})$$

La flèche de droite est un isomorphisme (proposition 4.1.16). La flèche de gauche est surjective (lemme 4.1.23), et celle du bas l'est également (proposition 4.1.20). On en déduit que celle du haut l'est aussi.

Pour le second point, on reprend les arguments de la preuve de la proposition 4.1.21. On raisonne à partir du diagramme suivant :

$$0 \longrightarrow K \longrightarrow \mathcal{J}_{1}^{[r]} \longrightarrow \tilde{\mathcal{J}}_{(2)}^{[r]} \longrightarrow 0$$

$$\downarrow \qquad \qquad \downarrow$$

$$0 \longrightarrow K \longrightarrow \mathcal{O}_{1}^{\text{st}} \longrightarrow \tilde{\mathcal{O}}_{(2)}^{\text{st}} \longrightarrow 0$$

où  $K=u^p\mathcal{O}_1^{\mathrm{st}}$  et où les deux suites horizontales sont exactes. Il donne lieu à un nouveau diagramme :

$$H^{i}(K) \longrightarrow H^{i}(\mathcal{J}_{1}^{[r]}) \longrightarrow H^{i}(\tilde{\mathcal{J}}_{(2)}^{[r]})$$

$$\downarrow \qquad \qquad \downarrow$$

$$0 \longrightarrow H^{i}(K) \longrightarrow H^{i}(\mathcal{O}_{1}^{\mathrm{st}}) \longrightarrow H^{i}(\tilde{\mathcal{O}}_{(2)}^{\mathrm{st}})$$

La suite du bas est exacte à gauche car, par le lemme 4.1.23, la flèche  $H^{i-1}(\mathcal{O}_1^{\mathrm{st}}) \to H^{i-1}(\tilde{\mathcal{O}}_{(2)}^{\mathrm{st}})$  est surjective. Mais la flèche verticale de droite est injective (proposition 4.1.21). On en déduit que la flèche verticale du milieu l'est également. Ceci termine la preuve.

### **4.1.5** Le cas r = 0

Lorsque r = 0, la condition  $er \leq p - 2$  est automatique et n'impose aucune borne sur e. Pour obtenir le théorème 4.1.24, dans ce cas, on a besoin d'introduire plus de catégories-étapes.

**Plan de la preuve** On reprend les constructions du début du paragraphe 4.1.4 en remplaçant (2) par (t).

Pour tout entier  $1 \leq t \leq e$ , on commence par définir une catégorie  $\underline{\widetilde{\mathcal{M}}}_{(t)}^r$  d'objets modulo  $u^{tp}$ . On considère pour cela l'anneau  $\widetilde{S}_{(t)} = k \left[u\right]/u^{tp}$  que l'on munit d'un Frobenius  $\phi$  semi-linéaire envoyant  $u^i$  sur  $u^{pi}$  et d'un opérateur de monodromie k-linéaire envoyant  $u^i$  sur  $-iu^i$ . Un objet de  $\underline{\widetilde{\mathcal{M}}}_{(t)}^r$  est la donnée de :

- 1. un  $\tilde{S}_{(t)}$ -module  $\tilde{\mathcal{M}}$  libre de rang fini;
- 2. un sous-module Fil  ${}^r\tilde{\mathcal{M}}$  de  $\tilde{\mathcal{M}}$  contenant  $u^{er}\tilde{\mathcal{M}}$ ;
- 3. une flèche  $\phi$ -semi-linéaire  $\phi_r$ : Fil $^r \tilde{\mathcal{M}} \to \tilde{\mathcal{M}}$  telle que l'image de  $\phi_r$  engendre  $\tilde{\mathcal{M}}$  en tant que  $\tilde{S}_{(t)}$ -module;
- 4. une application  $k\text{-lin\'eaire}\ N:\tilde{\mathcal{M}}\to\tilde{\mathcal{M}}$  telle que :
  - pour tout  $\lambda \in \tilde{S}_{(t)}$  et tout  $x \in \tilde{\mathcal{M}}$ ,  $N(\lambda x) = N(\lambda) x + \lambda N(x)$
  - $-u^e N(\operatorname{Fil}^r \tilde{\mathcal{M}}) \subset \operatorname{Fil}^r \tilde{\mathcal{M}}$
  - le diagramme suivant commute :

$$\begin{array}{ccc}
\operatorname{Fil}^{r} \widetilde{\mathcal{M}} & \xrightarrow{\phi_{r}} & \widetilde{\mathcal{M}} \\
u^{e} N \middle\downarrow & & & \downarrow c_{(t),\pi} N \\
\operatorname{Fil}^{r} \widetilde{\mathcal{M}} & \xrightarrow{\phi_{r}} & \widetilde{\mathcal{M}}
\end{array}$$

où  $c_{(t),\pi}$  est la réduction de c dans  $\tilde{S}_{(t)}$ .

Les morphismes de  $\widetilde{\underline{\mathcal{M}}}_{(t)}^r$  sont les applications  $\widetilde{S}_{(t)}$ -linéaires qui commutent à toutes les structures. On prouve comme dans le paragraphe 2.2 que les catégories  $\widetilde{\underline{\mathcal{M}}}_{(t)}^r$  sont toutes équivalentes à  $\underline{\mathcal{M}}^r$  via les foncteurs de réduction modulo  $u^{tp}$ .

D'autre part, pour tout rationnel  $q \in \frac{1}{e}\mathbb{N}$ , on définit sur le site  $(T_1)_{\text{SYN}}$  un faisceau  $\tilde{\mathcal{J}}_{(t)}^{[q]}$  par :

$$\tilde{\mathcal{J}}_{(t)}^{[q]} = \frac{\tilde{\mathcal{J}}^{[q]}}{\tilde{\mathcal{J}}^{[q]} \cap u^{tp} \tilde{\mathcal{O}}^{\mathrm{st}}}.$$

On pose  $\tilde{\mathcal{O}}_{(t)}^{\mathrm{st}} = \tilde{\mathcal{J}}_{(t)}^{[0]}$  et on vérifie que les applications  $\phi_s$  et N passent au quotient et définissent des opérateurs encore notés  $\phi_s$  et N sur ces nouveaux faisceaux.

On va prouver par récurrence sur t la proposition suivante (on rappelle qu'ici r = 0): **Proposition 4.1.25.** Pour tout  $t \leq e$ , le quadruplet  $(H^0(\tilde{\mathcal{O}}_{(t)}^{st}), H^0(\tilde{\mathcal{O}}_{(t)}^{st}), \phi_0, N)$  définit un objet de la catégorie  $\widetilde{\mathcal{M}}_{(t)}^0$  et la suite :

$$0 \longrightarrow H^0(\tilde{\mathcal{J}}_{(t)}^{[q+1/e]}) \longrightarrow H^0(\tilde{\mathcal{J}}_{(t)}^{[q]}) \longrightarrow H^0(\tilde{\mathcal{J}}_{(t)}^{[q]}/\tilde{\mathcal{J}}_{(t)}^{[q+1/e]}) \longrightarrow 0$$

est exacte pour  $q \in \frac{1}{e} \mathbb{N}$ ,  $q \leqslant \frac{t}{e}$ .

On déduira ensuite du cas t=e un équivalent du théorème 4.1.24 à savoir :

**Théorème 4.1.26.** Pour tout  $t \leq e$ , le quadruplet  $(H^0(\mathcal{O}_1^{st}), H^0(\mathcal{O}_1^{st}), \phi_0, N)$  définit un objet de la catégorie  $\underline{\mathcal{M}}^0$ .

La récurrence Le but de cette sous-partie est de prouver la proposition 4.1.25. Pour cela, comme nous l'avons déjà dit, on raisonne par récurrence sur t et on suit pas à pas la démonstration de la partie Un objet de la catégorie  $\widetilde{\mathcal{M}}_{(2)}^r$  du paragraphe 4.1.4. On redonne rapidement les grandes étapes.

On considère un entier t compris entre 2 et e. Les compatibilités entre les opérateurs ne posant pas de problème, il suffit de montrer que  $H^0(\tilde{\mathcal{O}}^{\mathrm{st}}_{(t)})$  est libre de rang fini sur  $\tilde{S}_{(t)}$  et que l'image de  $\phi_0$  engendre tout  $H^0(\tilde{\mathcal{O}}^{\mathrm{st}}_{(t)})$ . Or comme précédemment, on dispose du théorème suivant :

**Théorème 4.1.27.** Avec les notations précédentes, on a un isomorphisme :

$$\tilde{S}_{(t)} \otimes_{(\phi),k[u]/u^t} H^0(\tilde{\mathcal{O}}_{(t)}^{st}/\tilde{\mathcal{J}}_{(t)}^{[t/e]}) \xrightarrow[id\otimes\phi_0]{\sim} H^0(\tilde{\mathcal{O}}_{(t)}^{st})$$
.

Il suffit donc de prouver que  $H^0(\tilde{\mathcal{O}}_{(t)}^{\mathrm{st}}/\tilde{\mathcal{J}}_{(t)}^{[t/e]})$  est libre de rang fini sur  $k[u]/u^t$  et que la suite :

$$0 \longrightarrow H^0(\tilde{\mathcal{J}}_{(t)}^{[q+1/e]}) \longrightarrow H^0(\tilde{\mathcal{J}}_{(t)}^{[q]}) \longrightarrow H^0(\tilde{\mathcal{J}}_{(t)}^{[q]}/\tilde{\mathcal{J}}_{(t)}^{[q+1/e]}) \longrightarrow 0$$

est exacte pour  $q \in \frac{1}{e}\mathbb{N}$ ,  $q \leqslant t$ . (On remarque que seule la surjectivité n'est a priori pas claire).

On dispose d'un équivalent de la proposition 4.1.16 qui se démontre de façon tout à fait analogue :

**Proposition 4.1.28.** Sur le site  $(T_1)_{syn}$  la projection canonique induit un isomorphisme de faisceaux :

$$\tilde{\mathcal{O}}_{(t)}^{st}/\tilde{\mathcal{J}}_{(t)}^{[t/e]} \xrightarrow{\sim} \tilde{\mathcal{O}}_{(t-1)}^{st}/\tilde{\mathcal{J}}_{(t-1)}^{[t/e]}$$
.

Remarque. Pour la preuve de la proposition précédente, on utilise l'inégalité  $t \leq p(t-1)$  qui est bien vérifiée lorsque  $t \geq 2$ .

**Lemme 4.1.29.** Le module  $H^0(\tilde{\mathcal{O}}_{(t)}^{st})$  est libre de rang fini sur  $\tilde{S}_{(t)}$ .

Démonstration. Elle est assez semblable à la preuve du théorème 4.1.18.

Il suffit de démontrer que  $H^0(\tilde{\mathcal{O}}_{(t)}^{\mathrm{st}}/\tilde{\mathcal{J}}_{(t)}^{[t/e]})$  est libre sur  $k[u]/u^t$ . Par ailleurs d'après la proposition précédente, le faisceau  $\tilde{\mathcal{O}}_{(t)}^{\mathrm{st}}/\tilde{\mathcal{J}}_{(t)}^{[t/e]}$  s'identifie à  $\tilde{\mathcal{O}}_{(t-1)}^{\mathrm{st}}/\tilde{\mathcal{J}}_{(t-1)}^{[t/e]}$ .

On utilise à ce niveau l'hypothèse de récurrence qui assure que  $\mathcal{M}=H^0(\tilde{\mathcal{O}}_{(t-1)}^{\operatorname{st}})$  muni de ses structures supplémentaires est un objet de  $\widetilde{\underline{\mathcal{M}}}_{(t-1)}^0$ . C'est en particulier un  $\tilde{S}_{(t-1)}$ -module libre de rang fini, disons d. Notons, pour  $q\in \frac{1}{e}\mathbb{N}$ ,  $\operatorname{Fil}^q\mathcal{M}=H^0(\tilde{\mathcal{J}}_{(t-1)}^{[q]})$ . Ils forment une suite décroissante de sous- $\tilde{S}_{(t-1)}$ -modules de  $\mathcal{M}$ .

Par ailleurs, on a  $u\mathcal{M} \subset \mathrm{Fil}^{1/e}\mathcal{M}$ , et encore l'hypothèse de récurrence fournit la suite exacte :

$$0 \longrightarrow \operatorname{Fil}^{1/e} \mathcal{M} \longrightarrow \mathcal{M} \longrightarrow H^0(\tilde{\mathcal{O}}_{(t-1)}^{\operatorname{st}} / \tilde{\mathcal{J}}_{(t-1)}^{[1/e]}) \longrightarrow 0.$$

Par ailleurs on vérifie que pour tout  $q \in \frac{1}{e}\mathbb{N}, \ q < \frac{t}{e}$ , la multiplication par  $u^q$  induit un isomorphisme entre les faisceaux  $\tilde{\mathcal{O}}^{\mathrm{st}}_{(t-1)}/\tilde{\mathcal{J}}^{[1/e]}_{(t-1)}$  et  $\tilde{\mathcal{J}}^{[q]}_{(t-1)}/\tilde{\mathcal{J}}^{[q+1/e]}_{(t-1)}$ . On en déduit :

$$\dim_k H^0(\tilde{\mathcal{O}}_{(t-1)}^{\mathrm{st}}/\tilde{\mathcal{J}}_{(t-1)}^{[1/e]}) = \frac{1}{t}\dim_k H^0(\tilde{\mathcal{O}}_{(t-1)}^{\mathrm{st}}/\tilde{\mathcal{J}}_{(t-1)}^{[t/e]}) = d$$

la dernière égalité étant une conséquence du théorème 4.1.27 appliqué pour t-1. D'autre part,  $\dim_k(\mathcal{M}/u\mathcal{M})=d$  d'où il vient  $\mathrm{Fil}^{1/e}\mathcal{M}=u\mathcal{M}$ . On montre de même par récurrence que  $\mathrm{Fil}^{q}\mathcal{M}=u^{eq}\mathcal{M}$  pour tout  $q\in\frac{1}{e}\mathbb{N},\,q\leqslant\frac{t}{e}$ .

Finalement, on a une suite exacte longue:

$$0 \longrightarrow H^0(\tilde{\mathcal{J}}_{(t-1)}^{[t/e]}) \longrightarrow H^0(\tilde{\mathcal{O}}_{(t-1)}^{\mathrm{st}}) \longrightarrow H^0(\tilde{\mathcal{O}}_{(t-1)}^{\mathrm{st}}/\tilde{\mathcal{J}}_{(t-1)}^{[t/e]}) \longrightarrow H^1(\tilde{\mathcal{J}}_{(t-1)}^{[t/e]}) \longrightarrow H^1(\tilde{\mathcal{O}}_{(t-1)}^{\mathrm{st}}) \ .$$

D'après l'hypothèse de récurrence, toutes les flèches  $H^1(\tilde{\mathcal{J}}_{(t-1)}^{[q+1/e]}) \to H^1(\tilde{\mathcal{J}}_{(t-1)}^{[q]})$  sont injectives pour  $q \leqslant \frac{t-1}{e}$  et donc la flèche  $H^1(\tilde{\mathcal{J}}_{(t-1)}^{[t/e]}) \to H^1(\tilde{\mathcal{O}}_{(t-1)}^{\text{st}})$  l'est aussi. On en déduit que  $H^0(\tilde{\mathcal{O}}_{(t-1)}^{\text{st}}/\tilde{\mathcal{J}}_{(t-1)}^{[t/e]})$  s'identifie à  $\mathcal{M}/\text{Fil}^{t/e}\mathcal{M} = \mathcal{M}/u^t\mathcal{M}$  qui est un bien un  $k[u]/u^t$ -module libre de rang fini (en l'occurrence d).

Les propositions 4.1.19 et 4.1.20 ont des équivalents transparents dans ce nouveau contexte qui se démontrent de façon analogue. On conclut comme cela la récurrence.

La fin de la preuve Pour déduire le théorème 4.1.26 du cas t = e de la proposition 4.1.25, on dégage tout d'abord le lemme suivant (preuve analogue à celle de la proposition 3.3.4) : Lemme 4.1.30. Sur le site  $(T_1)_{syn}$  la projection canonique induit un isomorphisme de faisceaux :

$$\mathcal{O}_1^{st}/\mathcal{J}_1^{[1]} \xrightarrow{\sim} \tilde{\mathcal{O}}_{(e)}^{st}/\tilde{\mathcal{J}}_{(e)}^{[1]}$$
.

En combinant ce précédent lemme au théorème 4.1.15, on prouve la liberté sur  $S_1$  de  $H^0(\mathcal{O}_1^{\operatorname{st}})$ . Par suite, on démontre que la flèche  $H^0(\mathcal{O}_1^{\operatorname{st}}) \to H^0(\tilde{\mathcal{O}}_{(e)}^{\operatorname{st}})$  est surjective en utilisant les mêmes arguments que ceux présentés dans l'étape d'initialisation de la récurrence du lemme 4.1.23. Finalement, en recopiant la première partie de la preuve du théorème 4.1.24, on parvient à prouver la surjectivité du morphisme  $H^0(\mathcal{O}_1^{\operatorname{st}}) \to H^0(\mathcal{O}_1^{\operatorname{st}}/\mathcal{J}_1^{[1]})$ . Cela conclut la preuve du théorème 4.1.26.

## 4.2 Dévissages

Le but de cette partie est de déduire à partir du cas n=1 traité précédemment le cas n quelconque. Exactement, si  $X_n$  désigne un log-schéma propre et log-lisse sur  $T_n$ , et que  $X_1 = X_n \times_{T_n} T_1$  est du type de Cartier (si n=1, on suppose en outre que  $X_1$  admet un relèvement propre et log-lisse sur  $T_2$ ), nous allons démontrer le théorème suivant :

**Théorème 4.2.1.** Pour tout i < r et tout entier n, le quadruplet :

$$(H^i((X_n)_{syn}, \mathcal{O}_n^{st}), H^i((X_n)_{syn}, \mathcal{J}_n^{[r]}), \phi_r, N)$$

définit un objet de la catégorie  $\underline{\mathcal{M}}^r$ .

Remarque. On rappelle que le morphisme  $\phi_r$  n'est pas défini sur  $(X_n)_{\text{syn}}$  mais seulement sur  $(X_{n+r})_{\text{syn}}$  mais que cela n'est pas grave du fait des identifications canoniques  $H^i((X_n)_{\text{syn}}, \mathcal{O}_n^{\text{st}}) \simeq H^i((X_{n+r})_{\text{syn}}, \mathcal{O}_n^{\text{st}})$  et  $H^i((X_n)_{\text{syn}}, \mathcal{J}_n^{[r]}) \simeq H^i((X_{n+r})_{\text{syn}}, \mathcal{J}_n^{[r]})$ .

**Démonstration.** On raisonne par récurrence sur n. L'initialisation est donnée par le théorème 4.1.24. Pour l'hérédité, on considère les suites exactes courtes suivantes :

$$0 \longrightarrow \mathcal{J}_1^{[r]} \xrightarrow{p^n} \mathcal{J}_{n+1}^{[r]} \longrightarrow \mathcal{J}_n^{[r]} \longrightarrow 0$$

$$0 \longrightarrow \mathcal{O}_1^{\operatorname{st}} \xrightarrow{p^n} \mathcal{O}_{n+1}^{\operatorname{st}} \longrightarrow \mathcal{O}_n^{\operatorname{st}} \longrightarrow 0.$$

Elles fournissent deux suites exactes longues de cohomologie qui s'insèrent dans le diagramme commutatif suivant :

où tous les groupes de cohomologie sont calculés sur le site  $(X_n)_{\text{syn}}$ . Par hypothèse de récurrence, les deux quadruplets  $(H^{i-1}(\mathcal{O}_n^{\text{st}}), H^{i-1}(\mathcal{J}_n^{[r]}), \phi_r, N)$  et  $(H^i(\mathcal{O}_1^{\text{st}}), H^i(\mathcal{J}_1^{[r]}), \phi_r, N)$  sont des objets de la catégorie  $\underline{\mathcal{M}}^r$ . Comme celle-ci est abélienne, il en est de même de leur image que l'on note  $(\mathcal{M}', \operatorname{Fil}^r \mathcal{M}', \phi_r, N)$ . De même, les deux quadruplets  $(H^i(\mathcal{O}_n^{\text{st}}), H^i(\mathcal{J}_n^{[r]}), \phi_r, N)$  et  $(H^{i+1}(\mathcal{O}_1^{\text{st}}), H^{i+1}(\mathcal{J}_1^{[r]}), \phi_r, N)$  sont des objets de  $\underline{\mathcal{M}}^r$ , le premier en vertu de l'hypothèse de récurrence et le second par le théorème 4.1.24. Leur noyau  $(\mathcal{M}'', \operatorname{Fil}^r \mathcal{M}'', \phi_r, N)$  est donc aussi objet de  $\underline{\mathcal{M}}^r$ .

En outre, on dispose d'un diagramme :

$$0 \longrightarrow \operatorname{Fil}^{r} \mathcal{M}' \longrightarrow H^{i}(\mathcal{J}_{n+1}^{[r]}) \longrightarrow \operatorname{Fil}^{r} \mathcal{M}'' \longrightarrow 0$$

$$\downarrow^{\phi_{r}} \qquad \downarrow^{\phi_{r}} \qquad \downarrow^{$$

où les deux lignes horizontales sont exactes. Une adaptation directe du lemme 2.3.1.2 de [Bre98] entraîne alors que  $(H^i(\mathcal{O}_{n+1}^{\mathrm{st}}), H^i(\mathcal{J}_{n+1}^{[r]}), \phi_r, N)$  est un objet de  $\underline{\mathcal{M}}^r$ , ce qui achève la récurrence.

Remarque. Il est fort probable que le théorème précédent reste vrai lorsque i=r, mais ce cas particulier échappe à la preuve que l'on vient de donner.

#### Le cas entier

Après avoir obtenu un théorème modulo  $p^n$  pour tout entier n, il est tentant de passer à la limite projective. Précisément, posons, au moins pour i < r:

$$\mathcal{M} = \varprojlim_{n \geqslant 1} H^{i}((X_{n})_{\operatorname{syn}}, \mathcal{O}_{n}^{\operatorname{st}})$$
  

$$\operatorname{Fil}^{r} \mathcal{M} = \varprojlim_{n \geqslant 1} H^{i}((X_{n})_{\operatorname{syn}}, \mathcal{J}_{n}^{[r]}).$$

Les applications  $\phi_r$  et N passent à la limite pour finir respectivement des applications  $\operatorname{Fil}^r \mathcal{M} \to \mathcal{M}$  et  $\mathcal{M} \to \mathcal{M}$  que l'on note encore  $\phi_r$  et N.

Soit  $\mathcal{M}_{tors}$  l'ensemble des éléments de  $\mathcal{M}$  tué par une puissance de p, et  $\mathcal{M}_{free} = \mathcal{M}/\mathcal{M}_{tors}$ . On munit sans problème ces modules d'un Fil<sup>r</sup>, d'un  $\phi_r$  et d'un N, et en copiant les arguments du paragraphe 4.1 de [Bre98], on obtient le théorème suivant :

**Théorème 4.2.2.** i) Le module  $\mathcal{M}_{tors}$  muni des structures supplémentaires est un objet de  $\mathcal{M}^r$ .

ii) Le module  $\mathcal{M}_{free}$  muni des structures supplémentaires est un module fortement divisible<sup>5</sup>

<sup>&</sup>lt;sup>5</sup>Pour une définition, on pourra se reporter à [Bre99].

# 5 Calcul de la cohomologie étale

On fixe toujours un entier r vérifiant er < p-1. On se donne de plus  $X_K$  un schéma (au sens classique) propre et lisse sur K et on suppose que  $X_K$  admet un modèle propre et semi-stable X sur l'anneau des entiers  $\mathcal{O}_K$ . Le diviseur donné par la fibre spéciale fait de X un log-schéma défini sur la base  $T = (\operatorname{Spec} \mathcal{O}_K, \mathcal{O}_K \setminus \{0\})$  propre, log-lisse, et dont la fibre spéciale est du type de Cartier. Nous sommes donc en situation d'utiliser les résultats de la partie précédente. En particulier, si  $X_n = X \times_T T_n$ , le théorème 4.2.1 s'applique et assure que pour tout n et pour tout  $i \leq r$  le quadruplet :

$$(H^i((X_n)_{\mathrm{syn}}, \mathcal{O}_n^{\mathrm{st}}), H^i((X_n)_{\mathrm{syn}}, \mathcal{J}_n^{[r]}), \phi_r, N)$$

est un objet de  $\underline{\mathcal{M}}^r$ . D'autre part, par le théorème 4.1.24, le résultat demeure pour i=r lorsque n=1.

Le but de cette partie est de démontrer le théorème 1.1, dont nous précisons l'énoncé :

**Théorème 5.0.3.** Pour tout entier r tel que er < p-1, pour tout entier n et pour tout  $0 \le i < r$  (et aussi i = r si n = 1), on a un isomorphisme canonique de modules galoisiens :

$$H^i((X_{\bar{K}})_{\acute{e}t}, \mathbb{Z}/p^n\mathbb{Z})(r) \xrightarrow{\sim} T_{st_{\star}}(H^i((X_n)_{syn}, \mathcal{O}_n^{st}), H^i((X_n)_{syn}, \mathcal{J}_n^{[r]}), \phi_r, N)$$
.

Fixons avant tout quelques notations. Si L est une extension algébrique de K, définissons  $T_L = (\operatorname{Spec} \mathcal{O}_L, \mathcal{O}_L \setminus \{0\})$  et si n est un entier et Y est un log-schéma sur T, posons  $Y_n = Y \times_T T_n$ ,  $Y_L = Y \times_T T_L$  et  $Y_{n,L} = Y_n \times_T T_L = Y_L \times_T T_n$ .

Le premier (et principal) ingrédient de la preuve est un résultat de Kato et Tsuji qui s'énonce comme suit :

**Théorème 5.0.4.** Pour  $0 \le i \le s \le p-2$ , on a des isomorphismes canoniques compatibles à l'action de Galois :

$$H^i((X_{n,\bar{K}})_{\acute{e}t}, s_{n,X_{\bar{K}}}^{log}(s)) \xrightarrow{\sim} H^i((X_{\bar{K}})_{\acute{e}t}, \mathbb{Z}/p^n\mathbb{Z})(s)$$
.

Dans le théorème précédent,  $s_{n,X_{\bar{K}}}^{\log}(s)$  désigne un certain complexe de faisceaux étales sur  $X_{n,\bar{K}}$  construit par Kato (voir [Kat87]). Par ailleurs, Breuil démontre (lemme 3.2.4.3 de [Bre98] — la démonstration est écrite dans le cas non ramifié, mais elle fonctionne de la même façon dans le cas général) le théorème suivant :

**Théorème 5.0.5.** Pour tout entier i, et tout  $s \in \{0, \dots, p-1\}$ , on a des isomorphismes canoniques compatibles à l'action de Galois :

$$\underset{L}{\varinjlim} H^{i}((X_{n+s,L})_{syn}, \mathcal{S}_{n}^{s}) \xrightarrow{\sim} H^{i}((X_{n,\bar{K}})_{\acute{e}t}, s_{n,X_{\bar{K}}}^{log}(s))$$

où la limite inductive est prise sur toutes les extensions finies L de K.

Ici,  $S_n^s$  désigne un certain faisceau sur le site log-syntomique dont le rappel de la définition est l'objet du paragraphe 5.1. Forts de cela, il ne reste plus pour conclure qu'à prouver :

**Proposition 5.0.6.** Pour  $0 \le i < r$  (et aussi i = r lorsque n = 1), on a des isomorphismes canoniques compatibles à l'action de Galois :

$$\underbrace{\lim_{r}} H^{i}((X_{n+r,L})_{syn}, \mathcal{S}_{n}^{r}) \xrightarrow{\sim} T_{st_{\star}}(H^{i}((X_{n})_{syn}, \mathcal{O}_{n}^{st}), H^{i}((X_{n})_{syn}, \mathcal{J}_{n}^{[r]}), \phi_{r}, N) . \tag{21}$$

La démonstration de cette proposition est l'objet du paragraphe 5.2. Finalement, le paragraphe 5.3 qui termine cette partie explique comment on déduit des résultats précédents le théorème 1.2.

#### Les faisceaux $S_n^s$ 5.1

On note  $T_n^{\text{triv}}$  le log-schéma Spec  $\mathcal{O}_K/p^n$  muni de la log-structure triviale. Comme on avait défini les faisceaux  $\mathcal{J}_n^{[s]}$  sur le site  $(T_n)_{\text{syn}}$  (voir paragraphe 3.2.1), on définit sur le site  $(T_n^{\text{triv}})_{\text{syn}}$ des faisceaux  $\mathcal{J}_n^{\text{cris},[s]}$  en posant :

$$\mathcal{J}_n^{\mathrm{cris},[s]}(U) = H^0((U/T_n^{\mathrm{triv}})_{\mathrm{cris}}, \mathcal{J}_{U/T_n^{\mathrm{triv}}}^{[s]}) = H^0((U/T_n^{\mathrm{triv}})_{\mathrm{CRIS}}, \mathcal{J}_{U/T_n^{\mathrm{triv}}}^{[s]})$$

pour tout U log-syntomique sur  $T_n^{\text{triv}}$ . On pose également  $\mathcal{O}_n^{\text{cris}} = \mathcal{J}_n^{\text{cris},[0]}$ . Le morphisme naturel  $T_n \to T_n^{\text{triv}}$  est log-syntomique, et donc les faisceaux précédents définissent par restriction des faisceaux sur le site  $(T_n)_{\text{syn}}$  encore notés  $\mathcal{J}_n^{\text{cris},[s]}$  et  $\mathcal{O}_n^{\text{cris}}$ . On dispose de descriptions explicites locales des faisceaux précédents :

**Proposition 5.1.1.** En reprenant les notations  $(A^{\infty}, P^{\infty} \text{ et } W_n^{cris, DP}(A^{\infty}, P^{\infty}))$  du paragraphe 3.2.1, on a un isomorphisme canonique:

$$\mathcal{O}_n^{cris}(A^{\infty}, P^{\infty}) \xrightarrow{\sim} W_n^{cris, DP}(A^{\infty}, P^{\infty})$$
.

Par ailleurs, cet isomorphisme respecte la filtration donnée à gauche par les  $\mathcal{J}_n^{cris,[s]}(A^{\infty},P^{\infty})$ et à droite par la filtration canonique par les puissances divisées.

Comme dans le cas « st », on définit pour  $s \leq p-1$ , des applications  $\phi_s : \mathcal{J}_n^{\text{cris},[s]} \to \mathcal{O}_n^{\text{cris}}$ . Finalement, on appelle  $S_n^s$  le noyau de l'application  $\phi_s$  – id.

La proposition suivante réunit deux suites exactes importantes à propos des faisceaux introduits précédemment :

**Proposition 5.1.2.** Pour tous entiers n et s, on a une suite exacte courte de faisceaux sur le site  $(T_n)_{syn}$ :

$$0 \longrightarrow \mathcal{J}_n^{cris,[s]} \longrightarrow \mathcal{J}_n^{[s]} \xrightarrow{N} \mathcal{J}_n^{[s-1]} \longrightarrow 0.$$

Pour tout entier n et tout  $s \in \{0, ..., p-1\}$ , on a une suite exacte courte de faisceaux sur le site  $(T_{n+s})_{syn}$ :

$$0 \longrightarrow \mathcal{S}_n^s \longrightarrow \mathcal{J}_n^{cris,[s]} \xrightarrow{\phi_s - id} \mathcal{O}_n^{cris} \longrightarrow 0.$$

Démonstration. La première suite exacte résulte des descriptions précédentes si l'on se rappelle que :

$$N\left(\frac{X^i}{i!}\right) = (1+X)\frac{X^{i-1}}{(i-1)!}.$$

On pourra consulter la preuve de la proposition 3.1.3.1 de [Bre98] pour plus de détails.

Pour la seconde suite exacte, il suffit de prouver la surjectivité de  $\phi_s$  – id et avec les descriptions locales précédentes, on construit explicitement un antécédent (local pour la topologie log-syntomique) à tout élément de  $\mathcal{O}_n^{\mathrm{cris}}(A^\infty,P^\infty)$ . Exactement, la preuve est identique à celle de la proposition 3.1.4.1 de [Bre98], sauf le dernier argument qui est remplacé par celui du lemme 2.3.6.

### 5.2 La preuve

Le but de ce chapitre est de donner une preuve de la proposition 5.0.6, ce qui est suffisant comme nous l'avons expliqué, pour démontrer le théorème 1.1. On suit encore une fois de très près la démonstration de [Bre98] valable pour le cas e = 1.

On note  $\mathcal{M} = H^i((X_n)_{\text{syn}}, \mathcal{O}_n^{\text{st}})$ . Pour tout entier s, on a un morphisme (pas nécessairement injectif)  $H^i((X_n)_{\text{syn}}, \mathcal{J}_n^{[t]}) \to \mathcal{M}$  et on note  $\text{Fil}^t \mathcal{M}$  son image. On vérifie que l'on obtient ainsi une filtration admissible (voir définition 2.3.3) sur  $\mathcal{M}$ . Par définition (voir paragraphe 2.3.3), le membre de droite de l'isomorphisme 21 s'identifie à :

$$\operatorname{Fil}^r(\hat{A}_{\operatorname{st}}\otimes_S\mathcal{M})_{N=0}^{\phi_r=1}$$

avec:

$$\operatorname{Fil}^{r}(\hat{A}_{\operatorname{st}} \otimes_{S} \mathcal{M}) = \sum_{t=0}^{r} \operatorname{Fil}^{t}_{X} \hat{A}_{\operatorname{st}} \otimes_{S} \operatorname{Fil}^{s-t} \mathcal{M}$$

où on rappelle que les Fil<sup>t</sup> sont définis par la formule (2) et qu'ils sont plats sur  $S_n$ . On rappelle également que l'on dispose du lemme 2.3.6 qui permet de voir le module Fil<sup>r</sup>( $\hat{A}_{st} \otimes_S \mathcal{M}$ ) comme le conoyau d'un morphisme.

La preuve de la proposition 5.0.6 passe par les calculs successifs des modules  $\operatorname{Fil}^r(\hat{A}_{\operatorname{st}} \otimes_S \mathcal{M})$ ,  $\operatorname{Fil}^r(\hat{A}_{\operatorname{st}} \otimes_S \mathcal{M})_{N=0}$  et finalement  $\operatorname{Fil}^r(\hat{A}_{\operatorname{st}} \otimes_S \mathcal{M})_{N=0}^{\phi_r=1} = T_{\operatorname{st}_{\star}}(\mathcal{M})$ . Ceux-ci sont traités respectivement dans les paragraphes 5.2.2, 5.2.3 et 5.2.4. Le paragraphe 5.2.1, quant à lui, rappelle quelques préliminaires nécessaires pour la gestion des limites inductives.

#### 5.2.1 Le foncteur $j_{\star}$

Dans ce paragraphe, on rappelle comment construire des faisceaux sur le site  $(X_n)_{\text{syn}}$  dont la cohomologie s'identifie à  $\varinjlim_L H^i((X_{n,L})_{\text{syn}}, \mathcal{J}_n^{[s]})$ .

Si L est une extension de K, on a un morphisme canonique  $j_L: T_L \to T$ . On montre (lemme 3.1.1.1 de [Bre98]) qu'il est log-syntomique et donc qu'il induit un morphisme de topoï  $(\widetilde{T_{n,L}})_{\text{syn}} \to (\widetilde{T_n})_{\text{syn}}$ . Soit  $\mathcal{F}$  un faisceau de groupes abéliens sur  $(T_n)_{\text{syn}}$ . Pour tout L, on considère le faisceau  $j_{L\star}j_L^{\star}\mathcal{F}$  et on remarque que si L' est une extension finie de L, on a un morphisme  $j_{L\star}j_L^{\star}\mathcal{F} \to j_{L'\star}j_{L'}^{\star}\mathcal{F}$ . On pose finalement :

$$j_{\star}\mathcal{F} = \varinjlim_{L} j_{L\star} j_{L}^{\star} \mathcal{F}.$$

C'est un faisceau sur  $(T_n)_{\text{syn}}$  et on montre (corollaire 3.1.1.4 de [Bre98]) que l'on a une identification canonique :

$$\varinjlim_{L} H^{i}((X_{n,L})_{\operatorname{syn}}, \mathcal{J}_{n}^{[s]}) = H^{i}((X_{n})_{\operatorname{syn}}, j_{\star}\mathcal{J}_{n}^{[s]})$$

pour tout entier s.

## ${f 5.2.2}$ Le calcul de Fil $^r(\hat{A}_{f st}\otimes_S{\cal M})$

Le but de ce paragraphe est de donner une description en terme de conoyau (analogue à celle du lemme 2.3.6) de Fil<sup>r</sup>( $\hat{A}_{st} \otimes_S \mathcal{M}$ ). Pour cela, on commence par rappeler que l'anneau  $\hat{A}_{st}$  admet une interprétation cohomologique incarnée par l'isomorphisme canonique suivant :

$$\hat{A}_{\mathrm{st}}/p^n = \varinjlim_{L} H^0((T_{n,L})_{\mathrm{syn}}, \mathcal{O}_n^{\mathrm{st}})$$

où la limite inductive est prise sur les extensions finies L de K. Il existe aussi un isomorphisme analogue pour décrire la filtration sur  $\hat{A}_{\rm st}$  qui est :

$$\operatorname{Fil}^{t}(\hat{A}_{\operatorname{st}}/p^{n}) = \operatorname{Fil}^{t}\hat{A}_{\operatorname{st}}/p^{n} = \varinjlim_{L} H^{0}((T_{n,L})_{\operatorname{syn}}, \mathcal{J}_{n}^{[t]}).$$

Ces isomorphismes permettent de construire une application canonique :

$$\operatorname{Fil}^{t} \hat{A}_{\operatorname{st}}/p^{n} \otimes_{S_{n}} H^{0}((X_{n})_{\operatorname{syn}}, \mathcal{J}_{n}^{s-t}) \to \varinjlim_{L} H^{0}((X_{n,L})_{\operatorname{syn}}, \mathcal{J}_{n}^{[s]}) = H^{0}((X_{n})_{\operatorname{syn}}, j_{\star} \mathcal{J}_{n}^{[s]})$$

et donc un morphisme de faisceaux:

$$\bigoplus_{t=0}^{s} \operatorname{Fil}_{X}^{t} \hat{A}_{\operatorname{st}}/p^{n} \otimes_{S_{n}} \mathcal{J}_{n}^{[s-t]} \to \bigoplus_{t=0}^{s} \operatorname{Fil}^{t} \hat{A}_{\operatorname{st}}/p^{n} \otimes_{S_{n}} \mathcal{J}_{n}^{[s-t]} \to j_{\star} \mathcal{J}_{n}^{[s]}.$$

On a alors le lemme suivant, à mettre en parallèle avec le lemme 2.3.6 :

**Lemme 5.2.1.** Pour tout entier  $s \leq r$ , on a un diagramme commutatif:

où tous les morphismes respectent l'action de Galois, et où les deux lignes sont exactes et les flèches verticales surjectives. (Notez que tous les groupes de cohomologie sont calculés sur le site  $(X_n)_{syn}$ .)

**Démonstration.** Tout d'abord, précisons les flèches. Dans la suite exacte du haut, la première flèche a déjà été définie dans l'énoncé du lemme 2.3.6. La flèche correspondante dans la suite exacte du bas a une définition tout à fait analogue. Les autres flèches ne posent pas de problème, à part *a priori* la flèche verticale de droite. Cependant, elle n'en posera plus lorsque l'on aura prouvé l'exactitude des deux suites (puisque ce sera alors simplement la flèche induite sur les conoyaux).

L'exactitude de la ligne du haut n'est autre que l'objet du lemme 2.3.6. Les surjectivités des deux premières flèches verticales sont immédiates. Il ne reste donc plus qu'à prouver l'exactitude de la suite exacte du bas (de laquelle résultera directement la surjectivité de la flèche verticale de droite).

On commence par prouver que la suite de faisceaux sur le site  $(T_n)_{\text{syn}}$ :

$$0 \longrightarrow \bigoplus_{t=1}^{s} \operatorname{Fil}_{X}^{t} \hat{A}_{\operatorname{st}}/p^{n} \otimes_{S_{n}} \mathcal{J}_{n}^{[s+1-t]} \longrightarrow \bigoplus_{t=0}^{s} \operatorname{Fil}_{X}^{t} \hat{A}_{\operatorname{st}}/p^{n} \otimes_{S_{n}} \mathcal{J}_{n}^{[s-t]} \longrightarrow j_{\star} \mathcal{J}_{n}^{[s]} \longrightarrow 0$$

est exacte. Par un dévissage, on se ramène dans un premier temps au seul cas n=1. De plus, en recopiant les arguments de la preuve de la proposition 3.1.2.3 de [Bre98], on se ramène au cas s=0. Il s'agit donc de montrer que  $\hat{A}_{\rm st}/p^n \otimes_{S_n} \mathcal{O}_{\rm st}^1 \simeq j_\star \mathcal{O}_1^{\rm st}$ . C'est à nouveau un calcul local pour la topologie log-syntomique, en tout point analogue à celui mené dans la démonstration du lemme 3.1.2.2 de [Bre98].

### 5.2.3 Le calcul de Fil $^r(\hat{A}_{\mathbf{st}}\otimes_S\mathcal{M})_{N=0}$

Le but de cette partie est de démontrer le lemme suivant qui constitue la deuxième étape de la preuve.

Lemme 5.2.2. On a des isomorphismes de modules galoisiens :

$$\underset{L}{\varinjlim} H^{i}((X_{n,L})_{syn}, \mathcal{O}_{n}^{cris}) \xrightarrow{\sim} (\hat{A}_{st} \otimes_{S} \mathcal{M})_{N=0}$$

$$\underset{L}{\varinjlim} H^{i}((X_{n,L})_{syn}, \mathcal{J}_{n}^{cris,[r]}) \xrightarrow{\sim} Fil^{r}(\hat{A}_{st} \otimes_{S} \mathcal{M})_{N=0}$$

**Démonstration.** La démonstration est identique à celle du corollaire 3.2.3.5 de [Bre98]. Nous redonnons simplement les grandes lignes. Tout d'abord, on montre comme dans le lemme 3.1.1.2 de [Bre98] la nullité de  $\varinjlim_L R^i j_{L\star} j_L^{\star} \mathcal{J}_n^{[s]}$  d'où on déduit, à partir de la première suite exacte de la proposition 5.1.2, une suite exacte de faisceaux :

$$0 \longrightarrow j_{\star} \mathcal{J}_{n}^{\operatorname{cris},[s]} \longrightarrow j_{\star} \mathcal{J}_{n}^{[s]} \stackrel{N}{\longrightarrow} j_{\star} \mathcal{J}_{n}^{[s-1]} \longrightarrow 0$$

de laquelle on déduit une suite exacte courte sur les groupes de cohomologie :

$$0 \longrightarrow H^{i}(j_{\star}\mathcal{J}_{n}^{\mathrm{cris},[s]}) \longrightarrow H^{i}(j_{\star}\mathcal{J}_{n}^{[s]}) \xrightarrow{N} H^{i}(j_{\star}\mathcal{J}_{n}^{[s-1]}) \longrightarrow 0$$

où tous les groupes de cohomologie sont calculés sur le site  $(X_n)_{\text{syn}}$  (l'argument est le même que celui utilisé pour la proposition 3.2.3.1 de [Bre98]).

La suite de la preuve consiste à reprendre le diagramme du lemme 5.2.1 et à procéder à une étude relativement fine des noyaux des flèches verticales. Précisément, si on note :

$$K^{t} = \ker (H^{i}(\mathcal{J}_{n}^{[t]}) \to H^{i}(\mathcal{O}_{n}^{\mathrm{st}})) = \ker (H^{i}(\mathcal{J}_{n}^{[t]}) \to \mathrm{Fil}^{t}\mathcal{M})$$
  
$$\bar{K}^{t} = \ker (H^{i}(j_{\star}\mathcal{J}_{n}^{[t]}) \to \mathrm{Fil}^{t}(\hat{A}_{\mathrm{st}} \otimes_{S} \mathcal{M}))$$

on peut compléter le diagramme de la façon suivante :

$$0 \longrightarrow \bigoplus_{t=1}^{s} \operatorname{Fil}_{X}^{t} \hat{A}_{\operatorname{st}}/p^{n} \otimes_{S_{n}} K^{s+1-t} \longrightarrow \bigoplus_{t=0}^{s} \operatorname{Fil}_{X}^{t} \hat{A}_{\operatorname{st}}/p^{n} \otimes_{S_{n}} K^{s-t} \longrightarrow \bar{K}^{s} \longrightarrow 0$$

$$0 \longrightarrow \bigoplus_{t=1}^{s} \operatorname{Fil}_{X}^{t} \hat{A}_{\operatorname{st}}/p^{n} \otimes_{S_{n}} H^{i}(\mathcal{I}_{n}^{[s+1-t]}) \longrightarrow \bigoplus_{t=0}^{s} \operatorname{Fil}_{X}^{t} \hat{A}_{\operatorname{st}}/p^{n} \otimes_{S_{n}} H^{i}(\mathcal{I}_{n}^{[s-t]}) \longrightarrow H^{i}(j_{\star}\mathcal{I}_{n}^{[s]}) \longrightarrow 0$$

$$0 \longrightarrow \bigoplus_{t=1}^{s} \operatorname{Fil}_{X}^{t} \hat{A}_{\operatorname{st}}/p^{n} \otimes_{S_{n}} \operatorname{Fil}^{s+1-t} \mathcal{M} \longrightarrow \bigoplus_{t=0}^{s} \operatorname{Fil}_{X}^{t} \hat{A}_{\operatorname{st}}/p^{n} \otimes_{S_{n}} \operatorname{Fil}^{s-t} \mathcal{M} \longrightarrow \operatorname{Fil}^{s}(\hat{A}_{\operatorname{st}} \otimes_{S} \mathcal{M}) \longrightarrow 0$$

$$0 \longrightarrow \bigoplus_{t=1}^{s} \operatorname{Fil}_{X}^{t} \hat{A}_{\operatorname{st}}/p^{n} \otimes_{S_{n}} \operatorname{Fil}^{s+1-t} \mathcal{M} \longrightarrow \bigoplus_{t=0}^{s} \operatorname{Fil}_{X}^{t} \hat{A}_{\operatorname{st}}/p^{n} \otimes_{S_{n}} \operatorname{Fil}^{s-t} \mathcal{M} \longrightarrow \operatorname{Fil}^{s}(\hat{A}_{\operatorname{st}} \otimes_{S} \mathcal{M}) \longrightarrow 0$$

L'opérateur N induit un morphisme entre le diagramme précédent et son équivalent lorsque l'on remplace s par s-1 (en particulier, il induit une application  $N: \bar{K}_s \to \bar{K}_{s-1}$  pour tout  $s \in \{0, \ldots, r\}$  en convenant que  $K_{-1} = K_0$ ). La suite exacte du haut implique en prenant s=0 que  $\bar{K}_0 = 0$ . Par ailleurs, une étude un peu minutieuse de cette même suite exacte (voir lemmes 3.2.3.3 et 3.2.3.4 de [Bre98]) montre que l'application  $N: \bar{K}_r \to \bar{K}_{r-1}$  est un isomorphisme.

En considérant la suite exacte de droite, ceci implique que pour s=0 et s=r, on a des isomorphismes :

$$\underset{L}{\varinjlim} H^{i}((X_{n,L})_{\operatorname{syn}}, \mathcal{J}_{n}^{\operatorname{cris},[s]}) = H^{i}((X_{n})_{\operatorname{syn}}, j_{\star}\mathcal{J}_{n}^{\operatorname{cris},[s]}) \xrightarrow{\sim} \operatorname{Fil}^{s}(\hat{A}_{\operatorname{st}} \otimes_{S} \mathcal{M})_{N=0}$$

ce qui termine la preuve du lemme.

# 5.2.4 Le calcul de Fil $^r(\hat{A}_{st}\otimes_S\mathcal{M})_{N=0}^{\phi_r=1}$

Il n'est plus difficile à présent de terminer la preuve de la proposition 5.0.6. En effet, la deuxième suite exacte de la proposition 5.1.2 nous fournit une suite exacte longue :

$$\cdots \longrightarrow H^{i}((X_{n+r})_{\operatorname{syn}}, \mathcal{S}_{n}^{r}) \longrightarrow H^{i}((X_{n})_{\operatorname{syn}}, \mathcal{J}_{n}^{\operatorname{cris},[r]}) \xrightarrow{\phi_{r}-\operatorname{id}} H^{i}((X_{n})_{\operatorname{syn}}, \mathcal{O}_{n}^{\operatorname{cris}}) \longrightarrow \cdots$$

et puis, comme le foncteur  $\varinjlim_L$  est exact (la limite est filtrante) on obtient une nouvelle suite exacte longue :

$$\cdots \longrightarrow \underset{L}{\varinjlim} H^{i}((X_{n+r})_{\operatorname{syn}}, \mathcal{S}_{n}^{r}) \longrightarrow \underset{L}{\varinjlim} H^{i}((X_{n})_{\operatorname{syn}}, \mathcal{J}_{n}^{\operatorname{cris},[r]}) \xrightarrow{\phi_{r}-\operatorname{id}} \underset{L}{\varinjlim} H^{i}((X_{n})_{\operatorname{syn}}, \mathcal{O}_{n}^{\operatorname{cris}}) \longrightarrow \cdots$$

Par ailleurs, la flèche  $\phi_r$  – id :  $\varinjlim_L H^i((X_n)_{\text{syn}}, \mathcal{J}_n^{\text{cris},[r]}) \to \varinjlim_L H^i((X_n)_{\text{syn}}, \mathcal{O}_n^{\text{cris}})$  s'identifie via les isomorphismes du lemme  $5.\overline{2.2}$  à la flèche :

$$\operatorname{Fil}^r(\hat{A}_{\operatorname{st}} \otimes_S \mathcal{M})_{N=0} \xrightarrow{\phi_r - \operatorname{id}} (\hat{A}_{\operatorname{st}} \otimes_S \mathcal{M})_{N=0}$$

et on sait par le lemme 2.3.9 que celle-ci est surjective. On en déduit que la suite exacte longue se coupe en suites exactes courtes :

$$0 \longrightarrow \varinjlim_{L} H^{i}((X_{n+r})_{\operatorname{syn}}, \mathcal{S}_{n}^{r}) \longrightarrow \varinjlim_{L} H^{i}((X_{n})_{\operatorname{syn}}, \mathcal{J}_{n}^{\operatorname{cris},[r]}) \xrightarrow{\phi_{r}-\operatorname{id}} \varinjlim_{L} H^{i}((X_{n})_{\operatorname{syn}}, \mathcal{O}_{n}^{\operatorname{cris}}) \longrightarrow 0$$

ce qui termine la preuve.

## 5.3 Une conjecture de Serre

On montre dans ce paragraphe comment la théorie développée au long de cet article permet de résoudre complètement la conjecture de l'inertie modérée de Serre formulée dans le paragraphe 1.13 de [Ser72].

Avant de rappeler l'énoncé de la conjecture, faisons quelques préliminaires et profitons-en pour fixer les notations (pour plus de précisions, voir le paragraphe 1 de [Ser72]). Soit V une  $\mathbb{F}_p$ -représentation de dimension finie irréductible du sous-groupe d'inertie I de groupe de Galois absolu de K. Par un résultat classique de théorie des groupes, du fait que V a pour cardinal un multiple de p, le sous-groupe d'inertie sauvage (qui est un pro-p-groupe distingué) agit trivialement. Ainsi l'action de I se factorise à travers une action du groupe d'inertie modérée  $I_t$ .

Par ailleurs, puisque V est supposée irréductible, l'anneau E des endomorphismes équivariants de V est un corps fini et V hérite d'une structure d'espace vectoriel de dimension 1 sur ce corps. La représentation de départ fournit un caractère  $\rho: I_t \to E^*$ . Notons  $q = p^h$  le cardinal de E et  $\mathbb{F}_q$  le sous-corps de  $\bar{k}$  formé des solutions de l'équation  $x^q = x$ . On dispose de l'application suivante appelée caractère fondamental de niveau h:

$$\theta_h: I_t \to \mu_{q-1}(\bar{K}) \simeq \mathbb{F}_q^*$$
 $g \mapsto \frac{g(\eta)}{\eta}$ 

où  $\eta$  désigne une racine (q-1)-ième de l'uniformisante  $\pi$ .

Les corps E et  $\mathbb{F}_q$  sont finis de même cardinal et donc isomorphes (non canoniquement). Si l'on compose  $\theta_h$  par un tel isomorphisme f, on obtient une application  $\theta_{h,f}:I_t\to E^*$  et

on montre facilement (voir la proposition 5 du paragraphe 1 de [Ser72]), que  $\rho = \theta_{h,f}^n$  pour un certain entier n compris entre 0 et q-2. L'entier n dépend de l'isomorphisme f choisi mais les chiffres de son écriture en base p, eux, n'en dépendent pas. Ce sont par définition les exposants de l'inertie modérée de la représentation V.

La conjecture de Serre s'énonce alors comme suit :

**Théorème 5.3.1.** Soit X un schéma propre et lisse sur K à réduction semi-stable sur  $\mathcal{O}_K$  et soit r un entier. Les exposants de l'inertie modérée sur un quotient de Jordan-Hölder de la restriction au groupe d'inertie de la représentation galoisienne  $H^r_{\acute{e}t}(X_{\bar{K}},\mathbb{Z}/pZ)^{\vee}$  (où «  $\vee$  » désigne le dual) sont compris entre 0 et er.

**Démonstration.** On remarque dans un premier temps que le résultat est évident si  $er \ge p-1$  (des chiffres en base p sont nécessairement inférieurs ou égaux à p-1). On peut donc supposer er < p-1 et appliquer les résultats de cet article.

Par le théorème 1.1, la représentation galoisienne  $V = H^r_{\text{\'et}}(X_{\bar{K}}, \mathbb{Z}/pZ)$  est dans l'image essentielle du foncteur  $T_{\text{st}_{\star}}$ . Puisque cette image essentielle est stable par sous-objets et quotients (théorème 2.3.1), tout quotient de Jordan-Hölder de V est également dans l'image essentielle de  $T_{\text{st}_{\star}}$ . Par ailleurs, un tel quotient de Jordan-Hölder est par définition irréductible et donc ne peut être l'image par  $T_{\text{st}_{\star}}$  que d'un objet simple.

Le théorème résulte à ce niveau du théorème 5.2.2 de [Car].

Remarque. On a un résultat équivalent avec les groupes de cohomologie  $H^i_{\text{\'et}}(X_{\bar{K}}, \mathbb{Z}/p^nZ)^{\vee}$  lorsque i < r et er < p-1 (ou autrement dit lorsque i < E((p-2)/e),  $E(\cdot)$  désignant la partie entière).

## Bibliographie

- [Ber74] P. Berthelot, Cohomologie cristalline des schémas de caractéristique p, Lecture notes in math. 407 (1974)
- [BM02] C. Breuil et W. Messing, Torsion étale and crystalline cohomologies, Astérisque 279, Soc. math. France (2002), 81–124
- [BO78] P. Berthelot et A. Ogus, *Notes on crystalline cohomology* PUBLISHER = Princeton University Press, Princeton (1978)
- [Bre96] C. Breuil, Topologie log-syntomique, cohomologie log-cristalline, et cohomologie de Cech, Bull. 124, Soc. math. France (1996), 587–647
- [Bre97a] \_\_\_\_\_, Construction de représentations p-adiques semi-stables, Ann. Scient. ENS. 31 (1997), 281–327
- [Bre97b] \_\_\_\_\_, Représentations p-adiques semi-stables et transversalité de Griffiths, Math. Annalen 307 (1997), 191–224
- [Bre98] \_\_\_\_\_, Cohomologie étale de p-torsion et cohomologie cristalline en réduction semistable, Duke mathematical journal **95** (1998), 523–620
- [Bre99] \_\_\_\_\_, Représentation semi-stables et modules fortement divisibles, Invent. math. 136 (1999), 89-122
- [Car] X. Caruso, Répresentations p-adiques semi-stables dans le cas er < p-1, soumis
- [Fal92] G. Faltings, Crystalline cohomology and p-adic Galois representations, Journal of algebraic geometry 1 (1992), 61–82

- [Fal99] \_\_\_\_\_, Integral crystalline cohomology over very ramified valuations rings, J. Amer. Math. Soc 12 (1999), 117–144
- [FL82] J.M. Fontaine et G. Laffaille, Construction de représentations p-adiques, Ann. Scient. ENS. 15 (1982), 547–608
- [FM87] J.M. Fontaine et W. Messing, p-adic periods and p-adic étale cohomology, Contemporary math. 67 (1987), 179–207
- [Fon94a] J.M. Fontaine, Le corps des périodes p-adiques, Astérisque 223, Soc. math. France (1994), 59–111
- [Fon94b] \_\_\_\_\_, Représentations p-adiques semi-stables, Astérisque 223, Soc. math. France (1994), 113–184
- [Kat87] K. Kato, On p-adic vanishing cycles, Advanced Study in Pure Math. 10 (1987), 207–251
- [Kat89] \_\_\_\_\_, Logarithmic structures of Fontaine-Illusie, Geometry and Number Theory , John Hopkins University Press (1989), 191–224
- [Ser72] J.P. Serre, Propriétés galoisiennes des points d'ordre fini des courbes elliptiques, Inventiones math. 15 (1972), 259–331
- [Tsu99] T. Tsuji, p-adic étale cohomology and crystalline cohomology in the semi-stable reduction case, Inventiones math. 137 (1999), 233–411